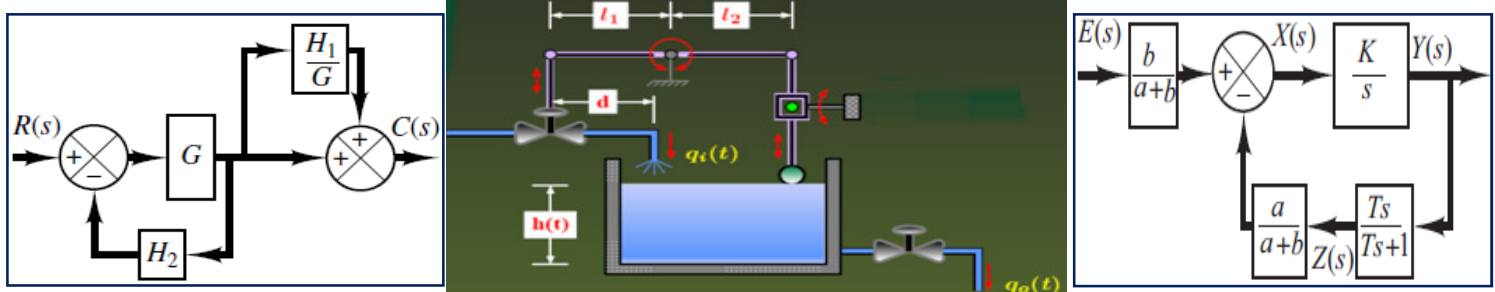
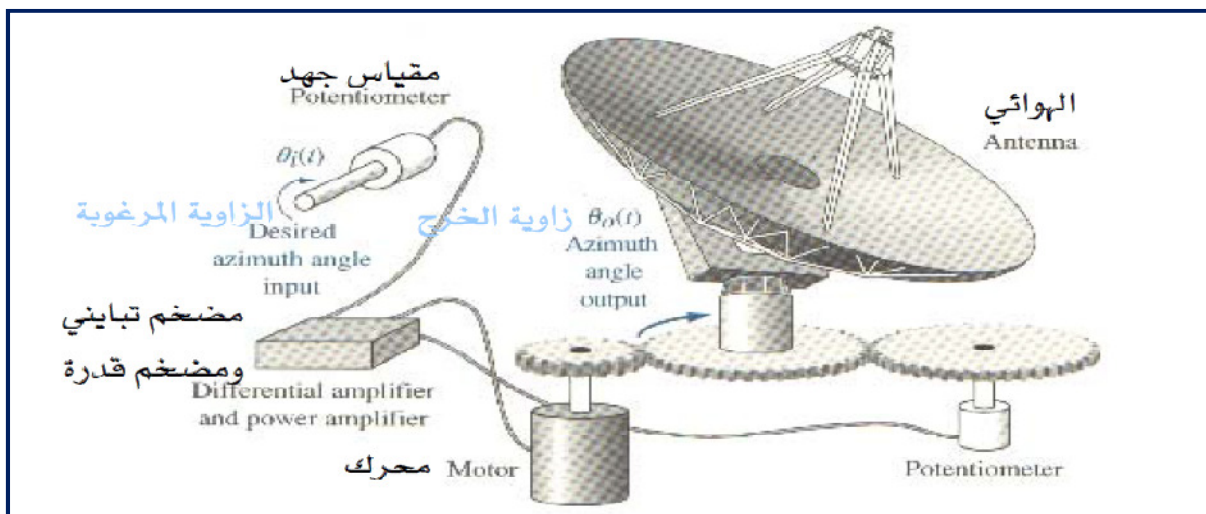
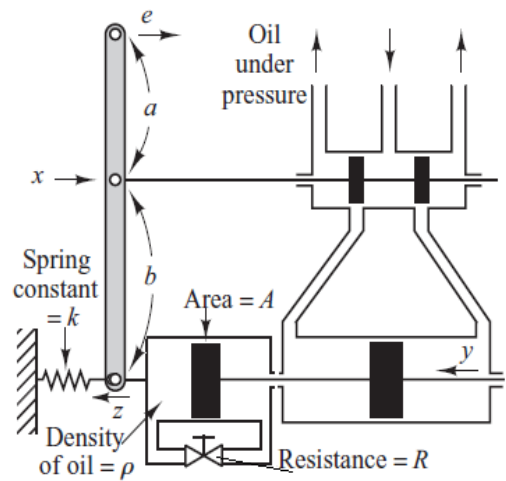
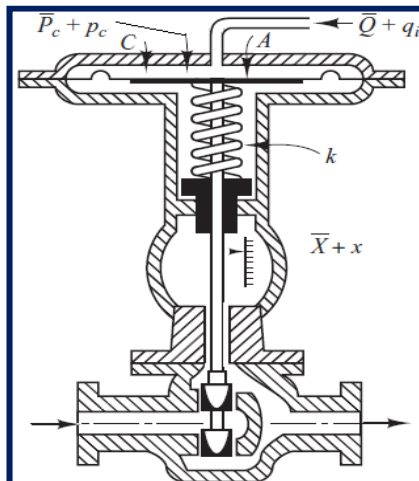
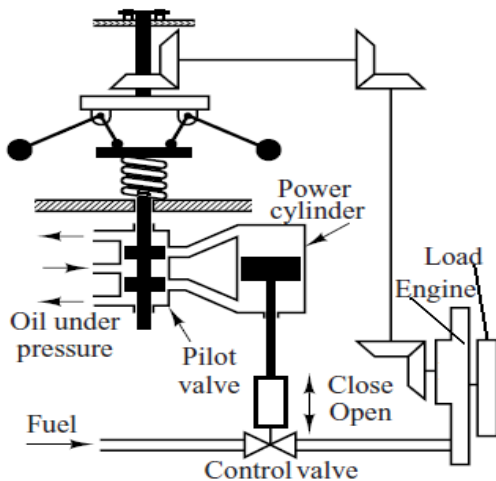




تطبيقات نظرية التحكم الآلي في نظم القوى الميكانيكية

Applications of Control Theory in Mech Power Systems

Dr. Mohsen Soliman



***** Part (1) *****

محتوى وأهداف الجزء الأول: مقدمة عامة، وصف وتعريف أنواع نظم التحكم، تحديد المكونات الميكانيكية والهوانية والهيدروليكيّة والكهربائيّة، طرق التمذجة الرياضيّة وتحديد دالة التحويل، وصف النّظام ذو الحافة المغلقة، تحديد الاستجابة الوقتيّة لمنظومات التحكم

الوحدة الثالثة: تحويل لا بلس و دالة التحويل	
- ١	العلاقة بين الدخل والخرج
- ٢	تحويل لا بلس
- ٣	دالة التحويل
أمثلة وتطبيقات على وضع النماذج الرياضية لمنظومات التحكم	
الوحدة الرابعة: الاستجابة الزمنية لنظام المترتبة الأولى والثانية	
- ١	دراسة نظام المترتبة الأولى
- ٢	دراسة نظام المترتبة الثانية
تمارين٤	
الوحدة الخامسة: تحليل الخطأ في أنظمة التحكم الآلي	
- ١	المنظمات الاستاتيكية والاستاتيكية
- ٢	الخطأ الاستاتي للمنتظومة
- ٣	معاملات الخطأ الاستاتي ودرجة الاستاتيكية
- ٤	تحليل إشارة الخطأ عند استعمال المنظمات
- ٥	تأثيرات المنظمات على أداء المنظمات
تمارين٥	
الوحدة السادسة: تحليل استقرار أنظمة التحكم الآلي	
- ١	أداء المنظمات التحكم الآلي
- ٢	دراسات استقرار العمليات في المنظمات
- ٣	الطريقة الجبرية
- ٤	أمثلة محلولة
- ٥	شروط استقرار بعض المنظمات
تمارين٦	
المراجع	

الوحدة الأولى: علم الاتصال والتحكم الآلي	
- ١	مقدمة
- ٢	منظومات التحكم الآلي الهندسية
- ٣	المصطلحات الفنية المستخدمة في منظومات التحكم الآلي
	خلاصة الباب الأول
تمارين١	
الوحدة الثانية: تعاريف وتطبيقات وأمثلة على اختصار المخطط الوظيفي	
تعريفات أجزاء المخطط الوظيفي العمومي	
أمثلة على منظومات التحكم الغلبة	
دوائر التحكم المغلقة ودوائر التحكم المفتوحة	
تصميم وتعويضات منظومات التحكم	
أمثلة وتمارين محلولة على اختصار المخطط الوظيفي	

الجزء الثاني (Part 2) يتضمن الوحدة الخامسة والسادسة

مصطلحات

Reference input	دخل مرجعى	Final control element	عنصر التحكم النهائي	محرك تيار متعدد
Response	استجابة	Flow meter	مقياس معدل التدفق	مشغل
Response curve	منحنى الاستجابة	Flow rate	معدل التدفق	تاظري
Rise time	زمن تزايد الاستجابة	Forward path	مسار أمامي	تحكم آلي
Root	جذر	Frequency	تردد	مخطط سندوفي
Sensor	حساس	Gain	كبس	المعادلة المميزة
Series	توالى	Input	دخل	خصائص
Set point	نقطة التحكم	Integral	تكاملى	دائرة مغلقة
Settling time	زمن التحكم	Integral controller	منظم تكاملى	نظام تحكم
Signal transducer	محول الإشارة	Laplace transform	تحويل لا بلس	سمام تحكم
Stability	استقرار	Level	مستوى	متغير التحكم فيه
Stability criteria	شرط الاستقرار	Manual control	تحكم يدوى	منظم
Step input	وحدة دخل درجية	Motor	محرك	إخماد حرج
System	نظام	On-off controller	منظم شائى الوضع	إخماد
Tachometer	تاكوميتر، عدد سرعة	Open loop	دائرة مفتوحة	محرك تيار مستمر
Time constant	ثابت الزمن	Output	خرج	زمن التأخير
Time response	استجابة زمنية	Over damping	إخماد زائد	تناضلي
Transducer	محول طاقة	Over shoot	تجاوز	منظم تناضلي
Transfer function	دالة التحويل	Peak time	زمن الذروة	تصميم
Transient response	استجابة عابرة	Performance	أداء	رقمي
Under damping	إخماد ناقص	Permanent response	استجابة دائمة	تشویش
Unit step	وحدة درجية	Pneumatic	نيوماتي، هوائي	ديناميكي
Unity feedback	تغذية مرتبدة أحادية	Polynomial	كثير الحدود	خطأ
		Potentiometer	مقياس الجهد	تنفيذية مرتبدة
		Process	عملية	مسار خلبي
		Proportional	تناسبى	
		Proportional Controller	منظم تناسبى	

أنظمة التحكم الآلي

- النظرية والتطبيق -

تمهيد

تأتي هذه الحقيبة في مجال التحكم الآلي وقد أعدت خصيصاً لمتدرب تخصص التحكم الآلي والمنظومات الهيدروليكي والبيوماتية في الكليات التقنية، وذلك لتعريف المتدربي بمفاهيم التحكم الآلي Automatic control الذي أصبح حاضراً في كل مكان وزمان من حياتنا اليومية.

لقد كانت رغبة الإنسان الجامحة في أن يتعلم من الطبيعة التي خلقها الله سبحانه وتعالى ووضع فيها أسمى درجات الفن والإبداع أحد أهم الأسباب التي أدت إلى ظهور هذا العلم. وهذا الأخير يبحث في إمكانية تصميم وتصنيع منظومات هندسية تحاكى وتضاهي المنظومات البيولوجية بكل ما فيها من إبداع إلهي في الدقة والأداء.

حيث يتجه العالم الحديث في هذه الآونة من الزمن نحو إدخال علوم الاتصال والتحكم في مختلف مجالات الحياة اليومية للإنسان وذلك بعرض تحسينها وجعلها أكثر رفاهية وتقديم. فقد تطورت عبر التاريخ منظومات التحكم الآلي أو الأوتوماتي وذلك بتدخل الإنسان في عمل هذه المنظومات.

ولقد سبب إدخال الكمبيوتر ثورة هائلة في تقديم المنظومات الآلية، حيث إنه يقوم بتنفيذ أعباء كثيرة وحل مشكلات معقدة للغاية إذا ما أدخل في هذه المنظومات. فمثلاً في مجال العلوم العسكرية يقوم الكمبيوتر المستخدم في قواعد إطلاق الصواريخ بإرسال إشارة إلى الهدف ثم يستقبلها مرة أخرى بعد أن ترتد عن ذلك الهدف ويقوم أيضاً بتحليل هذه الإشارات بفرض تحديد وضع الهدف وسرعته واتجاهه بدقة بالغة ثم يقوم بإعطاء أوامر بإطلاق الصاروخ بسرعة معينة وفي اتجاه معين حتى يصيب الهدف. ولا تخفي مدى صعوبة هذه العملية على المختصين ولا سيما إذا علمنا أن هذا يجب أن يتم في ثوانٍ معدودة.

ولو فرضنا أنها تعرف خواص المحكومة Plant وأيضاً المكونات الدالة ضمن تكوين منظومة التحكم الآلي الخاصة بهذه المحكومة فإنه يمكن طرح بعض الأسئلة وهي: ما هي خواص تلك المنظومة؟ وما هي المؤشرات الهامة التي تحكم أداؤها؟ وما هي القيم التي يجب أن تكون عليها هذه المؤشرات حتى يمكن تقويم أي منظومة تحكم آلي؟

ويحتوى هذا المقرر على ستة وحدات وهي:

الوحدة الأولى: يعنون علم الاتصال والتحكم الآلي وتناول فيها المكونات الأساسية لأي منظومة تحكم آلي وبعض الأمثلة من الواقع.

الوحدة الثانية: يعنون تعريفات وتطبيقات وأمثلة على اختصارات المخطط الوظيفي العمومي وتناول فيها تعريفات باللغة الإنجليزية لأجزاء المخطط الوظيفي وأمثلة على منظومات التحكم الفعلية ثم مقارنة بين دوائر التحكم المفلترة والمفتوحة ثم تصميم منظومات التحكم، وتحتوى الوحدة ملولة

الوحدة الثالثة: يعنون تحويل لا بلس ودالة التحويل وتناول فيها المفهوم الرياضي لمنظومة التحكم الآلي والعلاقة بين الدخول والخرج. وتتضمن الوحدة أمثلة وتطبيقات على وضع النماذج الرياضية لمنظومات التحكم الآلية.

الوحدة الرابعة: يعنون الاستجابة الزمنية لنظام المرتبة الأولى والثانية وتناول فيها الطريقة المستخدمة للحصول على الاستجابة الزمنية لنظام المرتبة الأولى والثانية.

الوحدة الخامسة: يعنون تحليل الخطايا في أنظمة التحكم الآلي وتحتوى في هذه الوحدة إلى إشارة الخطايا التي تنشأ في دائرة التحكم المفلترة حيث تقوم بتحليلها ومن ثم استخدام المخلمات المختلفة للحصول على أداء مثالى لنظام.

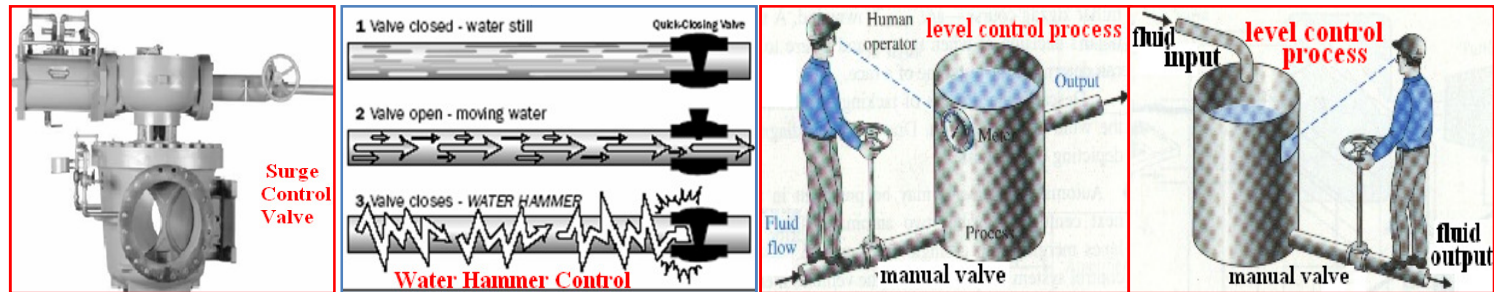
الوحدة السادسة: يعنون تحليل استقرار أنظمة التحكم الآلي وتناول فيها دراسة استقرار النظم بطريقة روث Routh حتى نتمكن من الحصول على منظومة مستقرة في أدائها.

وفيما يلي جدول يبين التطور التاريخي لعلم التحكم الآلي:

1769م	James Watt's fly ball governor	يتطور نظام تحكم في سرعة المحرك البخاري باستخدام منظم القوة
1868م	J.C. Maxwell	يقوم بصياغة نموذج رياضي لنظام تحكم في سرعة المحرك البخاري
1913م	هانرى فورد Henry Ford	يعمل خط إنتاج وتركيب سيارات
1927م	H.W. Bode	يقوم بتحليل تغذية المكبرات
1922م	H.Nyquist	يتطور طريقة تحليل استقرار منظومات التحكم الآلي
1952م	Massachusetts Institute of Technology	تطور التحكم الرقمي بجامعة ماسشوسكت斯 وذلك بالتحكم في محور ماكينة تشغيل
1954م	George Devol	يستخدم تحويل مقطع مبرمج للتحكم في أول روبوت
1960م		ظهور أول روبوت والذي تم تشغيله سنة 1961
1970م		تطور نماذج التحكم الأمثل
1994م		استخدام التحكم الآلي بشكل واسع في السيارات وأنظمة التصنيع بشكل عام.

About The Course:

It provides valuable & essential information about basics of Automatic Control Theory. We cover both theoretical & technical subjects. We discuss many basic elements of practical control systems, different control functions & relevant terminology, with emphasis on safety, stability & accuracy of control systems. PID controller is examined & discussed as example. This is essential for newcomers to Control Theory. Real-life examples are included in this course which is prerequisite or must be completed before attempting to study about the more advanced Automatic control systems.



The subject of automatic controls is enormous, covering the control of variables such as temperature, pressure, flow, level, and speed. The objective is to provide an introduction to automatic controls. This too can be divided into two parts:

- The control of Heating, Ventilating and Air Conditioning systems (commonly known as HVAC); and
- Process control.

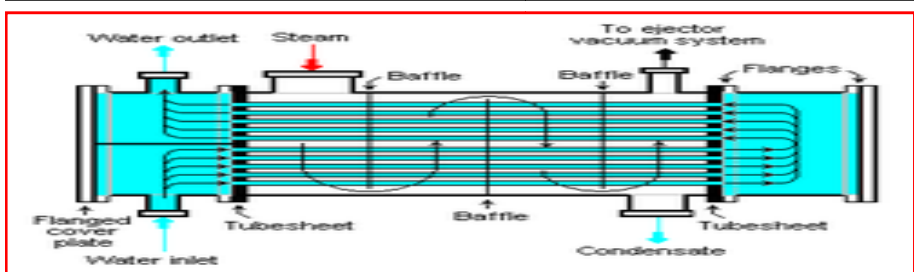
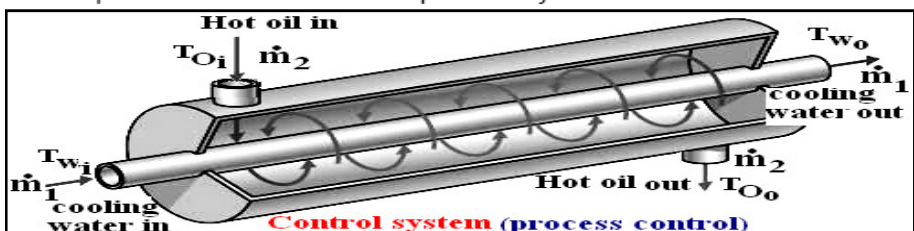
Both are immense subjects, the latter ranging from the control of a simple domestic cooker to a complete production system or process, as may be found in a large petrochemical complex.

The Controls Engineer needs to have various skills at his command - knowledge of mechanical engineering, electrical engineering, electronics and pneumatic systems, a working understanding of HVAC design and process applications and, increasingly today, an understanding of computers and digital communications.

Control is achieved by varying fluid flow using actuated valves. The usual requirement is to measure and respond to changes in temperature, pressure, level, humidity and flowrate. Almost the response must be within a given time. The control of fluids is not confined to valves. Some process streams are manipulated by the action of variable speed pumps or fans.

What is a Control System?:

Control system is a process with some parameters/variables to be controlled (i.e., $T_{Oil_{out}}$). 1st, these variables have to be measured by sensors. The sensors output signals (usually electric) are sent to a controller unit to do one or more control actions based on some preset data along with the measured values. **This is also called a cooling process control.** On fig., the controller may do needed control actions by controlling flow rate of either water or oil by using variable flow valves, or by changing rpm of variable speed pump.



Course main Objective:

The intention of this course is to provide basic insight into the practical and theoretical facets of automatic control, to which other skills can be added in the future, not to transform an individual into a Controls Engineer. This course is confined to control of processes that utilise the following fluids: steam, water, compressed air and hot oils.

What do we study in Process Control or Automatic Control Systems?

Introduction to Process Control

Control in process industries refers to the regulation of all aspects of the process. Precise control of level, temperature, pressure and flow is important in many process applications. This module introduces you to control in process industries, explains why control is important, and identifies different ways in which precise control is ensured.

- Why do we need to study Control? - (Importance of Process Control)

Refining, combining, handling, and otherwise manipulating fluids to profitably produce end products can be a precise, demanding, and potentially hazardous process. Small changes in a process can have a large impact on the end result. Variations in proportions, temperature, flow, turbulence, and many other factors must be carefully and consistently controlled to produce the desired end product with a minimum of raw materials and energy. Process control technology is the tool that enables manufacturers to keep their operations running within specified limits and to set more precise limits to maximize profitability, ensure quality and safety.

The following five sections are included in this module:

- ❑ The importance of process control
- ❑ Control theory basics
- ❑ Components of control loops and ISA symbology
- ❑ Controller algorithms and tuning
- ❑ Process control systems

Activities & Questions in the course:

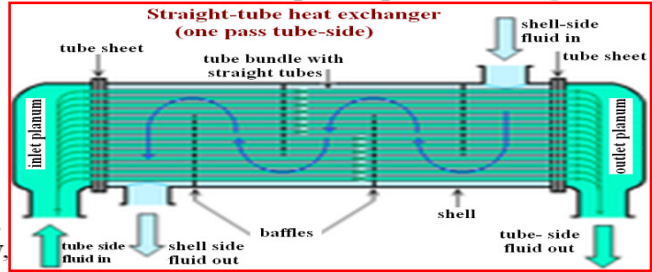
As you proceed through the module, answer the questions in the activities column on the right side of each page. Also, note the application boxes (double-bordered boxes) located throughout the module. Application boxes provide key information about how you may use your baseline knowledge in the field. When you see the workbook exercise graphic at bottom of a page, complete the designated exercise before moving on in the module. Work exercises help you measure your progress toward meeting each section's learning objectives.

PERFORMANCE OBJECTIVE

After completing this module, you will be able to determine needed control loop components in specific process control applications.

PROCESS

refers to methods of changing or refining raw materials to create end products. The raw materials, which either pass through or remain in liquid, gaseous, slurry (mix of solids & liquids) state during the process, are transferred, measured, mixed, heated or cooled, filtered, stored, or handled in other way to produce end product. Process industries include chemical industry, oil and gas industry, food and beverage industry, the pharmaceutical industry, the water treatment industry, and the power industry.



PROCESS CONTROL

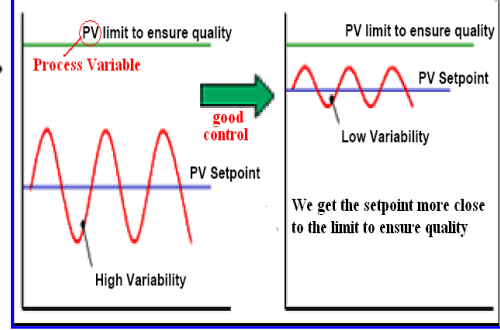
Process control refers to the methods that are used to control process variables when manufacturing a product. For example, factors such as the proportion of one ingredient to another, the temperature of the materials, how well the ingredients are mixed, and the pressure under which the materials are held can significantly impact the quality of end product. Manufacturers control the production process for three reasons:

- Reduce variability
- Increase efficiency
- Ensure safety

Reducing variability can also save money by reducing the need for product padding to meet required specifications. مبالغة/تحشو Padding refers to the process of making a product of higher-quality than it needs to be to meet specifications. When there is variability in the end product (i.e., when process control is poor), manufacturers are forced to pad the product to ensure that specifications are met, which adds to the cost. With accurate, dependable process control, the *setpoint* (desired or optimal point) can be moved closer to the actual product specification and thus save the manufacturer money.

Reduce Variability

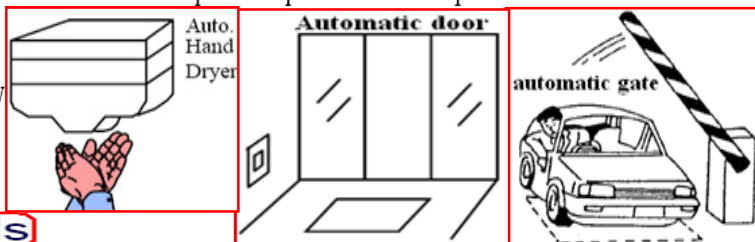
Process control can reduce variability in the end product, which ensures a consistently high-quality product. Manufacturers can also save money by reducing variability. For example, in a gasoline blending process, as many as 12 or more different components may be blended to make a specific grade of gasoline. If the refinery does not have precise control over the flow of the separate components, the gasoline may get too much of the high-octane components. As a result, customers would receive a higher grade and more expensive gasoline than they paid for, and the refinery would lose money. The opposite situation would be customers receiving a lower grade at a higher price.



Ensure Safety

A run-away process, such as an out-of-control nuclear or chemical reaction, may result if manufacturers do not maintain precise control of all of the process variables. The consequences of a run-away process can be catastrophic.

Precise process control may also be required to ensure safety. For example, maintaining proper boiler pressure by controlling the inflow of air used in combustion and the outflow of exhaust gases is crucial in preventing boiler implosions that can threaten safety of workers.



The need for automatic controls

There are three major reasons why process plant or buildings require automatic controls:

- **Safety** - The plant or process must be safe to operate.
The more complex or dangerous the plant or process, the greater is the need for automatic controls and safeguard protocol.
- **Stability** - The plant or processes should work steadily, predictably and repeatably, without fluctuations or unplanned shutdowns.
- **Accuracy** - This is a primary requirement in factories and buildings to prevent spoilage, increase quality, production & maintain comfort. These are fundamentals of economic efficiency. Other desirable benefits such as economy, speed, and reliability are also important, but it is against above 3 major parameters that each control application will be measured.

What are the Basics of Control Theory?

This section presents some of the basic concepts of control and provides a foundation from which to understand more complex control processes and algorithms later described in this module. Common terms: concepts relating to process control are defined in this section.

LEARNING OBJECTIVES

After completing this section, you will be able to:

- Define control loop ■ Describe the three tasks necessary for process control to occur:
 - Measure
 - Compare
 - Adjust
- Define the following terms:
 - Process variable
 - Setpoint
 - Manipulated variable
 - Measured variable
 - Error
 - Offset
 - Load disturbance
 - Control algorithm
- List at least five process variables that are commonly controlled in process industries
- At a high level, differentiate the following types of control:
 - Manual versus automatic feedback control
 - Closed-loop versus open-loop control

What is a Control Loop?

Imagine you are sitting in a cabin in front of a small fire on a cold winter evening. You feel uncomfortably cold, so you throw another log on the fire. This is an example of a *control loop*. In the control loop, a variable (temperature) fell below the setpoint (your comfort level), and you took action to bring the process back into desired condition by adding fuel to the fire. The control loop will now remain static until the temperature again rises above or falls below your comfort level.

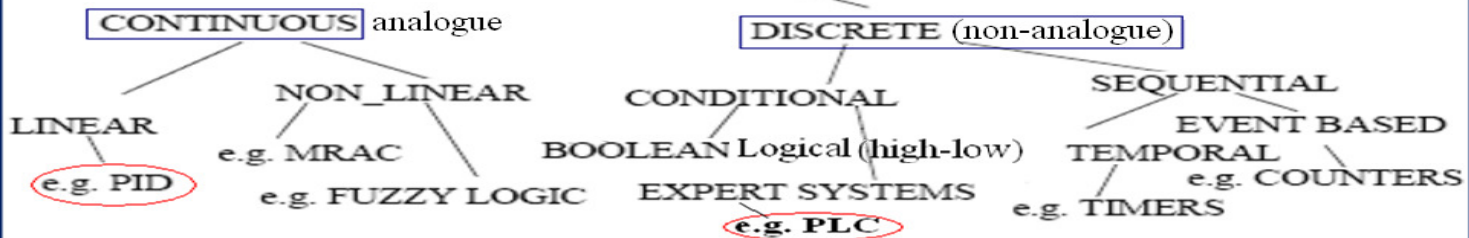
THREE TASKS

Control loops in process control industry work in the same way, requiring three tasks to occur:

- Measurement
- Comparison
- Adjustment

Model Reference Adaptive Control

CONTROL SYSTEMS



- Continuous - values to be controlled change smoothly (have a function bet. I&O)
- Logical - The value to be controlled are easily described as on-off.
- Linear - Can be described with a simple differential equation. This is the preferred starting point for simplicity, and a common approximation for real world problems.
- Non-Linear - This is how the world works and mathematics becomes much more complex. e.g. as rocket approaches sun, gravity increases, so control must change.
- Sequential - A logical controller will keep track of time and previous events.

Example: control problems in simple elevator



external control panel

- | |
|---|
| Logical:
1. The elevator must move towards a floor when a button is pushed.
2. The elevator must open a door when it is at a floor.
3. It must have the door closed before it moves. etc. |
| Linear:
1. If the desired position changes to a new value, accelerate quickly towards the new position.
2. As the elevator approaches the correct position, slow down.
3. Accelerate slowly to start. |
| Non-linear:
1. Decelerate as you approach the final position.
2. Allow faster motion while moving.
3. Compensate for cable stretch, and changing spring constant |

Sub-control system versus Main control system (Actual Industrial View): a heat exchanger control system may be just a small part of a bigger group of processes which might have many steps/operations before the hot oil comes to the heat exchanger. We have sub-control system as part of main or general control system. In General, for any process it might be divided into many sub-processes, each one of the sub-processes performs a certain small operation or can also be divided into many sub-sub-process

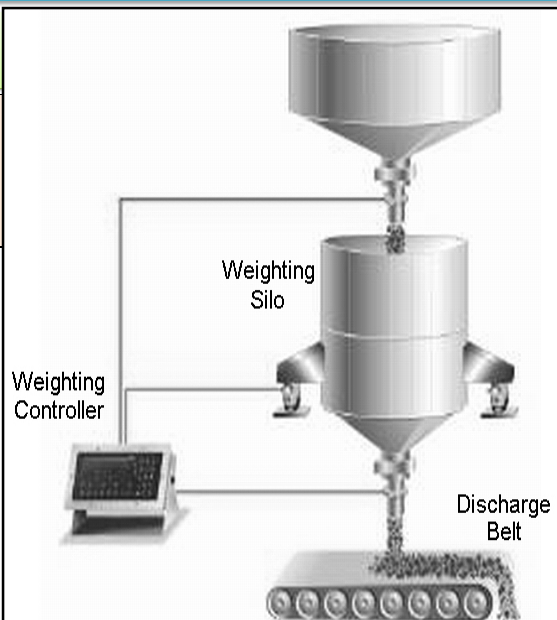
Note that: most Hydraulic or Pneumatic systems are considered as sub-control sys and we study them as separate systems.

Example2-Weighting Process: to weight a fixed amount of material to use in next industrial step. The control action is done by the weighting controller, when the batch weight reaches the required value the controller closes the upper feeding gate and opens the lower discharging gate after starting the discharge belt.

Two Types of main Process control Operations

1-Parameter Control: is to control one parameter in a process. This parameter can be directly measured as pressure, temp,...Or can be calculated from others as density, viscosity. In heat exchanger cooling process, we just need to measure and control temperature of oil (T_{oilout})

2-Sequence Control: certain sequence of operations to be done correctly. In the weighting process, the sequence in operations: -Open the feeding valve; -Wait till the weight reaches the required value; -Close the feeding gate; -Start the discharge belt; -Open discharge valve; -Wait till weight is zero; -Close discharge valve; -Stop discharge belt



Most of the complex industrial processes contain both operations, so in order to make efficient automatic control there are ready made controllers for each type of operations. Using the ready made controllers decrease the complexity of measuring or controlling single or multiple parts of the big complex process.

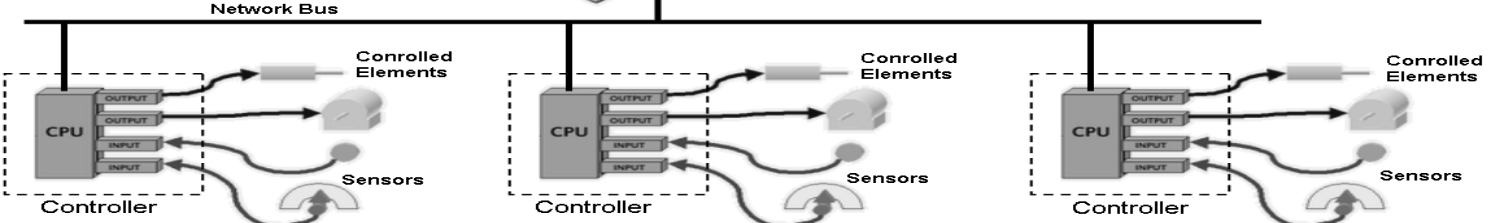
Example: For measuring weights in industry there are Load Cells which use physical properties (like tension or compression) to measure the weight, for each type of load cells it has its electronic controller which directly deal and interface it and gives an electric signal corresponding to the measured weight. So, here we haven't to deal with the physical properties and its complexity and problems (like instability, zero offset, accuracy, surrounding effects) and we only deal directly with an electrical signal.

Software/programs

Note: Computer is also a device for Input/output signals (digital/analogue)



Hardware:
PLC systems/technologies
SCADA control systems, RTU
micro-processors/controllers,
special CPU's/memory chips
special control sensors/cards



Automatic Control Using Computers: When using # of controller units we deal directly with electric signals that have to be managed and controlled automatically. But, when we have a big process we also get a lot of electric signals which we have to deal with correctly and efficiently. **Correctly** means to do what is required from process to do. And **Efficiently** means to deal with other problems such as:

• What happen if a controller fails? What if we have an overload in the system? How to manage and monitor all the process parts? So, Modern control architecture with PCs is built on the following:

1-Each part of the process has its own controller which has a program to fully control this part of the process. This controller has output signals to control the elements (like motors, valves) and has input signals to interface the sensors signals coming from the elements (like thermometer, potentiometer).

2-Then through connecting many controllers together with a PC by a network, the main PC can manage the controllers (by sending set points for the controllers and the PC receives signals from the controllers to monitor the status of each controller) **مثال: تحكم مركزي في شبكة توليد/توزيع الكهرباء من أكثر من محطة**

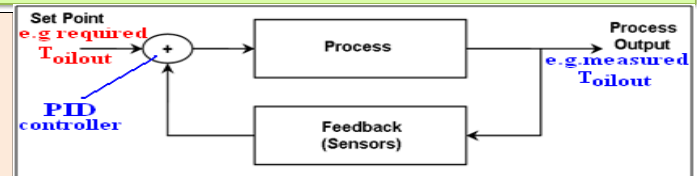
So, the PC can solve the problem of system overload by re-distributing the loads on the controllers, also the PC can take advanced actions in case of controller failure or emergency conditions.

Also the PC can store large amount of information about the process in database and make statistical calculations or charts which is useful for process enhancement.

Types of Controllers There are many types of controllers but we are going to focus only on **two of them**.

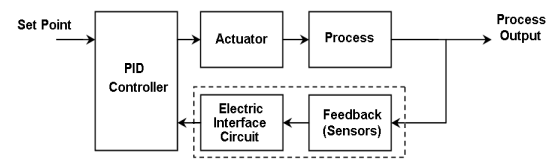
1) PID Controller:

PID (Proportional Integral Differential) controller is mainly used in Parameter Control. To do a control on a parameter in a process we use the shown control loop.

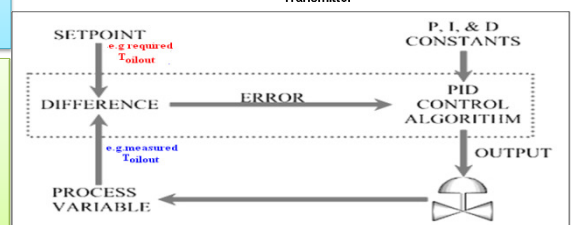


Digital PID controller has software performs normal control equations but in a digital form. So to do changes by this loop, the modern digital PID controller has to work with electrical digital signal

As we know that any process is in a physical analog mode, and the sensors supply very small signals (voltage or current) so we need an electric interface circuit to convert the signal to the suitable electric mode (voltage 0-10 V, current 4-20 mA), the sensor and the converter are called Transmitter. Also, in order to drive physical outputs we need a converter to change the electrical signal to the suitable physical action (like pressure, displacement, rotation, heat) and this converter is called Actuator. But now, Most of industrial elements have their own Transmitter and Actuator. Example: An electrically controlled valve has electric input signal (volt or current) to control the valve opening, the percentage of opening corresponds to the electric signal.



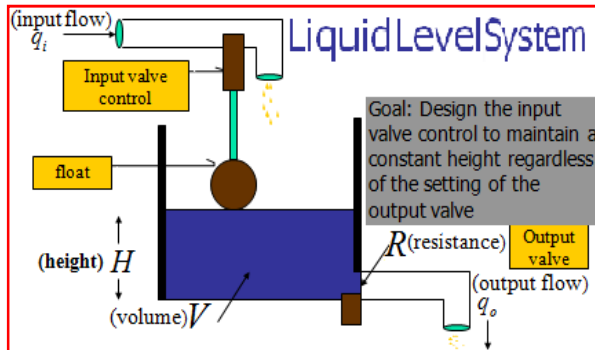
How the PID controller works? Basic function of controller is to execute algorithm on the control engineer's input (tuning constants), the operator desired operating value & current plant process values. The basic process variables are:
Set Points (SP): The final or fixed value required for certain parameter (e.g., required T_out)



Manipulated Variables (MV): variables which we can change in process (e.g., oil & water flow)

Controlled Variables (CV) or Process Variables (PV): variables which need to control its values (e.g., measured T_out). In most cases, requirement for this controller is to act so that the PV is as close as possible to SP (e.g., required T_out). In a basic process control loop, the control engineer utilizes PID algorithms to achieve this through changing the values of MV. The PID controller is looking at the difference between the PV and the SP. It looks at the absolute error and the rate of change of error.

Overshooting versus Steady control: When there is a "process upset", meaning the process variable or the set point quickly changes, the PID controller has to quickly change the output to get the process variable back equal to the set point. If you have a room with a walk-in cooler using a PID controller and someone opens the door and walks in, the temperature (process variable) could rise very quickly. Therefore the PID controller has to increase the cooling (output) to compensate for this rise in temperature. Once the PID controller has the process variable equal to the set point, a good PID controller will not vary the output. You want the output to be very steady (not changing). If the valve (motor or other control element) is constantly changing, instead of maintaining a constant value, this could cause more wear on the control element. So there are these two contradictory goals. Fast response (fast change in output) when there is a "process upset", but slow response (steady output) when the PV is close to the set point.



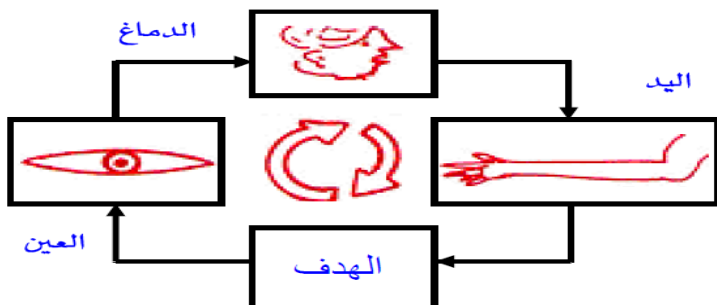
الوحدة الأولى - علم الاتصال والتحكم الآلي

- الأهداف** باكتمال الوحدة الأولى يكون المتدرب قادرًا على:
- * أن يعرف علم الاتصال والتحكم الآلي
 - * أن يتعرف على عناصر منظومة التحكم الآلي انتلاقاً من بعض الأمثلة لبعض المنظومات
 - * رسم وأو قراءة المخطط الوظيفي لأي منظومة تحكم آلي.
 - * أن يعدد العناصر المكونة لأي منظومة تحكم آلي.

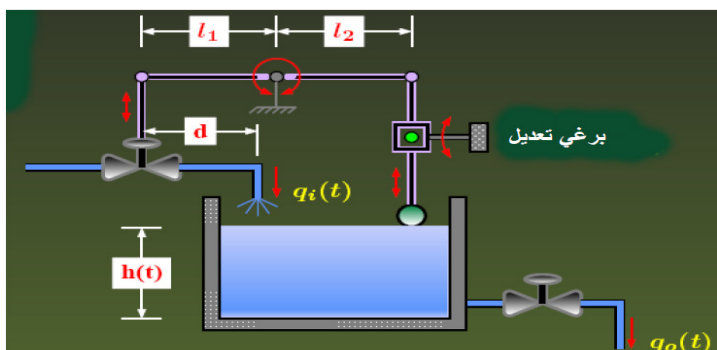
- مقدمة :

يتجه العالم الحديث في هذه الآونة من الزمن نحو إدخال علوم الاتصال والتحكم الآلي في مختلف مجالات الحياة اليومية للإنسان وذلك بغيرهن تحسينها وجعلها أكثر رفاهية وتقدم. وحتى نتتعرف على مفهوم الاتصال والتحكم ومنظومات التحكم الآلي سوف نقوم بعمل دراسة مقارنة بين أنواع من المنظومات تبدو وكأنها مختلفة عن بعضها في مظهرها الخارجي. وقد وقع الاختيار على منظومات بسيطة في تكوينها حتى يتسعى لنا أن نستخلص منها بعض المنهجيات الأساسية في علوم التحكم والاتصال.

وشكل (١-١) يبين منظومة هندسية يمكن أن تستخدمن في تثبيت مستوى السائل في الخزان عند قيمة معينة h_0 يحددها المصمم مسبقاً. وعندما يحيد مستوى السائل h في الخزان عن هذه القيمة فإن العوامة F_{float} سوف تتحرك إلى أعلى أو إلى أسفل وبالتالي سوف تتغير قيمة معدل التدفق (t) على مستوى سمام دخول السائل وهو سمام التحكم. وبذلك يمكننا التحكم في معدل تدفق السائل إلى الخزان عبر سمام التحكم Control-valve حيث يعود مستوى السائل من جديد إلى قيمته h_0 .



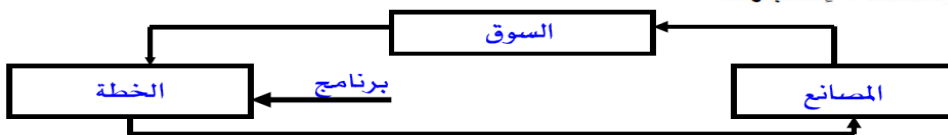
شكل (٢-١) منظومة الاقتراب من هدف معين
(منظومة بيولوجية)



شكل (١-١) منظومة التحكم في مستوى سائل (منظومة هندسية)

وشكل (١-٢) يوضح منظومة بيولوجية موجودة في معظم الكائنات الحية وخاصة في الإنسان. وهذه المنظومة توفر كيف يستطيع الإنسان أن يقترب بديهياً من هدف معين Object **Hand** ويقوم الدماغ Brain بإرسال إشارات معينة عبر الجهاز العصبي إلى الذراع واليد. وهذه الإشارات تتسبب في أن يتحرك الذراع واليد تجاه الهدف المحدد وعندئذ يأتي دور العين Eye في مراقبة المسافة بين اليد وبين الهدف حيث يقوم الجهاز البصري بإرسال إشارات مرتبطة إلى الدماغ لكي يحيطه علمًا بالمسافة بين اليد والهدف. وتستمر هذه العملية الديناميكية في الحدوث إلى أن تلمس اليد الهدف وبذلك تكون المسافة النسبية بينهما صفراء.

أما شكل (١-٣) فهو يوضح منظومة كبيرة يتم على أساسها التحكم في تصنيع منتج معين، وفيه هذه المنظومة توفر خطة لإنتاج هذا المنتج تبعاً لتقديرات عدد السكان ومعدل التزايد السكاني والعرض والطلب في الأسواق المتاحة. ثم ترسل الخلطة المنشورة للإنتاج إلى المصنع Factories لكي يتم تصنيعها. وبعد أن يطرح المنتج للعرض في الأسواق تعمل دراسة لمقارنة الاحتياج الحقيقي لهذه السلعة في السوق بمعدلات الاستهلاك التي رسمت على أساسها الخلطة الإنتاجية Production plan ثم يعاد النظر في الخلطة المبدئية لتعديلها حسب حاجة السوق وترسل بذلك تعليمات إلى المصنع لكي تعدل من سياساتها الإنتاجية. وتستمر هذه العملية إلى أن يصل المسمومون إلى خطة تحقيق التوازن المطلوب بين الاحتياج الحقيقي للسلعة ومعدلات إنتاجها.



شكل (١-٣) : منظومة لوضع خطة إنتاج (منظومة كبيرة)

الجدير بالذكر أن النوع الأول من المنظومات قد سميت بالمنظومات الهندسية **Engineering systems** وهو ذلك النوع من المنظومات التي يقوم بتصميمها المهندسون لتحقيق غرض معين، مثل منظومات التحكم في درجات الحرارة في الثلاجات والأفران الصناعية، ومنظومات التحكم في آلات التشغيل في الورش الهندسية، ومنظومات التحكم في سرعات محركات дизيل والبنزين، ومنظومات الطيار الآلي لقيادة الطائرات أوتوماتيا، ومنظومات توجيه الصواريخ ذاتية الحركة...الخ.

أما النوع الثاني من المنظومات فقد سميت بالمنظومات البيولوجية **Biological systems** وهو ذلك النوع من المنظومات التي خلقها الله سبحانه وتعالى في الكائنات الحية لكي تحافظ على هذا الكائن بطريقة تلقائية دون أن يتدخل الكائن ذاته في ذلك ومن هذه المنظومات يوجد الكثير مثل منظومات التحكم في درجة حرارة الإنسان وجعلها ثابتة رغم تغير التزروق المناخي حوله، ومنظومات التحكم في نسبة السكر في الدم ومنظومات التحكم في الضغط...الخ.

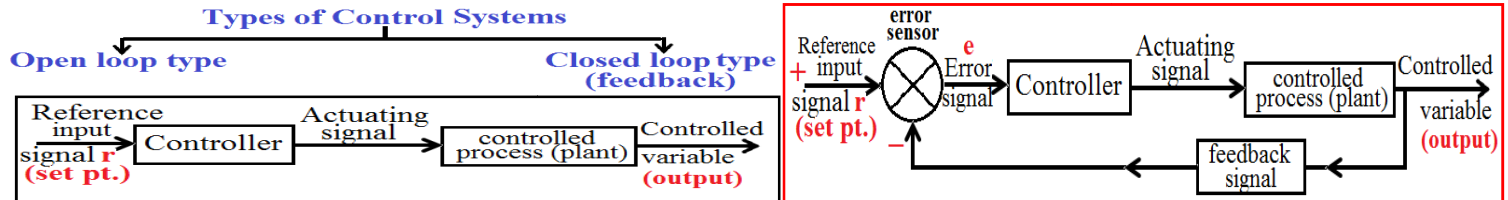
أما النوع الثالث فقد سمى بالمنظومة الكبيرة **Large scale systems** وهو ذلك النوع من المنظومات الذي يدخل في إطاره عدد كبير من العوامل والمتغيرات مثل المنظومات الخاصة بخطة الإنتاج في الدولة، والمنظومات الخاصة بالتحكم في المرور في المدن المزدحمة، والمنظومات الخاصة بمشكلات التنفس في نظم التقد الدولي...الخ.

ومقارنة هذه المنظومات بعضها ببعض يجب أن نطرح أولاً هذا التساؤل:

ما هي الصفات المشتركة بين هذه الأنواع الثلاثة من المنظومات؟

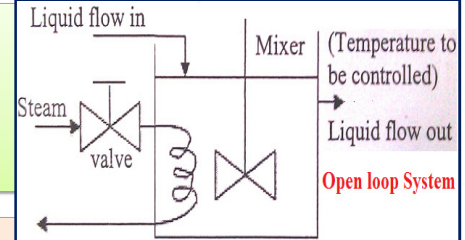
بالرغم من اختلاف هذه المنظومات في التركيب والتصميم والعناصر المادية التي تتكون منها كل منظومة إلا أنه توجد بينها بعض الصفات الأساسية المشتركة الآتية:

- أ - إن سريان المعلومات (Information flow) ينبع من مفهوم الميكانيكية كهرافية. بين عناصر ومتغيرات أي منظومة يعتبر شرطاً أساسياً لكي تعمل هذه المنظومة بطريقة صحيحة. فمثلاً إذا انهارت الوصلة بين العوامة والمقاومة المتغيرة في المنظومة المبينة في الشكل (١-١) سوف لا تؤدي الغرض المطلوب منها بالطريقة الصحيحة.
- ب - إن العمليات التي تتم في هذه المنظومات تشتمل على الآتي :
- ◆ تحويل وحفظ هذه المعلومات ثم معالجتها بطرق معينة بحيث تحصل على صورة دقيقة عن أداء كل عنصر في المنظومة وكذلك عما يحيطها من ظروف خارجية تؤثر عليها (المقاومة المتغيرة المحرك - الدماغ... الخ).
 - ◆ استخدام نتائج معالجة المعلومات التي حصلنا عليها في صورة تعبيرية مرتبطة لكي يمكن بواسطتها التحكم في متغير معين أو عدة متغيرات وذلك عن طريق عنصر تحكم نهائي (السمام - اليد... الخ).



Open loop: output information about Controlled variable (i.e., temp of liquid in tank) is not used to control/adjust any system inputs (liquid/steam) in order to compensate for any variations in process variables.

How to Control: A prediction/guess is made about what the input (i.e., opening of the steam manual valve) should be to get a desired output. This Prediction is based on some past experience or knowledge about the system or is based on trial & error to get the desired output.



Examples:

1-Toasters: the quality of toast (i.e., the output) will vary with type of bread, initial temp. of toaster.

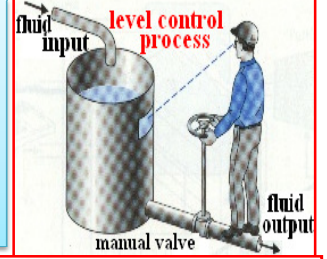
2-Automatic Washing Machine: the cleanliness of clothes depends on correct assessment of amount of the soap & the used program or the length of used washing cycle & its temperature required.

Note: in both examples, we can not or do not measure exact values of the required output.

Disadvantage of Open loop: is frequently unsatisfactory because any unexpected disturbance to the system inputs can cause large deviation in the desired output.

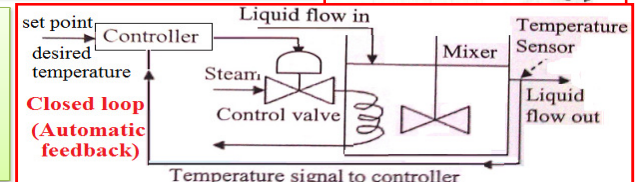
Advantages: Less expensive than closed loop; No need to measure actual results; Controller is much simpler because corrective action based on error is not needed

Often human operator must do correction by slowly changing output disturbance by manual adjustment. In this case, the operator is actually closing the loop by providing both the output measurement, feedback signal and error comparison.



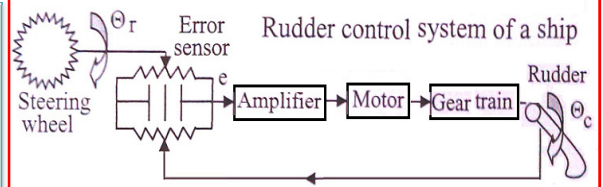
Closed loop: it uses information about a Controlled variable(i.e, temp of liquid in tank)to control/adjust system inputs(liquid/steam) in order to compensate for any variations in the process output variable.

How to Control: a temperature sensor produces an electric/pneumatic signal proportional to output temp.

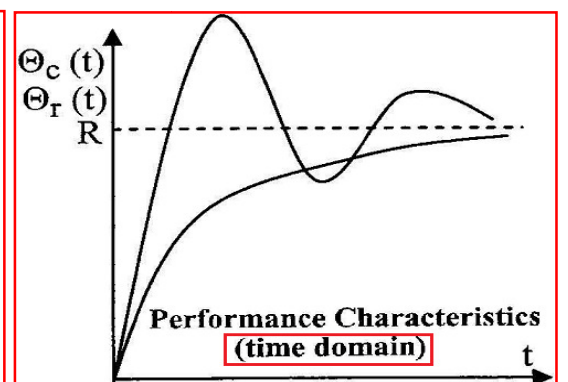
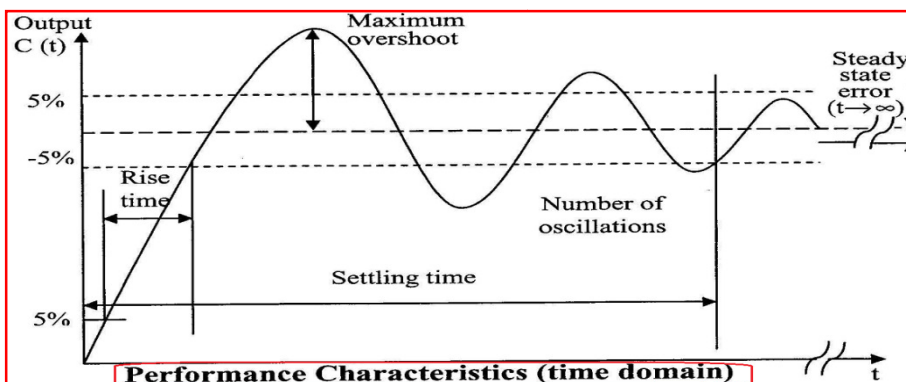


Controller compares feedback signal to desired set point. If difference/error exists, controller sends signal to control valve to change the size of valve opening to be appropriate to necessary temp. correction action

Example: Objective is control rudder position, and the reference input is set by the steering wheel. Error bet. Relative positions of wheel & the rudder is the signal that actuates controller & the motor. If rudder is finally aligned with desired reference direction, the output of error sensor is zero. For step input R, 1st fig. shows rudder position f(t) depending on system characteristics.



Because all physical systems have electrical and mechanical inertia, the position of the rudder cannot respond instantaneously to step input, but will rather, more gradually towards the final desired position. Often the response will oscillate about the final position before settling. It is apparent that for the rudder control it is desirable to have a non-oscillatory response.



١-تعريف التحكم الآلي:

التحكم الآلي هو ذلك الاتجاه الحديث الذي يوجد اتجاه المتخصلين في المجالات المختلفة مثل المهندسين والبيولوجيين وعلماء النفس والمجتمع والرياضيات وذلك عن طريق استحداث أسلوب تنظيم مشترك يجمع بينهم جميعاً، فهي تمثل عصر تكامل العلوم. وتستند أجهزة ومعدات منظومات التحكم الآلي في تصميمها على وضع نماذج رياضية للمنظومة ثم استخدام الحاسوبات الإلكترونية السريعة في محاكاة العمليات الطبيعية التي تصنفها هذه النماذج.

وقد تبعج المتخصلون في علوم التحكم الآلي في تسميم وتصنيع الإنسان الآلي Robot وهو عبارة عن آلة تستطيع أن تتنفذ بعض العمليات والأوامر المبرمجة. الإنسان الآلي له مجالات نفع كبيرة إذ أنه يستخدم في أن يحل محل الأدوات التي تشكل خلورة على حياته مثل العمل في المنشآت الذرية والمصانع وخلوط الانتاج وعمليات التحليف المختلفة. كماً أمكنهم تصميم وتصنيع الطبيب الآلي الذي يقوم بتشخيص الأمراض بدقة بالغة وذلك بإمداده ببعض المعلومات الخاصة عن الحالة المرضية للشخص. وفي هذا المجال أمكن الاستفادة من الخبرات السابقة لباري الأطباء المتخصلين في برامج إسباب التشخيص المتقدمة وأوتوماتيتها حتى يستفيد منها أكبر عدد من الأشخاص. بالإضافة إلى ذلك توجد بعض أجهزة ومعدات منظومات التحكم الآلي المتولدة في مجال أوتوماتيك التعليم والاقتصاد وعلوم الاجتماع واللغويات.

٢-تعريف منظومة التحكم الآلي:

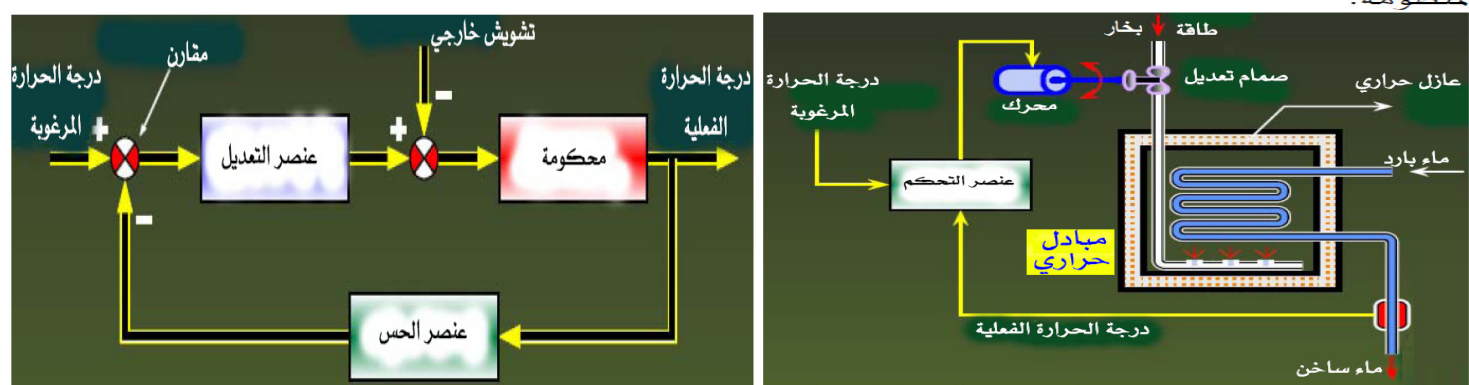
هي مجموعة عناصر تحافظ على نتيجة مرغوبة عن طريق معالجة قيمة متغير ثان في النظام.

٣-منظومات التحكم الآلي الهندسية :

يمكن تعريف منظومة التحكم الآلي بأنها عبارة عن مجموعة من الأجهزة والمعدات التي ركبت على منشأة هندسية بطريقة معينة بحيث يمكن التحكم والسيطرة على بعض أو كل المتغيرات الهامة في هذه المنشأة. وهذه السيطرة تتم بطريقة محسوبة بحيث يتحقق الهدف الأساسي System objective الذي سميت من أجله هذه المنظومة. ولكي نفهم المصطلحات التقنية المستخدمة في هذا المجال سوف نورد فيما يلي بعض المنظومات شائعة الاستخدام في الصناعة مع شرح موجز لكل منها. ومن ثم سوف نوضح كيف يمكن تجريد هذه المنظومات من محتواها المادي إلى منظومة تجريبية موحدة تعمل بمبدأ موحد ينطبق على معظم هذه المنظومات.

٤-منظومات التحكم في درجة حرارة مبادل حراري heat exchanger :

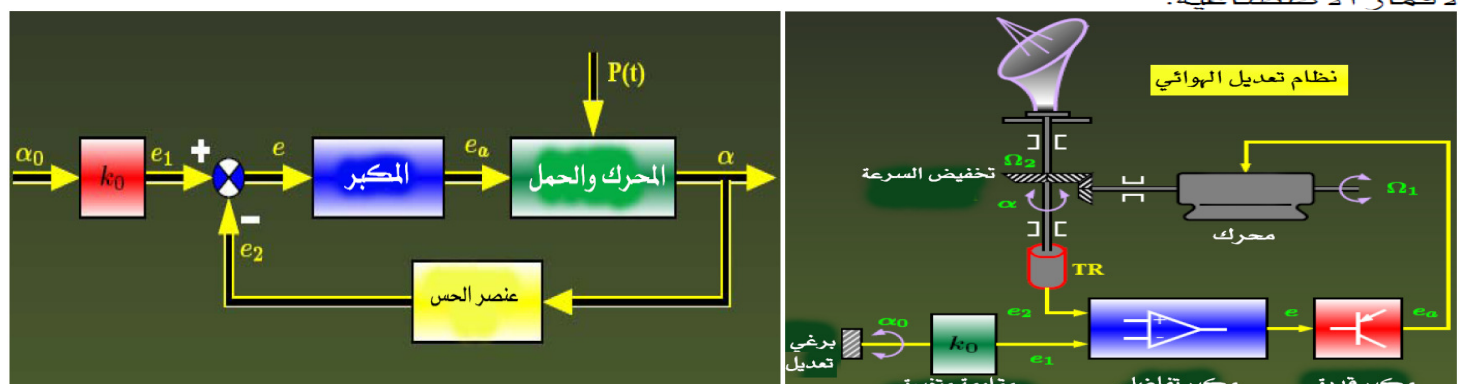
شكل (٤) يبين منظومة التحكم في درجة حرارة مبادل حراري حيث يقاس التغير في درجة حرارته بواسطة عنصر قياس هذا التغير يتم تحويله إلى فرق جهد الذي يقع تكبيره عن طريق مضخم فولتية أو جهد Voltage amplifier ثم يغذي إلى ملف الحث لمotor كهربائي متزامن يقوم بالتحكم في معدل تصرف البخار الماء إلى المبادل الحراري. وستمر عملية قياس الخطأ في درجة الحرارة بواسطة عنصر الحس والمقارن، حيث يتم التحكم في معدل تصرف البخار الماء إلى المبادل الحراري تبعاً لقانون معين تحدده طبيعة العناصر الدالة في تصميم المنظومة (المقاومة - المحرك... الخ) إلى أن تصل درجة حرارة المبادل إلى الدرجة المطلوبة. وشكل (٥) يبين المخطط الوظيفي لهذه المنظومة.



شكل (٤) : منظومة تحكم في درجة حرارة مبادل حراري

٥-منظومات التحكم في هوائي:

لقد انتشرت الهوائيات في هذا العصر وذلك لتمكن الإنسان من التعرف على الأخبار العالمية في مختلف القنوات التلفزيونية، ولتمكن من التقادم هذه القنوات يجب التحكم في وضع سحن الهوائي لكي يتمكن من تحديد وضع القمر الاصطناعي المناسب مثل Arabsat و Nilesat وغيرها من الأقمار الاصطناعية.

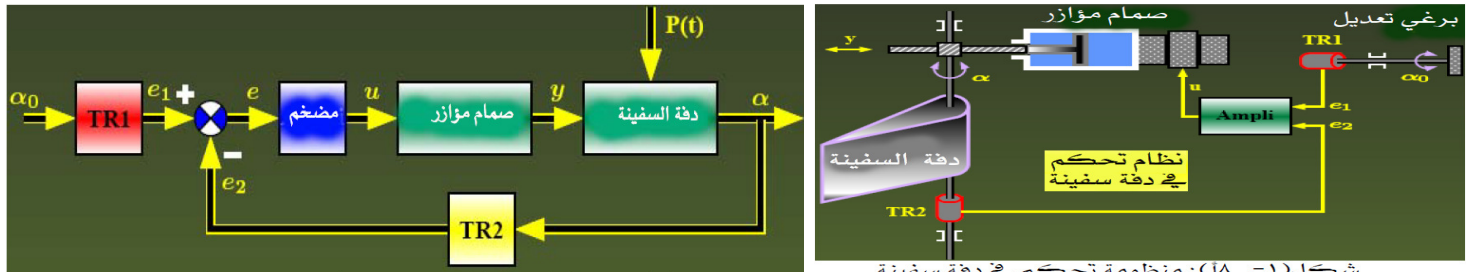


شكل (٥) : المخطط الوظيفي لمنظومة تحكم في هوائي

شكل (٦) : منظومة تحكم في هوائي

٦-منظومات تحكم في دفة سفينة:

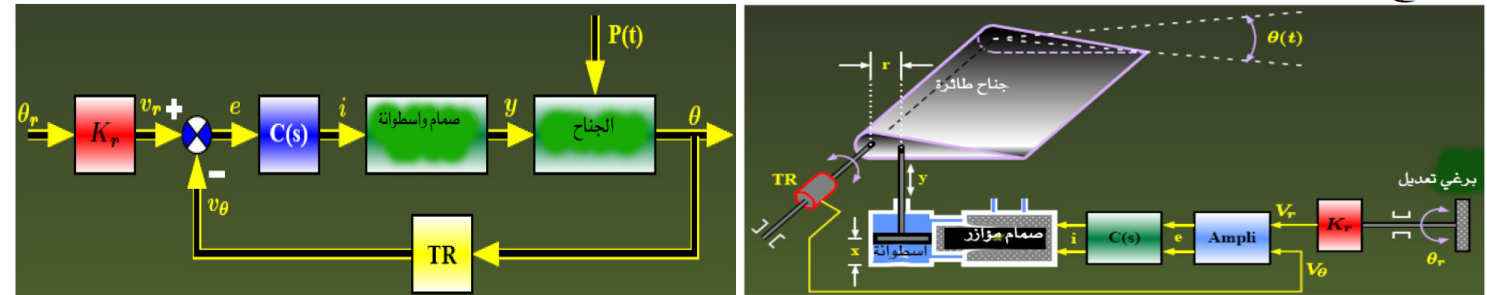
شكل (٦) والشكل (٨) يبين إحدى منظومات التحكم المستخدمة في توجيه السفن حيث يتم التحكم في اتجاه الدفة وذلك بالتحكم في وضع أسطوانة باستخدام صمام تناصبي و عند مخرج قضيب أسطوانة نجد نظام تحويل الحركة الخطية إلى حركة زاوية وذلك لتحريك الدفة في اتجاه عقارب الساعة أو عكس عقارب الساعة وذلك يمكننا من التحكم بشكل دقيق في وجهة السفينة. TR₁: مقياس جهد عند الدخل محدد القيمة المرغوبة، TR₂: مقياس جهد عند الخروج وهو عنصر قياس



شكل(١-٨): المخطط الصندوقى لنظامة تحكم في دفة سفينة

٤ منظومات تحكم في جناح طائرة

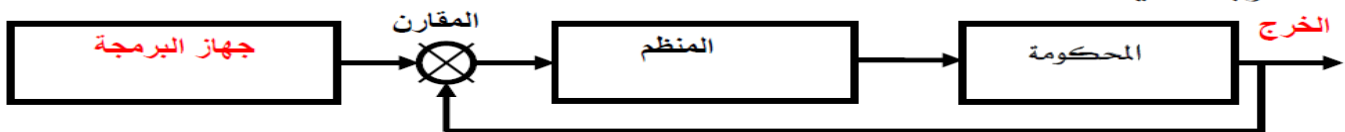
شكل (١-٩) والشكل شكل (١-٩) يبين إحدى منظومات التحكم المستخدمة في توجيه جزء من جناح طائرة حيث يتم التحكم في اتجاه هذا الجزء وذلك بالتحكم في حركة زاوية إلى حركة الخطيبة إلى حركة عقارب الساعة وذلك لتحريك جزء الجناح في اتجاه عقارب الساعة أو عكس عقارب الساعة وذلك يمكننا من التحكم بشكل دقيق في مستوى ارتفاع الطائرة.



شكل(١-٩): المخطط الصندوقى لنظامة تحكم في جناح طائرة

٥ منظومات التحكم الآلي المبرمج

شكل (١-١٠) يبيّن المخطط الوظيفي لهذا النوع من المنظومات. وهي تختلف عن المنظومات السابقة بأنه يوجد بها جهاز للبرمجة Programmer يقوم بعمل برنامج معين يجب أن يتبعه متغير التحكم. وتوجد أنواع كثيرة من وسائل البرمجة منها الميكانيكية وستستخدم عندما يكون البرنامج بسيطاً نسبياً، ومنها الإلكترونية والرقمية وهي تتمتع بامكانيات هائلة في تغيير أي برنامج مطلوب مهما كانت درجة تعقيده.



شكل(١-١٠): منظومات تحكم آلي مبرمج

٣ المصطلحات الفنية المستخدمة في منظومات التحكم الآلي

لعل أهم شيء يمكن أن نستنتج أنه بعد دراستنا للمنظومات السابقة هو أنه يمكن تمثيلها بواسطة مخطط وذيichi عام يصف النظرية الأساسية في عمل هذه المنظومات وهي نظرية التغذية المرتدة Feedback. وشكل (١-١١) يوضح هذا الرسم.



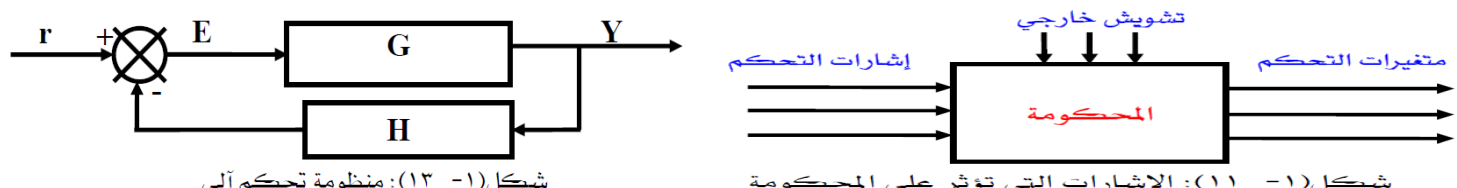
شكل(١-١١): المخطط العام لمنظومات التحكم الآلي

عندما يؤثر على المحکومة plant تشویش خارجي (λ) أو عندما تغير قيمة الإشارة المطلوبة Reference signal (r) فإنه سوف تولد إشارة خطاً (E) تمثل الفرق بين القيمة الفعلية لمتغير التحكم (y) والقيمة المطلوبة (r). بعد ذلك تؤدي إشارة الخطاً (E) إلى المتكلم Controller يقوم بإخراج إشارة متغير التحكم (μ) action ويؤثر بها على المحکومة plant بحيث يتم تصحيح القيمة الفعلية لمتغير التحكم. وحيث إن الرسم التخطيطي Block diagram المعلى في شكل (١-١١) يمكن تعميمه على معظم منظومات التحكم الآلي فإننا سوف نورد فيما يلى بعض المطالعات الفنية في هذا المجال حتى يتبلور لدينا مفهوم محدد لكل مصطلح من هذه المصطلحات.

٤ المحکومة plant

هي تلك المنشآت الهندسية أو العملية التقنية أو الماكينة التي يراد التحكم في أحد أو عدد معين من المتغيرات عند مخرجها وهذه المتغيرات تسمى بمتغيرات التحكم (y) كما هو مبين في شكل (١-١٢).

المتحكمية يمکن أن تقع تحت تأثير تشویش خارجي External disturbance (بالطبع يكون ذا أثر غير مرغوب فيه غالباً ما يكون شووائياً Stochastic) يتسبب في أن تحد قيمه متغير التحكم عن القيمة المطلوبة. ومن جهة أخرى تقع المحکومة تحت تأثير إشارة أخرى تأتي إليها من جهة المنظم وهي إشارة التحكم Control action (μ) ولكن هذه الإشارة تختلف عن إشارة التشویش (λ) في أنها إشارة محسوبة بقانون معين من قبل المنظم بالإضافة إلى أنها تحاول تصحيح قيمة متغير التحكم بعكس إشارة التشویش. وشكل (١-١٢) يبيّن كيّنية تمثيل المحکومة والإضافات المؤثرة عليها.



شكل(١-١٢): منظومات تحكم آلي

شكل(١-١١): الإشارات التي تؤثر على المحکومة

-٣ عنصر الحس ومحول الإشارة:

للكي تتم مقارنة القيمة الفعلية لمتغير التحكم بالقيمة المطلوبة فإنه يلزم قياسها بواسطة جهاز قياس مناسب يحتوي على عنصر حس Sensor. يتأثر تأثيراً ملحوظاً بتغير القيمة الفعلية لمتغير التحكم. وكثير من الأحوال يحتاج المصمم إلى أن يغير نوع الإشارة الخارجة من عنصر الحس إلى نوع آخر (مثلاً تحويل الإشارات الميكانيكية إلى كهربائية... الخ) يتناسب مع طبيعة مكونات المنظومة ولذلك يستخدم ما يسمى بمحول الإشارة Transducer وهو عنصر يتوقف تشكويته على نوع الإشارة الدالة والخارجة منه.

٣-٣ المنظم Controller:

هو جهاز يعمل بقانون معين يسمى قانون التحكم Control law وهذا القانون يحدد العلاقة التي تربط إشارة الخطا (ε) Error signal بإشارة التحكم Control action(μ) باشارة التحكم. ويعتبر المنظم من أهم مكونات المنظومة التحكم ويحتاج في تصميمه وضبطه إلى عناية فائقة ودراسة دقيقة. ويتمثل المنظم في كثير من الأحيان على مقارن Comparator يقوم بمقارنة القيمة الفعلية لمتغير التحكم بالقيمة المطلوبة التي تغذى المنظم عن طريق جهاز ضبط الإشارة Set point device.

٤-٣ عنصر التحكم النهائي Final Control Element:

وهو محرك (كهربائي - هيدروليكي - هوائي.... الخ) ذو قدرة عالية ومسؤول عن تنفيذ إشارة التحكم والتأثير بها على المحكومة بغير ضبط وتسريح قيمة متغير التحكم.

٥ المنظومة المفتوحة والمغلقة:
المنظومة المفتوحة هي المنظومة التي لا تتوقف إشارة التحكم فيها على القيمة الفعلية لمتغير التحكم المنشورة في المنظومة المغلقة فإن إشارة التحكم (μ) تتوقف بكيفية أو بأخرى على القيمة الفعلية لمتغير التحكم.

٦ التقنية المرتدة:

إن فكرة التقنية المرتدة تعتبر الأساس الأول في تصميم منظومات التحكم الآلي. وهذه النظرية تقوم على أساس مقارنة القيمة الفعلية لمتغير التحكم بالقيمة المطلوبة ثم تحديد إشارة تحكم مناسبة تتوقف بكيفية أو بأخرى على قيمة إشارة الخطا (ε) Error signal الناتجة من عملية المقارنة السابقة. وإذا ألقينا نظرة على جميع المنظومات التي قدمناها سابقاً لوجدنا أن نظرية التقنية المرتدة تمثل قاسماً مشتركاً أعظم بين جميع المنظومات الآلية حتى أنه لا يطلق على المنظومة اسم منظومة تحكم آلي إلا إذا تواجدت فيها فكرة التقنية المرتدة لمتغير التحكم.

٧ التقنية المرتدة السالية والموجبة:

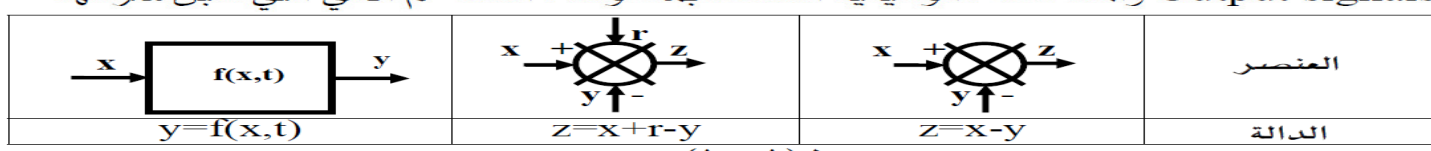
إذا نتج عن عملية المقارنة السابقة طرح قيمة متغير التحكم من القيمة المطلوبة فإن التقنية المرتدة في هذه الحالة تسمى تقنية مرтدة سالية وإذا كانت الإشارة الخارجية من المقارن تمثل مجموع القيمتين ضيقاً إن التقنية المرتدة موجبة. وجميع منظومات التحكم الآلي تعمل بنظرية التقنية المرتدة السالية أي أن المنظومة تعمل على أساس إشارة الخطا (ε) Error signal.

٨ المسار الأمامي ومسار التقنية المرتدة في المنظومة:
المسار الأمامي في المنظومة هو المسار الذي يبدأ من إشارة الخطا إلى أن يصل إلى متغير التحكم، أما مسار التقنية المرتدة فهو المسار العكسي وينتهي من إشارة متغير التحكم إلى مدخل المقارن.

٩ المنظومة الآلية الموازنة Servomechanism:
هذا نوع من المنظومات يترجم أحياناً بأنه منظومة تحكم آلي وهذا صحيح إلا أنه منظومة تتميز عن المنظومات الأخرى بأن متغير التحكم فيها هو كمية ميكانيكية أو تفاصيلها مثل وضع الجسم وسرعته وعجلته... الخ.

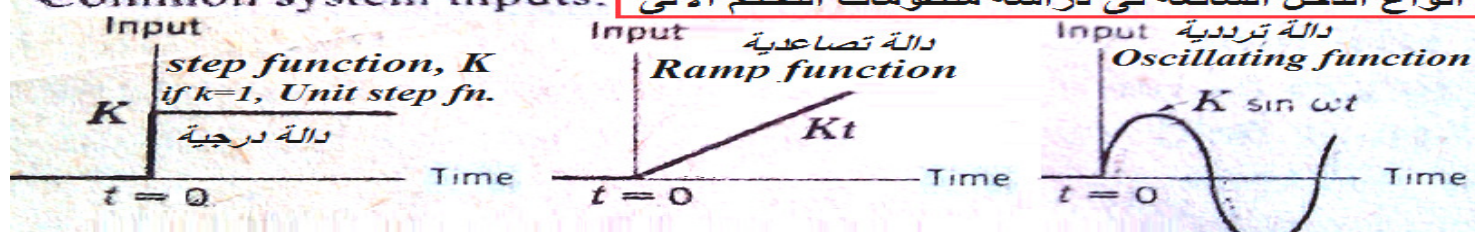
١٠ دالة الهدف Objective function:

لكل منظومة من منظومات التحكم الآلي يوجد هدف معين تعمل على تحقيقه، وعادة يساغ الهدف الذي يجب أن تتحققه المنظومة في صورة دالة رياضية تسمى دالة الهدف Objective function، وبالطبع يتوقف تصميم المنظومة ومكوناتها على نوع وطبيعة دالة الهدف الموضوعة لها. فمثلاً يمكن أن تكون دالة الهدف هو الانتقال بالمحكومة Plant من حالة إلى حالة أخرى في أقل زمن ممكن وبأقل خطاً ممكناً... الخ. وعموماً فإنه توجد طرق متعددة لتمثيل مكونات وعناصر منظومات التحكم الآلي، فمثلاً يرمز للمقارن Comparator بالرمز المبين في الجدول (١-١)، وهو دائرة مقسمة إلى أربعة أقسام يكتب على كل منها العملية الرياضية التي يجب أن تجري على الإشارة الداخلية (إما طرح أو جمع). وتدخل إلى المقارن إشارة أو أكثر وتخرج منه إشارة واحدة تكون هي ناتج العمليات الرياضية التي يقوم بها المقارن على الإشارات الداخلة إليه، أما العناصر الأخرى في المنظومة فيمكن تمثيلها بواسطة مدخل مستقل تدخل إليه بعض الإشارات ممثلة بواسطة أسهم داخلة وتخرج منه إشارات أخرى ممثلة بأسمهم خارجة كما هو مبين في جدول (١-١) والإشارات التي تؤثر على أي عنصر تسمى بالإشارات الدالة Input signals، أما الإشارات الخارجية منه فتسمى بالإشارات الخارجية Output signals.



و كذلك المدخل الوظيفي المعتم المبين في شكل (١-١) يبين كيفية تمثيل العناصر والمكونات في المنظومة. وإذا اعتبرنا المنظومة في الشكل (١-٢) والتي تتكون من عنصرين G,H,G والمقارن فإن العنصر G يمثل المسار الأمامي للمنظومة، أما العنصر H فيمثل مسار التقنية المرتدة. وهذه المنظومة تمثل منظومة مغلقة، أما إذا تخيلنا أن مسار التقنية المرتدة قد قطع في نقطة ما فإن المنظومة تتحول من منظومة مفتوحة (أي منظومة تحكم آلي) إلى منظومة مفتوحة Open-loop system.

أنواع الدخل الشائع في دراسة منظومات التحكم الآلي:



خلاصة الباب الأول

- التحكم الآلي هو ذلك الاتجاه الحديث الذي يوحد اتجاه المتخفيين في المجالات المختلفة لاستحداث أسلوب تنكير مشترك بين المهندسين والبيولوجيين وعلماء النفس والمجتمع والرياضيات، فهو يمثل عصر تكامل العلوم.
- منظومة التحكم الآلي عبارة عن مجموعة من الأجهزة والمعدات التي ركبت على منشأة هندسية بطريقة معينة بحيث يمكن التحكم والسيطرة على بعض أو كل المتغيرات الهامة في هذه المنشأة. وهذه السيطرة تتم بطريقة محسوبة بحيث يتحقق الهدف الأساسي الذي سُمِّيَّتْ من أجله هذه المنظومة.
- كل منظومة تحكم آلي يمكن تمثيلها بواسطة مخطط وظيفي معتمد يصف النظرية الأساسية في عمل هذه المنظومة وهي نظرية التغذية المرتدة (Feedback).
- إن فكرة التغذية المرتدة تعتبر الأساس الأول في تصميم منظومات التحكم الآلي، وهذه النظرية تقوم على أساس مقارنة القيمة الفعلية بالقيمة المطلوبة ثم تحديد إشارة تحكم مناسبة تتوقف بيكينية أو بأخرى على قيمة إشارة الخطأ (Error signal) الناتجة من عملية المقارنة. إذن لا يطلق اسم منظومة تحكم آلي إلا إذا تواجد فيها فكرة التغذية المرتدة لمتغير التحكم.
- المصطلحات الفنية المستخدمة في مجال التحكم الآلي هي:

- المحكمة
- عنصر الحس ومحول الإشارة
- المنظم
- دالة الهدف

تمارين - ١

- ١- ما هي السمات المشتركة بين المنظومة الهندسية، والمنظومة البيولوجية، والمنظومة الكبيرة؟
- ٢- ما هي العمليات التي تتم في منظومات التحكم الآلي؟
- ٣- عرف منظومة التحكم الآلي؟
- ٤- ارسم مخطط الوظيفي المعتمد لمنظومات التحكم الآلي؟
- ٥- ما هي التغذية المرتدة؟

تمرين رقم ٢: أجب بنعم أو لا إذا كان الجواب لا يوجد الإجابة الصحيحة:

نعم ()	لا ()	نعم ()	لا ()	نعم ()	لا ()	نعم ()	لا ()	نعم ()	لا ()
١- الاشارات التي تؤثر على المحكمة هي: إشارة التحكم، عناصر تشويش خارجي ومتغيرات التحكم.	٢- المنظم جهاز يعمل بقانون معين وهذا القانون يحدد العلاقة التي تربط إشارة الخطأ بعناصر التشويش.	٣- عنوان التحكم النهائي هو محرك ذو قدرة عالية ومسؤول عن تنفيذ إشارة المتغير.	٤- المسار الأمامي في المنظومة هو المسار الذي يبدأ من إشارة الخطأ إلى أن يصل إلى متغير التحكم، أما المسار العكسي ويبدأ من إشارة متغير التحكم إلى مدخل المقارن.	٥- يساعي الهدف الذي يجب أن تتحققه المنظومة في سورة دالة رياضية تسمى دالة الهدف.					

تمرين رقم ٣: ضع علامة X على الإجابة الصحيحة:

- ١- يمكن أن تقع المحكمة متغير التحكم عن القيمة المطلوبة.
- ٢- أن يتخلص الفارق بين قيمة متغير التحكم والقيمة المرغوبة.
- ٣- أن فكرة التغذية المرتدة تعتبر الأساس الأول في تصميم منظومات التحكم الآلي وهذه النظرية تقوم على أساس:

 - أ- مقارنة إشارة الخطأ بالقيمة الفعلية لمتغير التحكم ثم تحديد إشارة تحكم مناسبة تتوقف بيكينية أو بأخرى على القيمة المرغوبة.
 - ب- مقارنة القيمة الفعلية لمتغير التحكم بالقيمة المطلوبة ثم تحديد إشارة تحكم مناسبة تتوقف بيكينية أو بأخرى على إشارة الخطأ.
 - ت- مقارنة القيمة المطلوبة بإشارة الخطأ ثم تحديد إشارة تحكم مناسبة تتوقف بيكينية أو بأخرى على قيمة متغير التحكم.
 - ث- المنظومة الآلية الموازنة هي منظومة تحكم آلي تتميز عن المنظومات الأخرى بأن متغير التحكم فيها هو:

 - أ- كمية كهربائية أو تناولها مثل فرق الجهد والتيار... الخ..
 - ب- كمية ميكانيكية أو تناولها مثل وضع الجسم وسرعته وعجلته... الخ.
 - ث- كمية هيدروليكية مثل درجة الحرارة، المتغير... الخ

حلول: تمارين - ١

تمرين رقم ١:

- ١- السمات المشتركة بين المنظومة الهندسية، والمنظومة البيولوجية، والمنظومة الكبيرة هي:
 - ❖ سريان المعلومات بين عناصر وتكوينات أي منظومة
 - ❖ العمليات التي تتم في هذه المنظومات هي: استقبال، تحويل وحفظ المعلومات ثم استخدام نتائج معالجة المعلومات في سورة تغذية مرتدة.
- ٢- العمليات التي تتم في منظومات التحكم الآلي هي:
 - ❖ استقبال المعلومات.
 - ❖ تحويل وحفظ هذه المعلومات ثم معالجتها.
 - ❖ استخدام نتائج معالجة المعلومات في شكل تغذية مرتدة حتى نتمكن من التحكم في المتغير.
- ٣- منظومة التحكم الآلي هي مجموعة عناصر تحافظ على نتيجة مرغوبة عن طريق معالجة قيمة متغير ثان في النظام.
- ٤- ارسم المخطط الوظيفي المعتمد لمنظومات التحكم الآلي: انظر المخطط صفحة .
- ٥- التغذية المرتدة تعتبر الأساس الأول في تصميم منظومات التحكم الآلي، وهي تقوم على أساس مقارنة القيمة الفعلية لمتغير التحكم بالقيمة المرغوبة ومن ثم تحديد إشارة التحكم المناسبة حسب قيمة الخطأ الناتج عن عملية المقارنة.

تمرين رقم ٢: أجب بنعم أو لا إذا كان الجواب لا يوجد الإجابة الصحيحة:

نعم ()	لا (X)	نعم ()	لا (X)	نعم ()	لا (X)	نعم ()	لا (X)	نعم ()	لا (X)
١- الاشارات التي تؤثر على المحكمة هي: إشارة التحكم، عناصر تشويش خارجي ومتغيرات التحكم.	٢- المنظم جهاز يعمل بقانون معين وهذا القانون يحدد العلاقة التي تربط إشارة الخطأ بعناصر التشويش.	٣- عنوان التحكم النهائي هو محرك ذو قدرة عالية ومسؤول عن تنفيذ إشارة المتغير.	٤- المسار الأمامي في المنظومة هو المسار الذي يبدأ من إشارة الخطأ إلى أن يصل إلى متغير التحكم، أما المسار العكسي ويبدأ من إشارة متغير التحكم إلى مدخل المقارن.	٥- يساعي الهدف الذي يجب أن تتحققه المنظومة في سورة دالة رياضية تسمى دالة الهدف.					

تمرين رقم ٣:**ضع علامة X على الإجابة الصحيحة:**

- ١- يمكن أن تقع المحكمة تحت تأثير تشويش خارجي وهذا يتسبب في:
أن تتحيد قيمة متغير التحكم من القيمة المطلوبة. (X)
- ب- أن يتقلص الفاصل بين قيمة متغير التحكم وقيمة المرغوبة.
- ت- أن تصبح قيمة متغير التحكم ثابتة.
- ٢- إن حركة التقنية المرتدة تعتبر الأساس الأول في تصميم منظومات التحكم الآلي وهذه النظرية تقوم على أساس:
 مقارنة إشارة الخطا بالقيمة النulleلية لمتغير التحكم ثم تحديد إشارة تحكم مناسبة تتوقف بيكينية أو بأخرى على القيمة المرغوبة.
- ب- **مقارنة القيمة النulleلية لمتغير التحكم بالقيمة المطلوبة ثم تحديد إشارة تحكم مناسبة تتوقف بيكينية أو بأخرى على قيمة متغير التحكم.** (X)
- ت- مقارنة القيمة المطلوبة بإشارة الخطا ثم تحديد إشارة تحكم مناسبة تتوقف بيكينية أو بأخرى على قيمة متغير التحكم.
- ٣- المنظومة الآلية الموازنة هي منظومة تحكم آلي تتميز عن المنظومات الأخرى بأن متغير التحكم فيها هو:
 كمية كهربائية أو تناولها مثل ضر الجهد والتيار...إلخ..
- ب- **كمية ميكانيكية أو تناولها مثل وضع الجسم وسرعته وعجلته...إلخ.** (X)
- ت- **كمية حرارية مثل درجة الحرارة، التفريغ...إلخ.**

Problems on Unit (1) - Questions on: Introduction to Controllers**1- Select True (✓) or False (x) for each statement:**

#	True	False	statement
1			Measuring devices & sensors are not essential elements for any control system of real physical variables.
2			Control systems are classified as continuous (i.e, analogue) or discrete systems (non-analogue)
3			In Continuous control: the values to be controlled do not change smoothly (no function exist bet. I & O)
4			In Logical/Boolean control systems: values to be controlled are not easily described as on-off/high-low.
5			PID controllers are classified as continuous (analogue) systems of the linear type.
6			Fuzzy Logic controllers are classified as continuous (analogue) non-linear systems
7			Discrete control systems include 2 types: conditional systems (logical & expert) and sequential systems.
8			Linear control system is not analogue type which is not described by simple/linear differential equation.
9			Non-Linear control systems are analogue types which are described with complex differential equation.
10			Sequential controller is discrete/logical system which will not keep track of time and previous events.
11			The PLC-Controllers are expert systems which are classified as discrete-conditional system types.
12			The Controllers which use counters or timers are not of the discrete-sequential system types.
13			Sequence Control is used to check that certain sequence of operations are done correctly.
14			In a modern controller system, a PC can not be used as a device for Input or Output signals.
15			Computer applications in Control Systems include both software & hardware applications.
16			In a modern controller system, a PC can handle both types of digital/analog signals.
17			In modern controller system, the PID controllers use digital Input/ Output signals through A/D boards.

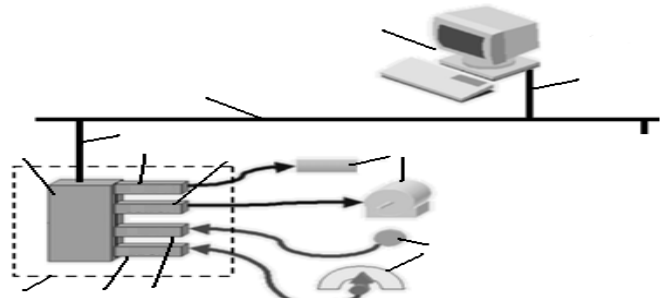
2- Using the motion-control of a real elevator, select the type of control system used for each motion/process:

#	The motion type	Logical control	Linear control	Non-linear control
1	The elevator must move towards a floor when/if a button is pushed			
2	The elevator must open a door when/if it is stopping at a floor			
3	The elevator must have the door closed before it starts to move.			
4	If desired position changes to new one, elevator accelerate quickly towards new position			
5	As the elevator approaches the correct position, it must slow down			
6	The elevator must accelerate slowly to start			
7	The elevator must decelerate as it approaches the final position			
8	The elevator must allow faster motion while moving bet. different floors			
9	Compensate for cable stretch, and changing spring constant			

3- In next fig., write correct name of each part. You may use the following words:

Controller Block, Network Bus, sensors elements, Main PC,

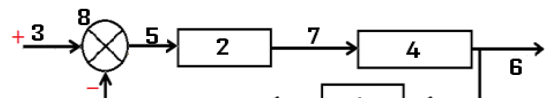
Controller CPU, input signals, controlled elements, output signals

4- For the figure of the above problem, describe five different types & examples of real physical controlled elements in a power plant.**5- For the figure of problem (3), describe five different types & examples of real physical sensors elements in a power plant.****6- For fig. of prob.(3), Explain five different functions of the Main PC in a modern control system with many separate controllers.****7- Referring to Next fig., Select True(✓) or False(x):**

#	statement	True	False
1	The main PC can not handle the failure of any of the separate controllers		
2	The main PC can handle the overload of the system		
3	The main PC can not manage and monitor all of the process parts		
4	The PC sends set points for all controllers & receives signals from them to monitor status of each one		
5	The PC can solve problem of system overload by re-distributing the loads on the various controllers		
6	The PC can not take advanced actions in the case of controller failure or emergency conditions.		
7	The main PC can store large amount of information about the process in database and also makes statistical calculations or charts which are useful for process enhancement.		

8- In next for a PID control system, select & write the correct # of each part.

#	part	#	part
	Error sensor		Actuating signal
	Controller (PID) type		Feed back signal
	Reference input signal (set point), r		Controlled variable (output)
	Controlled process (plant)		Error signal, e



9- Next fig. is forcontrol system type. It works as follows:

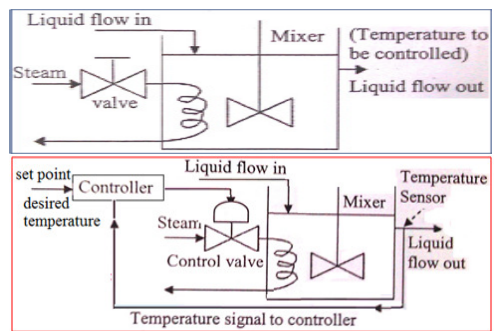
The advantages of open loop control systems are.....

The disadvantages of open loop control systems are:.....

10- Next fig. is forcontrol system type. It works as follows:

The advantages of closed loop control systems are:.....

The disadvantages of closed loop control systems are:.....



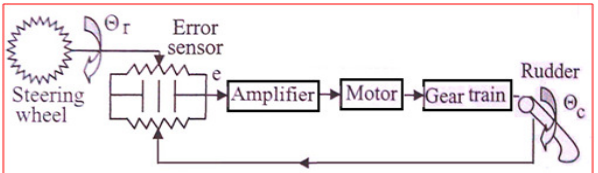
11- Next fig. is forcontrol system.

It is used for

It works as follows:

Variable $\theta_r(t)$ represents

Variable $\theta_c(t)$ represents

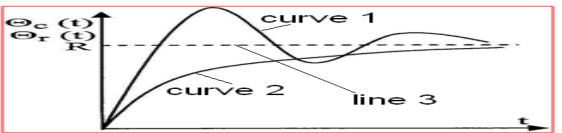


12- Next fig. is for

Curve (1) represents

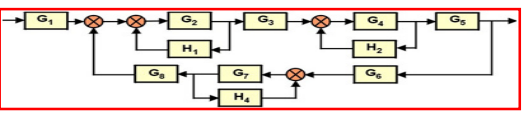
Curve (2) represents

Line (3) represents



13- Next fig. is for

Elements G_1, G_2, \dots, G_8 represent Elements H_1, H_2, \dots, H_8 represent



14- Next fig. is for

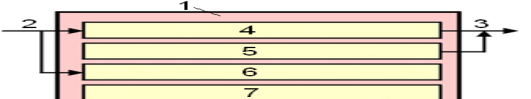
Discuss System controllability & observability w.r.t. segregated subsystems.

Part (1) represents Part (2) represents

Part (3) represents Part (4) represents

Part (5) represents Part (6) represents

Part (7) represents



15- Next fig. is forcontrol system type.

It is used for

It works as follows:

Sketch the Block diagram represents this system.....

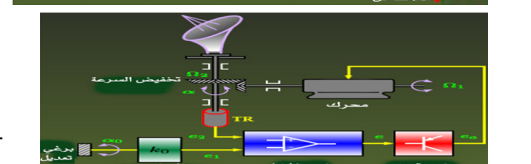


16- Next fig. is forcontrol system type.

It is used for

It works as follows:

Sketch the Block diagram represents this system.....

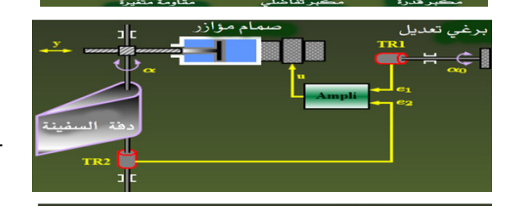


17- Next fig. is forcontrol system type.

It is used for

It works as follows:

Sketch the Block diagram represents this system.....

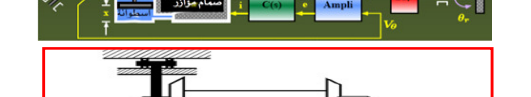


18- Next fig. is forcontrol system type.

It is used for

It works as follows:

Sketch the Block diagram represents this system.....

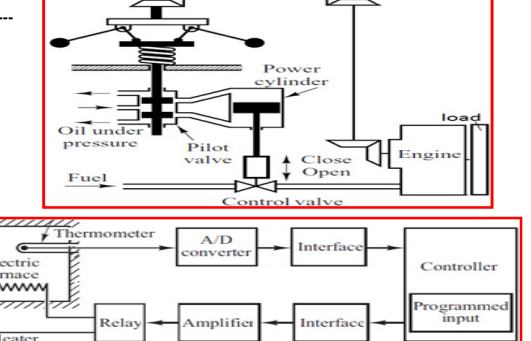


19- Next fig. is forcontrol system type.

It is used for

It works as follows:

Sketch the Block diagram represents this system.....



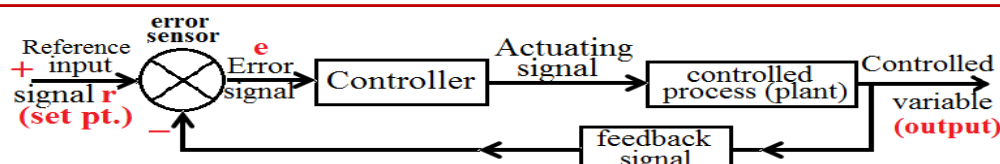
تعريفات وتطبيقات وأمثلة على اختصار المخطط الوظيفي

٢

Modern control theory is based on time-domain analysis of differential equation systems. Modern control theory made the design of control systems simpler because the theory is based on a model of an actual control system. However, the system's stability is sensitive to the error between the actual system and its model. This means that when the designed controller based on a model is applied to the actual system, the system may not be stable. To avoid this situation, we design the control system by first setting up the range of possible errors and then designing the controller in such a way that, if the error of the system stays within the assumed range, the designed control system will stay stable. The design method based on this principle is called robust control theory. This theory incorporates both the frequency-response approach and the time-domain approach. The theory is mathematically very complex.

Because this theory requires mathematical background at the graduate level, inclusion of robust control theory in this book is limited to introductory aspects only. The reader interested in details of robust control theory should take a graduate-level control course at an established college or university.

Definitions. Before we can discuss control systems, some basic terminologies must be defined.



Controlled Variable and Control Signal or Manipulated Variable. The *controlled variable* is the quantity or condition that is measured and controlled. The *control signal* or *manipulated variable* is the quantity or condition that is varied by the controller so as to affect the value of the controlled variable. Normally, the controlled variable is the output of the system. *Control* means measuring the value of the controlled variable of the system and applying the control signal to the system to correct or limit deviation of the measured value from a desired value.

In studying control engineering, we need to define additional terms that are necessary to describe control systems.

Plants. A plant may be a piece of equipment, perhaps just a set of machine parts functioning together, the purpose of which is to perform a particular operation. In this book, we shall call any physical object to be controlled (such as a mechanical device, a heating furnace, a chemical reactor, or a spacecraft) a plant.

Processes. The Merriam–Webster Dictionary defines a process to be a natural, progressively continuing operation or development marked by a series of gradual changes that succeed one another in a relatively fixed way and lead toward a particular result or end; or an artificial or voluntary, progressively continuing operation that consists of a series of controlled actions or movements systematically directed toward a particular result or end. In this book we shall call any operation to be controlled a *process*. Examples are chemical, economic, and biological processes.

Systems. A system is a combination of components that act together and perform a certain objective. A system need not be physical. The concept of the system can be applied to abstract, dynamic phenomena such as those encountered in economics. The word system should, therefore, be interpreted to imply physical, biological, economic, and the like, systems.

Disturbances. A disturbance is a signal that tends to adversely affect the value of the output of a system. If a disturbance is generated within the system, it is called *internal*, while an *external* disturbance is generated outside the system and is an input.

Feedback Control. Feedback control refers to an operation that, in the presence of disturbances, tends to reduce the difference between the output of a system and some reference input and does so on the basis of this difference. Here only unpredictable disturbances are so specified, since predictable or known disturbances can always be compensated for within the system.

1-2 EXAMPLES OF CONTROL SYSTEMS (without mathematical eqns.)

Speed Control System. The basic principle of a Watt's speed governor for an engine is illustrated in the schematic diagram of Figure 1-1. The amount of fuel admitted to the engine is adjusted according to the difference between the desired and the actual engine speeds.

The sequence of actions may be stated as follows: The speed governor is adjusted such that, at the desired speed, no pressured oil will flow into either side of the power cylinder. If the actual speed drops below the desired value due to disturbance, then the decrease in the centrifugal force of the speed governor causes the control valve to move downward, supplying more fuel, and the speed of the engine increases until the desired value is reached. On the other hand, if the speed of the engine increases above the desired value, then the increase in the centrifugal force of the governor causes the control valve to move upward. This decreases the supply of fuel, and the speed of the engine decreases until the desired value is reached.

In this speed control system, the plant (controlled system) is the engine and the controlled variable is the speed of the engine. The difference between the desired speed and the actual speed is the error signal. The control signal (the amount of fuel) to be applied to the plant (engine) is the actuating signal. The external input to disturb the controlled variable is the disturbance. An unexpected change in the load is a disturbance.

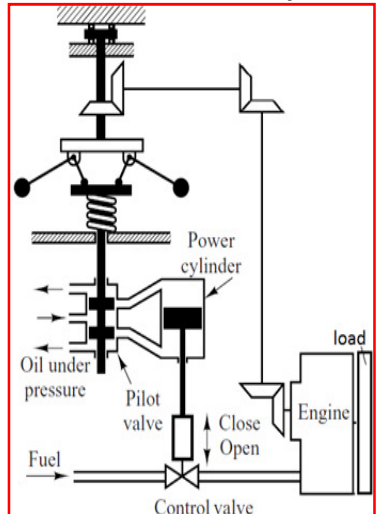
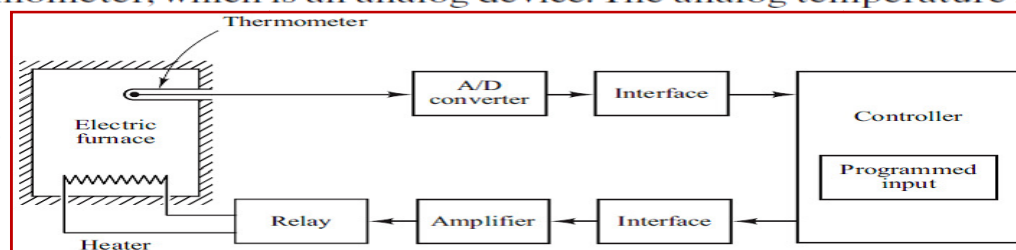


Figure 1-1
Speed control system.

Temperature Control System. Figure 1-2 shows a schematic diagram of temperature control of an electric furnace. The temperature in the electric furnace is measured by a thermometer, which is an analog device. The analog temperature is converted

Figure 1-2

Temperature control system.



to a digital temperature by an A/D converter. The digital temperature is fed to a controller through an interface. This digital temperature is compared with the programmed input temperature, and if there is any discrepancy (error), the controller sends out a signal to the heater, through an interface, amplifier, and relay, to bring the furnace temperature to a desired value.

Business Systems. A business system may consist of many groups. Each task assigned to a group will represent a dynamic element of the system. Feedback methods of reporting the accomplishments of each group must be established in such a system for proper operation. The cross-coupling between functional groups must be made a minimum in order to reduce undesirable delay times in the system. The smaller this cross-coupling, the smoother the flow of work signals and materials will be.

A business system is a closed-loop system. A good design will reduce the managerial control required. Note that disturbances in this system are the lack of personnel or materials, interruption of communication, human errors, and the like.

The establishment of a well-founded estimating system based on statistics is mandatory to proper management. It is a well-known fact that the performance of such a system can be improved by the use of lead time, or *anticipation*.

To apply control theory to improve the performance of such a system, we must represent the dynamic characteristic of the component groups of the system by a relatively simple set of equations.

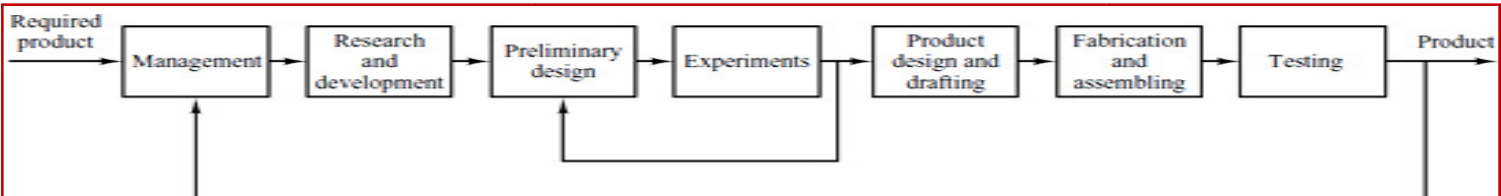


Figure 1-3

Block diagram of an engineering organizational system.

Although it is certainly a difficult problem to derive mathematical representations of the component groups, the application of optimization techniques to business systems significantly improves the performance of the business system.

Consider, as an example, an engineering organizational system that is composed of major groups such as management, research and development, preliminary design, experiments, product design and drafting, fabrication and assembling, and testing. These groups are interconnected to make up the whole operation.

Such a system may be analyzed by reducing it to the most elementary set of components necessary that can provide the analytical detail required and by representing the dynamic characteristics of each component by a set of simple equations. (The dynamic performance of such a system may be determined from the relation between progressive accomplishment and time.)

A functional block diagram may be drawn by using blocks to represent the functional activities and interconnecting signal lines to represent the information or product output of the system operation. Figure 1–3 is a possible block diagram for this system.

1-3 CLOSED-LOOP CONTROL VERSUS OPEN-LOOP CONTROL

Feedback Control Systems. A system that maintains a prescribed relationship between the output and the reference input by comparing them and using the difference as a means of control is called a *feedback control system*. An example would be a room-temperature control system. By measuring the actual room temperature and comparing it with the reference temperature (desired temperature), the thermostat turns the heating or cooling equipment on or off in such a way as to ensure that the room temperature remains at a comfortable level regardless of outside conditions.

Feedback control systems are not limited to engineering but can be found in various nonengineering fields as well. The human body, for instance, is a highly advanced feedback control system. Both body temperature and blood pressure are kept constant by means of physiological feedback. In fact, feedback performs a vital function: It makes the human body relatively insensitive to external disturbances, thus enabling it to function properly in a changing environment.

Closed-Loop Control Systems. Feedback control systems are often referred to as *closed-loop control* systems. In practice, the terms feedback control and closed-loop control are used interchangeably. In a closed-loop control system the actuating error signal, which is the difference between the input signal and the feedback signal (which may be the output signal itself or a function of the output signal and its derivatives and/or integrals), is fed to the controller so as to reduce the error and bring the output of the system to a desired value. The term closed-loop control always implies the use of feedback control action in order to reduce system error.

Open-Loop Control Systems. Those systems in which the output has no effect on the control action are called *open-loop control systems*. In other words, in an open-loop control system the output is neither measured nor fed back for comparison with the input. One practical example is a washing machine. Soaking, washing, and rinsing in the washer operate on a time basis. The machine does not measure the output signal, that is, the cleanliness of the clothes.

In any open-loop control system the output is not compared with the reference input. Thus, to each reference input there corresponds a fixed operating condition; as a result, the accuracy of the system depends on calibration. In the presence of disturbances, an open-loop control system will not perform the desired task. Open-loop control can be used, in practice, only if the relationship between the input and output is known and if there are neither internal nor external disturbances. Clearly, such systems are not feedback control systems. Note that any control system that operates on a time basis is open loop. For instance, traffic control by means of signals operated on a time basis is another example of open-loop control.

Closed-Loop versus Open-Loop Control Systems. An advantage of the closed-loop control system is the fact that the use of feedback makes the system response relatively insensitive to external disturbances and internal variations in system parameters. It is thus possible to use relatively inaccurate and inexpensive components to obtain the accurate control of a given plant, whereas doing so is impossible in the open-loop case.

From the point of view of stability, the open-loop control system is easier to build because system stability is not a major problem. On the other hand, stability is a major problem in the closed-loop control system, which may tend to overcorrect errors and thereby can cause oscillations of constant or changing amplitude.

It should be emphasized that for systems in which the inputs are known ahead of time and in which there are no disturbances it is advisable to use open-loop control. Closed-loop control systems have advantages only when unpredictable disturbances and/or unpredictable variations in system components are present. Note that the output power rating partially determines the cost, weight, and size of a control system. The number of components used in a closed-loop control system is more than that for a corresponding open-loop control system. Thus, the closed-loop control system is generally higher in cost and power. To decrease the required power of a system, open-loop control may be used where applicable. A proper combination of open-loop and closed-loop controls is usually less expensive and will give satisfactory overall system performance.

Most analyses and designs of control systems presented in this book are concerned with closed-loop control systems. Under certain circumstances (such as where no disturbances exist or the output is hard to measure) open-loop control systems may be desired. Therefore, it is worthwhile to summarize the advantages and disadvantages of using open-loop control systems.

The major advantages of open-loop control systems are as follows:

1. Simple construction and ease of maintenance.
2. Less expensive than a corresponding closed-loop system.
3. There is no stability problem.
4. Convenient when output is hard to measure or measuring the output precisely is economically not feasible. (For example, in the washer system, it would be quite expensive to provide a device to measure the quality of the washer's output, cleanliness of the clothes.)

The major disadvantages of open-loop control systems are as follows:

1. Disturbances and changes in calibration cause errors, and the output may be different from what is desired.
2. To maintain the required quality in the output, recalibration is necessary from time to time.

1-4 DESIGN AND COMPENSATION OF CONTROL SYSTEMS

In the actual design of a control system, whether to use an electronic, pneumatic, or hydraulic compensator is a matter that must be decided partially based on the nature of the controlled plant. For example, if the controlled plant involves flammable fluid, then we have to choose pneumatic components (both a compensator and an actuator) to avoid the possibility of sparks. If, however, no fire hazard exists, then electronic compensators are most commonly used. (In fact, we often transform nonelectrical signals into electrical signals because of the simplicity of transmission, increased accuracy, increased reliability, ease of compensation, and the like.)

Performance Specifications. Control systems are designed to perform specific tasks. The requirements imposed on the control system are usually spelled out as performance specifications. The specifications may be given in terms of transient response requirements (such as the maximum overshoot and settling time in step response) and of steady-state requirements (such as steady-state error in following ramp input) or may be given in frequency-response terms. The specifications of a control system must be given before the design process begins.

For routine design problems, the performance specifications (which relate to accuracy, relative stability, and speed of response) may be given in terms of precise numerical values. In other cases they may be given partially in terms of precise numerical values and partially in terms of qualitative statements. In the latter case the specifications may have to be modified during the course of design, since the given specifications may never be satisfied (because of conflicting requirements) or may lead to a very expensive system.

Generally, the performance specifications should not be more stringent than necessary to perform the given task. If the accuracy at steady-state operation is of prime importance in a given control system, then we should not require unnecessarily rigid performance specifications on the transient response, since such specifications will require expensive components. Remember that the most important part of control system design is to state the performance specifications precisely so that they will yield an optimal control system for the given purpose.

System Compensation. Setting the gain is the first step in adjusting the system for satisfactory performance. In many practical cases, however, the adjustment of the gain alone may not provide sufficient alteration of the system behavior to meet the given specifications. As is frequently the case, increasing the gain value will improve the steady-state behavior but will result in poor stability or even instability. It is then necessary to redesign the system (by modifying the structure or by incorporating additional devices or components) to alter the overall behavior so that the system will behave as desired. Such a redesign or addition of a suitable device is called *compensation*. A device inserted into the system for the purpose of satisfying the specifications is called a *compensator*. The compensator compensates for deficient performance of the original system.

Design Procedures. In the process of designing a control system, we set up a mathematical model of the control system and adjust the parameters of a compensator. The most time-consuming part of the work is the checking of the system performance by analysis with each adjustment of the parameters. The designer should use MATLAB or other available computer package to avoid much of the numerical drudgery necessary for this checking.

Once a satisfactory mathematical model has been obtained, the designer must construct a prototype and test the open-loop system. If absolute stability of the closed loop is assured, the designer closes the loop and tests the performance of the resulting closed-loop system. Because of the neglected loading effects among the components, nonlinearities, distributed parameters, and so on, which were not taken into consideration in the original design work, the actual performance of the prototype system will probably differ from the theoretical predictions. Thus the first design may not satisfy all the requirements on performance. The designer must adjust system parameters and make changes in the prototype until the system meets the specifications. In doing this, he or she must analyze each trial, and the results of the analysis must be incorporated into the next trial. The designer must see that the final system meets the performance specifications and, at the same time, is reliable and economical.

EXAMPLE PROBLEMS AND SOLUTIONS

A-2-1.

Simplify the block diagram shown in Figure 2-17.

Solution. First, move the branch point of the path involving H_1 outside the loop involving H_2 , as shown in Figure 2-18(a). Then eliminating two loops results in Figure 2-18(b). Combining two blocks into one gives Figure 2-18(c).

A-2-2. Simplify the block diagram shown in Figure 2-19. Obtain the transfer function relating $C(s)$ and $R(s)$.

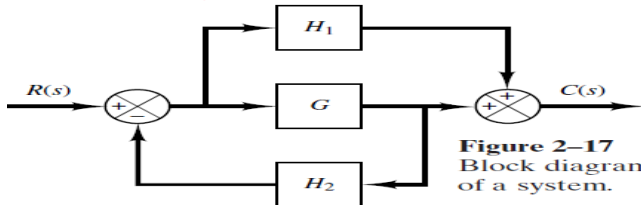


Figure 2-18
Simplified block diagrams for the system shown in Figure 2-17.

$$(b) \quad R(s) \xrightarrow{\frac{G}{1+GH_2}} 1 + \frac{H_1}{G} \xrightarrow{C(s)}$$

$$(c) \quad R(s) \xrightarrow{\frac{G+H_1}{1+GH_2}} C(s)$$

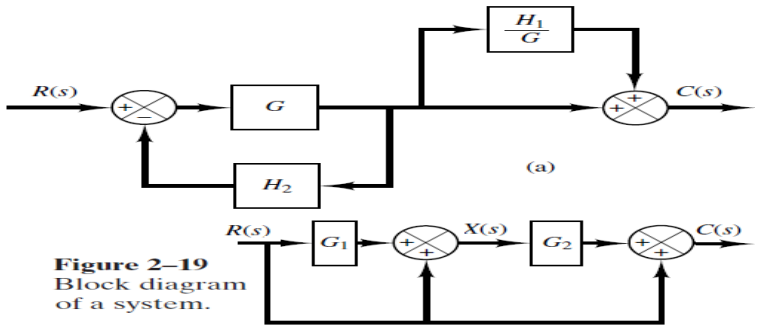


Figure 2-19
Block diagram of a system.

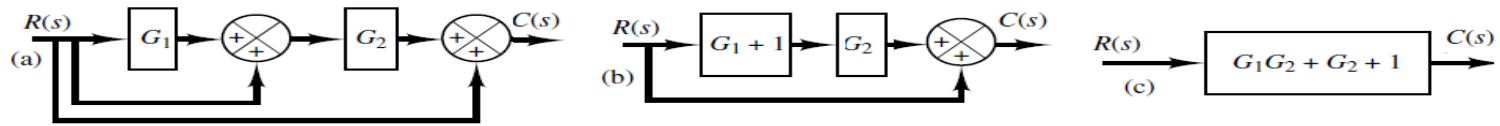


Figure 2-20 Reduction of the block diagram shown in Figure 2-19.

Solution. The block diagram of Figure 2-19 can be modified to that shown in Figure 2-20(a). Eliminating the minor feedforward path, we obtain Figure 2-20(b), which can be simplified to Figure 2-20(c). The transfer function $C(s)/R(s)$ is thus given by

$$\frac{C(s)}{R(s)} = G_1 G_2 + G_2 + 1$$

The same result can also be obtained by proceeding as follows: Since signal $X(s)$ is the sum of two signals $G_1 R(s)$ and $R(s)$, we have

$$X(s) = G_1 R(s) + R(s)$$

The output signal $C(s)$ is the sum of $G_2 X(s)$ and $R(s)$. Hence

$$C(s) = G_2 X(s) + R(s) = G_2 [G_1 R(s) + R(s)] + R(s)$$

And so we have the same result as before:

$$\frac{C(s)}{R(s)} = G_1 G_2 + G_2 + 1$$

A-2-3. Simplify the block diagram shown in Figure 2-21. Then obtain the closed-loop transfer function $C(s)/R(s)$.

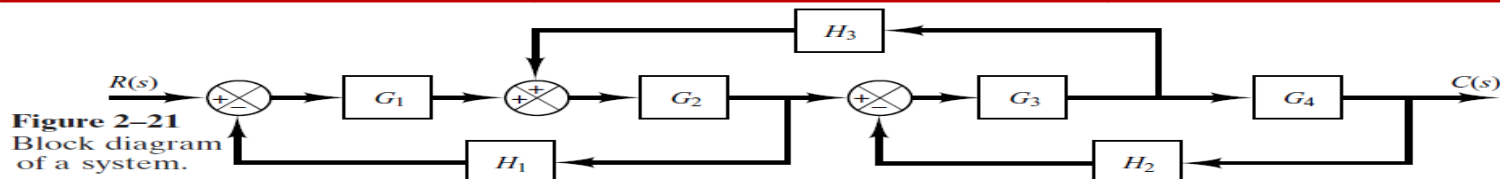


Figure 2-21
Block diagram of a system.

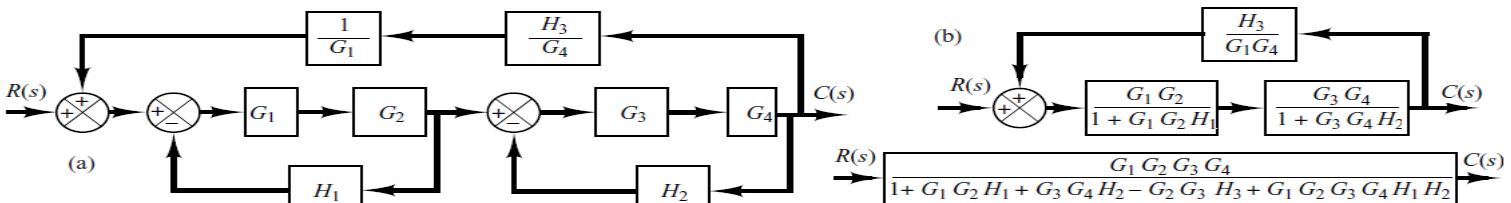


Figure 2-22 Successive reductions of the block diagram shown in Figure 2-21.

(c)

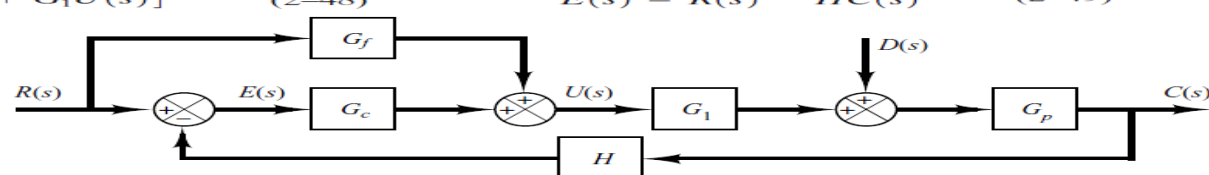
Solution. First move the branch point between G_3 and G_4 to the right-hand side of the loop containing G_3 , G_4 , and H_2 . Then move the summing point between G_1 and G_2 to the left-hand side of the first summing point. See Figure 2-22(a). By simplifying each loop, the block diagram can be modified as shown in Figure 2-22(b). Further simplification results in Figure 2-22(c), from which the closed-loop transfer function $C(s)/R(s)$ is obtained as

$$\frac{C(s)}{R(s)} = \frac{G_1 G_2 G_3 G_4}{1 + G_1 G_2 H_1 + G_3 G_4 H_2 - G_2 G_3 H_3 + G_1 G_2 G_3 G_4 H_1 H_2}$$

A-2-4. Obtain transfer functions $C(s)/R(s)$ and $C(s)/D(s)$ of the system shown in Figure 2-23.

Solution. From Figure 2-23 we have $U(s) = G_f R(s) + G_c E(s)$ (2-47)
 $C(s) = G_p [D(s) + G_1 U(s)]$ (2-48) $E(s) = R(s) - H C(s)$ (2-49)

Figure 2-23
Control system with reference input and disturbance input.



By substituting Equation (2-47) into Equation (2-48), we get

$$C(s) = G_p D(s) + G_1 G_p [G_f R(s) + G_c E(s)] \quad (2-50)$$

By substituting Equation (2-49) into Equation (2-50), we obtain

$$C(s) = G_p D(s) + G_1 G_p \{G_f R(s) + G_c [R(s) - H C(s)]\}$$

Solving this last equation for $C(s)$, we get

$$C(s) + G_1 G_p G_c H C(s) = G_p D(s) + G_1 G_p (G_f + G_c) R(s)$$

Hence

$$C(s) = \frac{G_p D(s) + G_1 G_p (G_f + G_c) R(s)}{1 + G_1 G_p G_c H} \quad (2-51)$$

Note that Equation (2-51) gives the response $C(s)$ when both reference input $R(s)$ and disturbance input $D(s)$ are present.

To find transfer function $C(s)/R(s)$, we let $D(s) = 0$ in Equation (2-51). Then we obtain

$$\frac{C(s)}{R(s)} = \frac{G_1 G_p (G_f + G_c)}{1 + G_1 G_p G_c H}$$

Similarly, to obtain transfer function $C(s)/D(s)$, we let $R(s) = 0$ in Equation (2-51). Then $C(s)/D(s)$ can be given by

$$\frac{C(s)}{D(s)} = \frac{G_p}{1 + G_1 G_p G_c H}$$

A-2-5. Figure 2-24 shows a system with two inputs and two outputs. Derive $C_1(s)/R_1(s)$, $C_1(s)/R_2(s)$, $C_2(s)/R_1(s)$, and $C_2(s)/R_2(s)$. (In deriving outputs for $R_1(s)$, assume that $R_2(s)$ is zero, and vice versa.)

Solution. From the figure,

$$we \text{ obtain } C_1 = G_1(R_1 - G_3 C_2) \quad (2-52)$$

$$C_2 = G_4(R_2 - G_2 C_1) \quad (2-53)$$

By substituting Equation (2-53) into Equation (2-52), we obtain

$$C_1 = G_1[R_1 - G_3 G_4(R_2 - G_2 C_1)] \quad (2-54)$$

By substituting Equation (2-52) into Equation (2-53), we get

$$C_2 = G_4[R_2 - G_2 G_1(R_1 - G_3 C_2)] \quad (2-55)$$

Solving Equation (2-54) for C_1 , we obtain

$$C_1 = \frac{G_1 R_1 - G_1 G_3 G_4 R_2}{1 - G_1 G_2 G_3 G_4} \quad (2-56)$$

Solving Equation (2-55) for C_2 gives

$$C_2 = \frac{-G_1 G_2 G_4 R_1 + G_4 R_2}{1 - G_1 G_2 G_3 G_4} \quad (2-57)$$

Equations (2-56) and (2-57) can be combined in the form of the transfer matrix as follows:

$$\begin{bmatrix} C_1 \\ C_2 \end{bmatrix} = \begin{bmatrix} \frac{G_1}{1 - G_1 G_2 G_3 G_4} & -\frac{G_1 G_3 G_4}{1 - G_1 G_2 G_3 G_4} \\ -\frac{G_4}{1 - G_1 G_2 G_3 G_4} & \frac{1}{1 - G_1 G_2 G_3 G_4} \end{bmatrix} \begin{bmatrix} R_1 \\ R_2 \end{bmatrix}$$

Then the transfer functions $C_1(s)/R_1(s)$, $C_1(s)/R_2(s)$, $C_2(s)/R_1(s)$ and $C_2(s)/R_2(s)$ can be obtained as follows:

$$\begin{aligned} \frac{C_1(s)}{R_1(s)} &= \frac{G_1}{1 - G_1 G_2 G_3 G_4}, & \frac{C_1(s)}{R_2(s)} &= -\frac{G_1 G_3 G_4}{1 - G_1 G_2 G_3 G_4} \\ \frac{C_2(s)}{R_1(s)} &= -\frac{G_1 G_2 G_4}{1 - G_1 G_2 G_3 G_4}, & \frac{C_2(s)}{R_2(s)} &= \frac{G_4}{1 - G_1 G_2 G_3 G_4} \end{aligned}$$

Note that Equations (2-56) and (2-57) give responses C_1 and C_2 , respectively, when both inputs R_1 and R_2 are present.

Notice that when $R_2(s) = 0$, the original block diagram can be simplified to those shown in Figures 2-25(a) and (b). Similarly, when $R_1(s) = 0$, the original block diagram can be simplified to those shown in Figures 2-25(c) and (d). From these simplified block diagrams we can also obtain $C_1(s)/R_1(s)$, $C_2(s)/R_1(s)$, $C_1(s)/R_2(s)$, and $C_2(s)/R_2(s)$, as shown to the right of each corresponding block diagram.

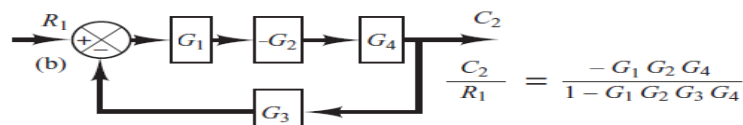
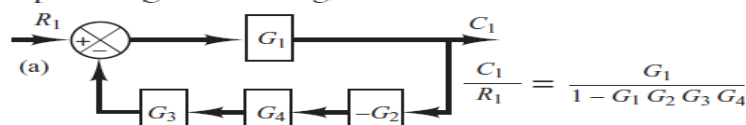
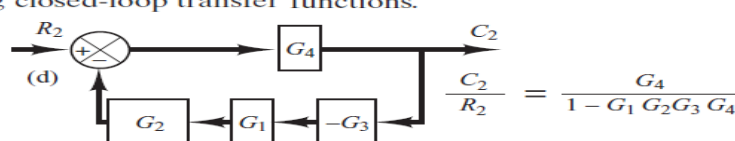
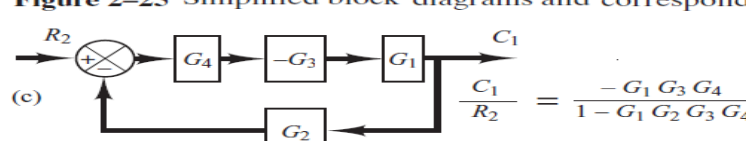
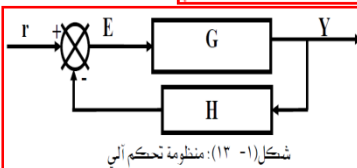


Figure 2-25 Simplified block diagrams and corresponding closed-loop transfer functions.



تحويل لا بلاس ودالة التحويل

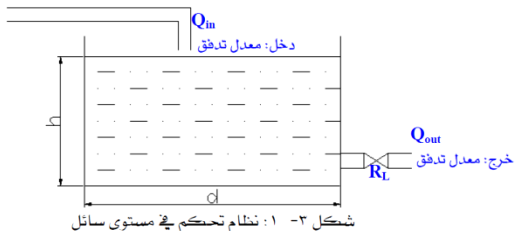
الوحدة
الثالثة



- الأهداف: يكتمل الوحدة الثالثة يكون المتدرب قادراً على:
 - أن يفهم المعادلة الرياضية التي تصف العلاقة بين دخل وخرج بعض عناصر التحكم.
 - تحويل لا بلاس لإيجاد: - تحويل لا بلاس لدالة زمرة. - تحويل لا بلاس لعنصر.
 - تحويل لا بلاس العكسي. - أن يستعمل نظرية القيمة النهائية لإيجاد القيمة النهائية لدالة معينة.
 - إيجاد دالة التحويل لنظام معين انتلاقاً من المعادلة التفاضلية.

في هذا الباب سوف نتطرق إلى بعض الوسائل الهمة التي تساعدنا على فهم، تحليل وتصميم أنظمة التحكم الآلي. الوسيلة الأولى هي تحويل لا بلاس الذي يمكننا من التحول من معادلة تفاضلية Differential equation إلى معادلة جبرية سهلة الاستخدام. الوسيلة الثانية دالة التحويل التي تمثل العلاقة بين دخل وخرج العنصر في شكل معادلة جبرية وذلك باستخدام تحويل لا بلاس.

- العلاقة بين الدخل والخرج: كيفية استنتاج المعادلات الحاكمة لأى نظام لكي نتعرف على العلاقة بين دخل وخرج أي عنصر سوف نقوم بتطوير بعض المعادلات الرياضية التي تصف العلاقة بين دخل وخرج بعض عناصر التحكم الآلي وهي:
- التحكم في مستوى سائل. - دائرة كهربائية RC.



- ١- التحكم في مستوى سائل:

لنعتبر نظام التحكم في مستوى سائل المبين في الشكل التالي:

مستوى السائل يبقى ثابتاً إذا كان معدل تدفق الدخول يساوى معدل تدفق الخرج ($Q_{in} = Q_{out}$). إذا كان معدل تدفق الدخول أكبر من معدل تدفق الخرج ($Q_{in} > Q_{out}$) فإن مستوى السائل يزداد إذا كان معدل تدفق الدخول أقل من معدل تدفق الخرج ($Q_{in} < Q_{out}$). فإن مستوى السائل ينقص.

خلال جزء من الزمن Δt فإن كمية السائل في الخزان تتغير بقيمة ΔV وهي: $\Delta V = (q_m - q_{out})_{avg} \cdot \Delta t$

تغير مستوى السائل في الخزان (Δh) هو: $\Delta h = \frac{\Delta V}{A} = \frac{(q_m - q_{out})_{avg} \cdot \Delta t}{A}$ ، ووحدته المتر (m)

معدل تغير مستوى السائل في الخزان يساوى تغير المستوى (Δh) تقسيم جزء من الزمن Δt . مثلاً إذا كان قيمة تغير المستوى 0.26m خلال 100sec $0.26\text{m/sec} = 0.26/100 = 0.0026\text{m/sec}$.

معدل تغير المستوى هو: $\frac{\Delta h}{\Delta t} = \frac{(q_m - q_{out})_{avg}}{A}$ ، ووحدته المتر في الثانية (m/sec)

عندما نعتبر أن Δt آلي إلى ما يقارب سعر ثانية (dt) نجد المعادلة التفاضلية التالية:

$\frac{dh}{dt} = \frac{(q_m - q_{out})}{A} \leftarrow \frac{\Delta h}{\Delta t} \leftarrow \text{معدل التغير اللحظي}$

إذا كان الدخل هو q_m بينما الخرج هو ارتفاع السائل h يمكن وضع المعادلة السابقة على الشكل القياسي التالي:

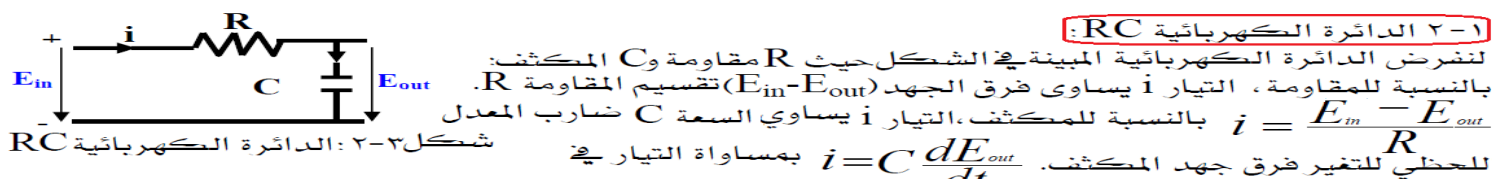
إذا كان التدفق خارج الخزان رقائقي فإن معدل تدفق الخرج يمكن كتابة: $q_{out} = \frac{\rho g h}{R_L}$

حيث: q_{out} = معدل تدفق السائل بـ m^3/sec ، ρ = كثافة السائل بـ kg/m^3 ، g = تسارع الجاذبية m/sec^2 ، R_L = مقاومة التدفق الرقائقي بـ Pa.sec/m^3

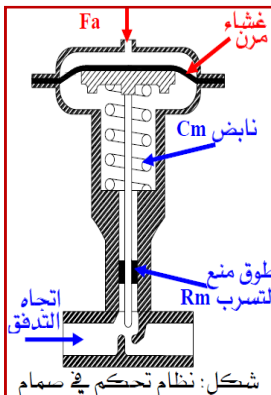
وبذلك يصبح معدل التغير اللحظي $\frac{dh}{dt} = \frac{1}{A} \left| q_m - \frac{\rho g h}{R_L} \right|$ أو: $\tau \frac{dh}{dt} + h = G q_m$

وبذلك نحصل على المعادلة التفاضلية $\tau \frac{dh}{dt} + h = G q_m$

حيث: $\tau = \frac{R_L A}{\rho g}$ وتسىء ثابت الزمن time constant بالثانية sec ، $G = \frac{R_L}{\rho g}$ وتسىء حسب الصيغة



المقاومة والمشبك نجد: $\tau = R C$ حيث τ وهو ثابت الزمن بالثانية.



نظام تحكم في سام المبين في الشكل التالي حيث إشارة دخل ضغط الهواء تدخل إلى الغشاء عبر النافعة الموجودة في أعلى السام. ضغط الهواء ينتج قوة F_a على الغشاء تساوى ضغط الدخل P_{in} ضارب مساحة الغشاء A : $F_a = P_{in} \cdot A$

هذه القوة معاكسنة لثلاثة قوى وهي: القوة الحرارية للبكرة المتحركة F_I ، القوة المقاومة لطلق منع التسرب F_R وقوة التابض F_C

$$F_r = R_m \frac{dx}{dt} \quad F_i = m \frac{d^2x}{dt^2} \quad F_r = \frac{x}{C_m} \quad \text{القوى المقاومة: } F_r = R_m \frac{dx}{dt} + m \frac{d^2x}{dt^2} + F_C \quad (3)$$

المعادلة (3) هي معادلة تفاضلية درجة ثانية بين المعادلتين (1) و (2) تسمى معادلة تفاضلية درجة أولى.

المعادلة التفاضلية هي معادلة لها تناقض أو أكثر لمتغيرات مستقلة مثلاً في المعادلة (1) نجد dh/dt وفي المعادلة (2) نجد dE_{out}/dt وفي المعادلة (3) dx/dt

$$\tau = \frac{R_L A}{\rho g} = \frac{(5.62 \times 10^5 \text{ Pa.s})(1.85 \text{ m}^2)}{(880 \text{ kg/m}^3)(9.81 \text{ m/s}^2)} = 120 \text{ s}$$

$$G = \frac{R_L}{\rho g} = \frac{(5.62 \times 10^5 \text{ Pa.s/m}^3)}{(880 \text{ kg/m}^3)(9.81 \text{ m/s}^2)} = 65.1 \text{ s/m}^2$$

$$120 \frac{dh}{dt} + h = 65.1 q_m$$

مثال: نظام تحكم في مستوى سائل له المعطيات التالية:

$\tau = 120 \text{ s}$ ، $G = 65.1 \text{ s/m}^2$ ، $\rho = 880 \text{ kg/m}^3$ ، $A = 1.85 \text{ m}^2$ ، $R_L = 5.62 \times 10^5 \text{ Pa.sec/m}^3$

أوجد قيمة q_m وكتب المعادلة التفاضلية للنظام.

الحل:

-٢ تحويل لابلاس:

يستخدم تحويل لابلاس لوصف أنظمة التحكم بشكل ملائم، تسهيل تحليل وتصميم أنظمة التحكم.
تعريف: يعرف تحويل لابلاس لدالة $f(t)$ ذات متغير حقيقي $t \geq 0$ حيث s متغير مركب

$F(s) = \int_0^\infty f(t)e^{-st} dt$ حيث $t \geq 0$ كال التالي: $F(s) = \mathcal{L}[f(t)]$ تمثل هذا التحويل.

What is the variable S of $F(s)$?

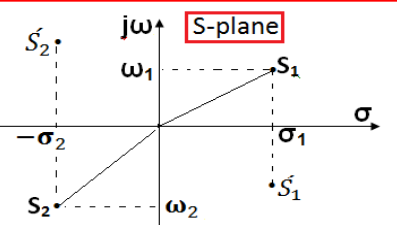
S is complex variable in S-plane

$$S = \sigma + j\omega; \text{ where } j = \sqrt{-1}$$

$$\text{If } S_1 = \sigma_1 + j\omega_1 \text{ & } S_2 = -\sigma_2 - j\omega_2$$

$$S_1 = \sigma_1 - j\omega_1; \text{ conjugate of } S_1$$

$$S_2 = -\sigma_2 + j\omega_2; \text{ conjugate of } S_2$$



مجال زمني
Time domain

معادلة تفاضلية
Differential equation

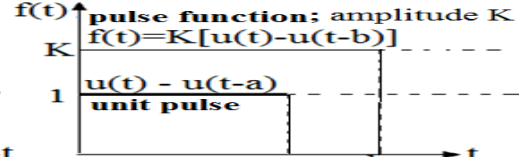
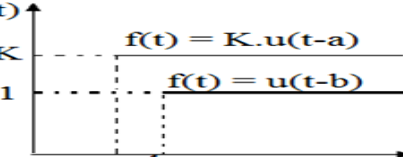
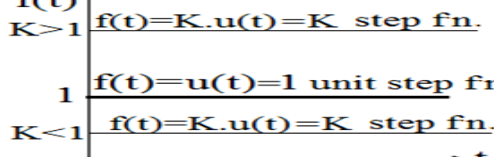
تحويل لابلاس

مجال تردد
Frequency domain

معادلة جبرية
Algebraic equation

تحويل لابلاس العكسي

Shapes of different step functions:



$$\mathcal{L}\{u(t)\} = 1/S, \quad \mathcal{L}\{K.u(t)\} = K/S$$

$$\mathcal{L}\{u(t-a)\} = e^{-as}/S, \quad \mathcal{L}\{K.u(t-a)\} = (K e^{-as})/S$$

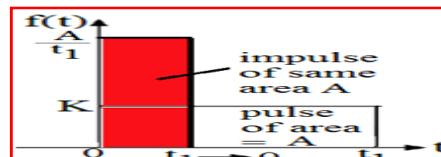
$$\mathcal{L}\{u(t) - u(t-a)\} = (1/S) - (e^{-as}/S)$$

$$\mathcal{L}\{K.u(t) - K.u(t-a)\} = K(1/S) - K(e^{-as}/S)$$

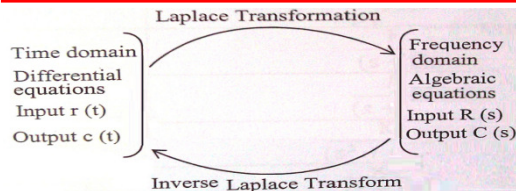
٢-٢ تحويل لابلاس للدالة: $f(t) = K$ حيث K هو ثابت موجب أو سالب

$$F(s) = \mathcal{L}[K] = \int_0^\infty f(t)e^{-st} dt = \int_0^\infty Ke^{-st} dt = K \left[\frac{e^{-st}}{-s} \right]_0^\infty = -\frac{K}{s}(e^{-\infty} - e^0) = -\frac{K}{s}(0 - 1) = \frac{K}{s}$$

أي ان تحويل لابلاس للدالة هو: $\mathcal{L}(K) = \frac{K}{S}$



Laplace of impulse function $f(t) = \frac{A}{t_1}$ & $t_1 \rightarrow 0$
 $F(s) = \lim_{t_1 \rightarrow 0} \left[\frac{A(1 - e^{-st_1})}{st_1} \right]$, indetermined value
by L'Hopital's rule; $F(s) = \lim_{t_1 \rightarrow 0} \left[\frac{Ase^{-st_1}}{s} \right] = A$
Laplace of unit impulse $f(t) = 1/t_1$ & $t_1 \rightarrow 0$ $\mathbf{F(s)=1}$



$$f(t) = \mathcal{L}^{-1}[F(s)]$$

٣-٢ تحويل لابلاس العكسي:

ويمكن تعريف تحويل لابلاس العكسي بالعلاقة العكسية بين $f(t)$ و $F(s)$ ونرمز إليه بـ:

$$\mathcal{L}^{-1}\left[\frac{K}{S}\right] = K$$

ورغم أنه بالإمكان استعمال التعريف لإيجاد تحويل لابلاس لأي دالة $f(t)$ لكن من الأحسن الاعتماد على الجدول اللاحق الذي يعطي تحويلاتأغلب الدوال التي سوف نستعملها.

٤ بعض خصائص تحويل لابلاس:

وفيما يلي بعض القواعد الجبرية الهامة التي تحكم تحويلات لابلاس:

$$1- \text{الخطية: } a.\mathcal{L}[f_1(t)] + b.\mathcal{L}[f_2(t)] = \mathcal{L}[af_1(t) + bf_2(t)] \text{ حيث } a, b \text{ ثابتان.}$$

$$2- \text{التناسق: } \mathcal{L}\left[\frac{df}{dt}\right] = s.\mathcal{L}[f(t)] - f(0) = s.F(s) - f(0)$$

$$3- \text{التفاضل الثاني: } \mathcal{L}\left[\frac{d^2f}{dt^2}\right] = s.\mathcal{L}[f(t)] - f(0) = s^2 F(s) - sf(0) - \frac{df(0)}{dt}$$

$$4- \text{التكامل: } \mathcal{L}\left[\int_0^t f(t)dt\right] = \frac{\mathcal{L}[f(t)]}{s} = \frac{F(s)}{s}$$

$$\lim_{s \rightarrow 0} s.F(s) = \lim_{t \rightarrow \infty} f(t)$$

$$\lim_{t \rightarrow \infty} f(t) = \lim_{s \rightarrow 0} SF(S) \text{ & } \lim_{t \rightarrow 0} f(t) = \lim_{s \rightarrow \infty} SF(S) \text{ where } f(t) \text{ is not a periodic function}$$

٥ جدول تحويل لابلاس لبعض الاشارات الأساسية:

$\mathcal{L}\{f(t)\}$	$f(t)$	اسم الاشارة	#
1	$\delta(t)$	الوحدة النسبية	١
$\frac{K}{s}$	K	الوحدة الدرجية (K ثابت)	٢
$\frac{K}{s^2}$	Kt	الوحدة التساعدية	٣
$\frac{K}{s+a}$	$K.e^{-at}$	الإشارة الأساسية بثابت $a > 0$	٤
$\frac{K}{\tau.s+1}$	$K.e^{-\frac{t}{\tau}}$	الإشارة الأساسية بثابت زمان $\tau > 0$	٥
$\frac{a}{s(s+a)}$	$1 - e^{-at}$	الاستجابة المدرجية للنظام ذي المترتبة الأولى بثابت $a > 0$	٦
$\frac{K}{s(\tau.s+1)}$	$K(1 - e^{-\frac{t}{\tau}})$	الاستجابة المدرجية للنظام ذي المترتبة الأولى بثابت زمان $\tau > 0$	٧
$\frac{K\omega}{s^2 + \omega^2}$	$K.\sin(\omega t)$	الإشارة الجيبية $\sin \omega t$. تردد ذاوي ω	٨
$\frac{Ks}{s^2 + \omega^2}$	$K.\cos(\omega t)$	الإشارة الجيبية $\cos \omega t$. تردد ذاوي ω	٩
$\frac{K\omega}{(s+a)^2 + \omega^2}$	$K.e^{-at}.\sin \omega t$	الاستجابة الأساسية الجيبية $\sin \omega t$	١٠
$\frac{K(s+a)}{(s+a)^2 + \omega^2}$	$K.e^{-at}.\cos \omega t$	الاستجابة الأساسية الجيبية $\cos \omega t$	١١
$\frac{K}{(s+a)^2}$	$K.t.e^{-at}$	الاستجابة الخطية الأساسية	١٢

Table of Laplace Transformations

<http://www.intmath.com/laplace-transformation/>
This is interactive mathematics where you learn math

Time Function $f(t)$	Laplace Transform $F(s) = \mathcal{L}\{f(t)\}$
$f(t) = \mathcal{L}^{-1}\{F(s)\}$	
1	$\frac{1}{s} \quad s > 0$
t (unit-ramp function)	$\frac{1}{s^2} \quad s > 0$
t^n (n , a positive integer)	$\frac{n!}{s^{n+1}} \quad s > 0$
e^{at}	$\frac{1}{s-a} \quad s > a$
$\sin \omega t$	$\frac{\omega}{s^2 + \omega^2} \quad s > 0$
$\cos \omega t$	$\frac{s}{s^2 + \omega^2} \quad s > 0$
$t^n g(t)$, for $n = 1, 2, \dots$	$(-1)^n \frac{d^n G(s)}{ds^n}$
$t \sin \omega t$	$\frac{2\omega s}{(s^2 + \omega^2)^2} \quad s > \omega $
$t \cos \omega t$	$\frac{s^2 - \omega^2}{(s^2 + \omega^2)^2} \quad s > \omega $
$g(at)$	$\frac{1}{a} G(\frac{s}{a})$ Scale property
$e^{at} g(t)$	$G(s-a)$ Shift property
$e^{at} t^n$, for $n = 1, 2, \dots$	$\frac{n!}{(s-a)^{n+1}} \quad s > a$

Time Function $f(t)$	Laplace Transform $F(s) = \mathcal{L}\{f(t)\}$
$t e^{-t}$	$\frac{1}{(s+1)^2} \quad s > -1$
$1 - e^{-t/T}$	$\frac{1}{s(1+Ts)} \quad s > -1/T$
$e^{at} \sin \omega t$	$\frac{\omega}{(s-a)^2 + \omega^2} \quad s > a$
$e^{at} \cos \omega t$	$\frac{s-a}{(s-a)^2 + \omega^2} \quad s > a$
$u(t)$	$\frac{1}{s} \quad s > 0$
$u(t-a)$	$\frac{e^{-as}}{s} \quad s > 0$
$u(t-a)g(t-a)$	$e^{-as}G(s)$ Time-displacement theorem
$g'(t)$	$sG(s) - g(0)$
$g''(t)$	$s^2 \cdot G(s) - s \cdot g(0) - g'(0)$
$g^{(n)}(t)$	$s^n \cdot G(s) - s^{n-1} \cdot g(0) - s^{n-2} \cdot g'(0) - \dots - g^{(n-1)}(0)$
$\int_0^t g(t)dt$	$\frac{G(s)}{s}$
$\int g(t)dt$	$\frac{G(s)}{s} + \frac{1}{s} \left\langle \int g(t)dt \right\rangle_{t=0}$

Notes on the Laplace Inverse Transformation:

الجدائل بها علاقات كثيرة لتحويل لاپلاس للدوال $F(s)$ والعكس، ويرغم ذلك توجّد معادلات مركبة خارج الجداول يلزم تبسيطها لشكل دوال في الجداول

Partial Fraction Expansion: Let function $F(s)$ for which inverse transform is desired often appears as ratio of 2-polynomials:

$$F(s) = \frac{N(s)}{D(s)} = \frac{a_1 s^i + a_{i-1} s^{i-1} + a_{i-2} s^{i-2} + \dots + a_1 s + a_0}{b_n s^n + b_{n-1} s^{n-1} + b_{n-2} s^{n-2} + \dots + b_1 s + b_0}; \quad \text{where } b_n = 1 \& n > i \quad (1)$$

where indices i and n are real positive integers, the a 's & b 's are constants and b_n is made equal unity ($b_n=1$). To obtain the inverse transform of this complicated function would be a difficult task. It is therefore desirable to manipulate equation (1) to a form that may be more readily handled. Specifically, it would be convenient to rearrange this ratio of 2-polynomials in groups of partial fractions each of which could be easily transformed by inspection in the Laplace tables. It is important that the highest power of s in the denominator of eqn. (1) be greater than the highest power of s in the numerator. (i.e., $n > i$).

If this is not the case, numerator may be divided by the denominator as many times as necessary to produce series of terms in s plus ratio of polynomials as remainder which satisfies condition ($n > i$). In general, in the study of automatic controls, the nature of the system is such that the condition ($n > i$) is satisfied and the division process is not necessary.

The denominator of equation (1) can be factored to yield the form:

$$F(s) = \frac{N(s)}{(s+r_1)(s+r_2)(s+r_3) \dots (s+r_n)}; \quad (2)$$

Where $-r_1, -r_2, -r_3, \dots, -r_n$ are roots of $D(s)=0$ (or zeros of $D(s)$), that is, values of s for which $D(s)=0$ and may be either real or complex. First, consider the case where all roots of $D(s)=0$ are different (there are no repeated roots). Then the partial fraction expansion is given by:

$$F(s) = \frac{N(s)}{D(s)} = \frac{C_1}{s+r_1} + \frac{C_2}{s+r_2} + \dots + \frac{C_n}{s+r_n}; \quad (3)$$

The n^{th} constant C_n can be determined by multiplying both sides of equation(3) by the denominator of the n^{th} fraction, namely $(s+r_n)$. Hence the n^{th} factor may be canceled on both sides of equation (3). Next, replace s by $-r_n$ and solve for C_n . This process is expressed mathematically by the relationship:

$$C_n = \lim_{s \rightarrow -r_n} \left[\frac{N(s)}{D(s)} (s+r_n) \right]; \quad (4)$$

In particular, then

$$C_1 = \lim_{s \rightarrow -r_1} \left[\frac{N(s)}{D(s)} (s+r_1) \right]; \quad C_2 = \lim_{s \rightarrow -r_2} \left[\frac{N(s)}{D(s)} (s+r_2) \right]; \quad C_3 = \lim_{s \rightarrow -r_3} \left[\frac{N(s)}{D(s)} (s+r_3) \right];$$

Example (1): Determine the partial fraction expansion and the inverse transform of the ratio of polynomials:

$$F(s) = \frac{s+2}{s^3 + 8s^2 + 19s + 12} = \frac{s+2}{(s+3)(s+4)(s+1)}$$

Solution: $F(s)$ is expanded in partial fraction as: $F(s) = \frac{C_1}{s+3} + \frac{C_2}{s+4} + \frac{C_3}{s+1}$; using equation (4) we get

$$C_1 = \frac{-3+2}{(-3+4)(-3+1)} = \frac{1}{2}; \quad C_2 = \frac{-4+2}{(-4+3)(-4+1)} = \frac{-2}{3}; \quad C_3 = \frac{-1+2}{(-1+3)(-1+4)} = \frac{1}{6}$$

Therefore, $F(s) = \frac{1/2}{s+3} + \frac{-2/3}{s+4} + \frac{1/6}{s+1}$; Now by inspection using the Laplace Inverse Transform Tables we get:

$$f(t) = \mathcal{E}^{-1}[F(s)] = \frac{1}{2} e^{-3t} - \frac{2}{3} e^{-4t} + \frac{1}{6} e^{-t}; \quad \text{answer}$$

Note: If $F(s)$ contains repeated roots in the denominator, the procedure for finding the constants C 's for the partial fraction expansion must be modified. Consider:

$$F(s) = \frac{N(s)}{D(s)} = \frac{N(s)}{(s + r_1)^m (s + r_{m+1})(s + r_{m+2}) \dots (s + r_{m+n})}; \quad (5)$$

The root $-r_1$ is repeated here m times, and there are n non-repeated roots making a total ($m+n$) factors of $D(s)$. Expanding in partial fraction from equation (5) becomes:

$$F(s) = \frac{N(s)}{D(s)} = \frac{C_1}{(s + r_1)^m} + \frac{C_2}{(s + r_1)^{m-1}} + \dots + \frac{C_m}{s + r_1} + \frac{C_{m+1}}{s + r_{m+1}} + \dots + \frac{C_{m+n}}{s + r_{m+n}}; \quad (6)$$

The constants C_1 , C_2 , and C_m for the repeated roots are determined from the following relationships:

$$C_1 = \lim_{s \rightarrow -r_1} \left[\frac{N(s)}{D(s)} (s + r_1)^m \right]; \quad C_2 = \lim_{s \rightarrow -r_1} \frac{d}{ds} \left[\frac{N(s)}{D(s)} (s + r_1)^m \right]; \quad C_m = \frac{1}{(m-1)!} \lim_{s \rightarrow -r_1} \frac{d^{m-1}}{ds^{m-1}} \left[\frac{N(s)}{D(s)} (s + r_1)^m \right];$$

Example (2): Determine the inverse transform of the ratio of polynomials: $F(s) = \frac{s+1}{(s+2)^2(s+3)}$

Solution: $F(s)$ is expanded in partial fraction as: $F(s) = \frac{C_1}{(s+2)^2} + \frac{C_2}{s+2} + \frac{C_3}{s+3}$;

$$C_1 = \frac{-2+1}{-2+3} = -1; \quad C_2 = \lim_{s \rightarrow -2} \frac{d}{ds} \left[\frac{s+1}{s+3} \right] = \lim_{s \rightarrow -2} \frac{(s+3) - (s+1)}{(s+3)^2} = \frac{(-2+3) - (-2+1)}{(-2+3)^2} = 2; \quad C_3 = \frac{-3+1}{(-3+2)^2} = -2$$

Therefore, $F(s) = \frac{-1}{(s+2)^2} + \frac{2}{s+2} + \frac{-2}{s+3}$; Now by inspection using the Laplace Inverse Transform Tables we get:

$$f(t) = \mathcal{E}^{-1}[F(s)] = -te^{-2t} + 2e^{-2t} - 2e^{-3t}; \quad \text{answer}$$

٣- دالة التحويل:

هي التموج الرياضي الذي نمثل به أي عنصر من عناصر دائرة التحكم ويمكن استنتاج دالة التحويل الإجمالية للنظام انتلاقاً من معرفة دوال تحويل العناصر المكونة للنظام. ويمكن تقسيم التحكم في العمليات الصناعية إلى جزأين :

- ١- العملية الصناعية .
- ٢- أجهزة التحكم: وتحتوي على العناصر التالية : عنصر قياس، ومقارن، ومنظّم، وعنصّر التحكّم النهائي .



يمثل الشكل في الأعلى ما يسمى بالمخلي السنديوني لنظام تحكم مغلق الدائرة وقد تحتوي الدائرة على عناصر أخرى لمعالجة الإشارة كالمراوحات ... إلخ . يمكن اختصار المخلي السابق بالمخلي السنديوني التالي :



وقد تكون إشارة الخرج هي القيمة المقاسة (إشارة القياس) فيكون الرسم كالتالي :



وتسمى المنظومة الأخيرة نظام ذو تغذية مرتبطة أحادية .

٤- تعريف دالة التحويل المتعسر:

دالة التحويل لعنصر ما ، هي نسبة تحويل لا بلاس لإشارة خرج هذا العنصر على تحويل لا بلاس لإشارة دخله مع افتراض الظروف الابتدائية منعدمة .



هذه الدالة التحويل للعنصر هي: $\frac{U(s)}{E(s)} = G(s)$

مثال : ماهي الدالة التحويلية لعنصر إذا طبقنا عليه وحدة درجية في الدخل أعلى الإشارة $U(t) = 1 - e^{-t}$ في $U(s) = \frac{1}{s} - \frac{1}{s+1}$ الخرج .

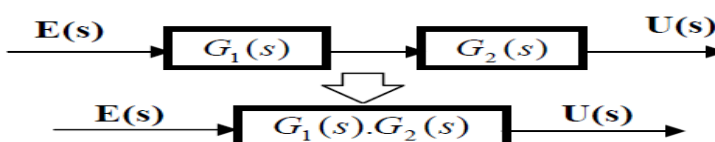
$$\frac{U(t)}{E(t)} = ? \quad U(t) = 1 - e^{-t}$$

- أولا علينا بحساب تحويل لا بلاس للدخل والخرج: $E(s) = \mathcal{E}[e(t)] = \mathcal{E}[1] = \frac{1}{s}$

$$U(s) = \mathcal{E}[e(t)] = \mathcal{E}[1 - e^{-t}]$$

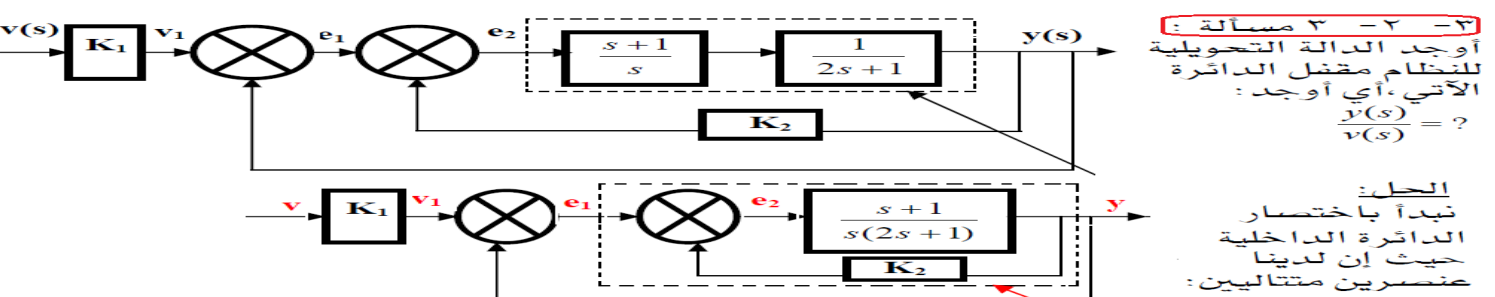
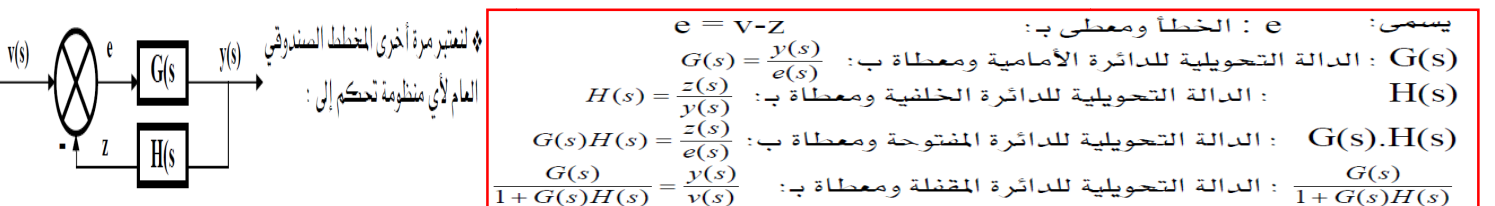
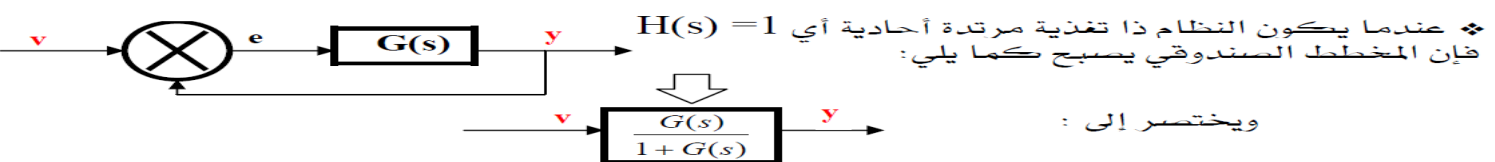
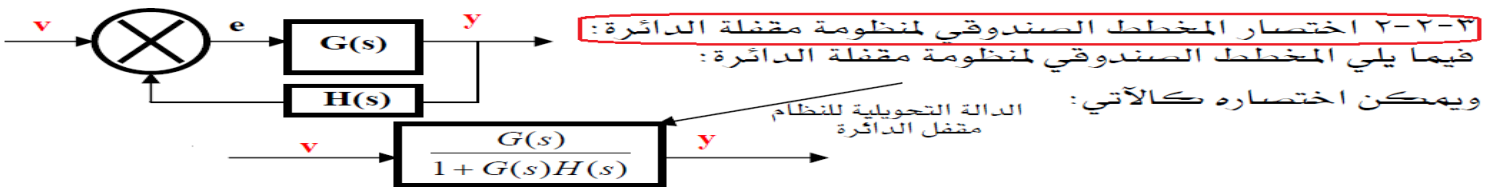
باستعمال جدول تحويل لا بلاس: $U(s) = \frac{1}{s} - \frac{1}{s+1}$ وبعد الاختصار نجد أن: $G(s) = \frac{U(s)}{E(s)} = \frac{1}{s(s+1)} \cdot \frac{s}{1} = \frac{1}{s+1}$

- ثانيا من التعریف للدالة التحويلية نجد أن: $G(s) = \frac{1}{s+1}$ إذن الدالة التحويلية تكون: $G(s) = \frac{1}{s+1}$

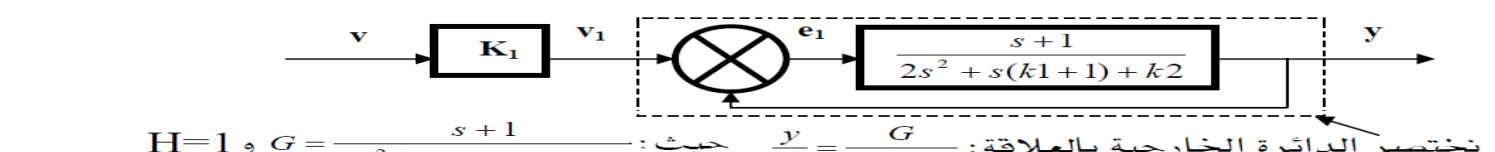


٤- اختصار المخلي السنديوني :

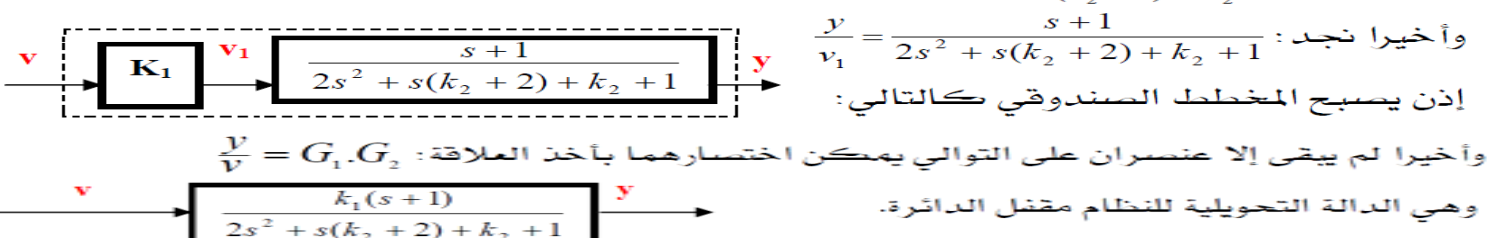
٤- ٢- ١- اختصار لعنصرين على التوالي :



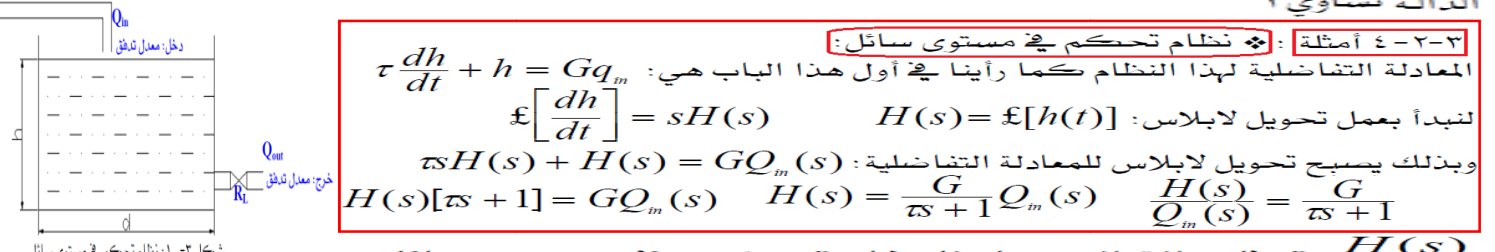
الآن نختصر الدائرة الداخلية الدائرة باستعمال العلاقة $\frac{y}{e_1} = \frac{G}{1+GH}$ حيث $G = \frac{s+1}{s(2s+1)}$ و $H(s) = K_2$.
أي: $\frac{y}{e_1} = \frac{s+1}{2s^2 + s(k_2 + 1) + k_2}$ يعني $\frac{y}{e_1} = \frac{s+1}{s(2s+1) + k_2(s+1)}$ وأخيراً $\frac{y}{e_1} = \frac{G}{1+G.H} = \frac{s+1}{1+K_2(s+1)}$ وبالتالي يصبح المدخل المصنودقي كالتالي:



ونتيجة مسابق: $\frac{y}{v_1} = \frac{s+1}{2s^2 + s(k_2 + 1) + k_2 + s + 1}$ ثم نختصر إلى: $\frac{y}{v_1} = \frac{G}{1+G} = \frac{\overline{2s^2 + s(k_2 + 1) + k_2}}{1+2s^2 + s(k_2 + 1) + k_2}$ وأخيراً نجد: $\frac{y}{v_1} = \frac{s+1}{2s^2 + s(k_2 + 2) + k_2 + 1}$ إذن يصبح المدخل المصنودقي كالتالي:



وتمثل الدالة التحويلية في المثال السابق تخلاماً من المرتبة أو الدرجة الثانية تنظر لكون درجة مقام الدالة تساوي ٢



دائرة كهربائية:

المعادلة التفاضلية لهذا النظام كما رأينا في أول هذا الباب هي: $\tau \frac{dE_{out}}{dt} + E_{out} = E_m$

بعد عمل تحويل لا بلس لهذه المعادلة تجد أن دالة التحويل للنظام هي: $\frac{E_{out}}{E_m} = \frac{1}{1 + \tau s}$

المعادلة التفاضلية لهذا النظام كما رأينا هي: $P_m A = m \frac{d^2x}{dt^2} + R_m \frac{dx}{dt} + \frac{1}{C_m} x$

بعد عمل تحويل لا بلس تجد أن دالة التحويل للنظام هي: $\frac{x}{P_m} = \frac{AC_m}{1 + R_m C_m s + m C_m s^2}$

تمارين -٣-

تمرين ١: أوجد تحويل لا بلاس للدوال التالية باستعمال الجدول :

$$f(t) = 120 \cos 377t \quad f(t) = 2 \sin 4t \quad f(t) = 2 + e^{-2t} \quad f(t) = 12 \quad f(t) = 12.3 + t + 5e^{-4t} \quad f(t) = 89.e^{-2t} \sin 1000t \quad f(t) = 27t$$

$$F(s) = \frac{120 \times 377}{s^2 + (377)^2} \quad F(s) = \frac{8}{s^2 + 16} \quad F(s) = \frac{2}{s+2} \quad F(s) = \frac{12}{s-1} \quad F(s) = \frac{12.3}{s} + \frac{1}{s^2} + \frac{5}{s+4} \quad F(s) = \frac{89000}{(s+2)^2 + 1000000}$$

تمرين ٢: أوجد تحويل لا بلاس العكسي للدوال التالية باستعمال الجدول :

$$F(s) = \frac{17.4}{2s^2 + 32s + 128} \quad F(s) = \frac{19.6s}{s^2 + 2500} \quad F(s) = \frac{8}{s+5} \quad F(s) = \frac{27.5}{s}$$

$$F(s) = \frac{8(s+1)}{(s+2)^2} = \frac{K_1}{s+2} + \frac{K_2}{(s+2)^2} \quad F(s) = \frac{350}{(s+2)^2 + 10000}$$

$$f(t) = 8e^{-t} \quad f(t) = 27.5 \quad f(t) = 19.6 \cos 50t \quad f(t) = 8.7te^{-8t}$$

$$F(s) = \frac{8.7}{s^2 + 16s + 64} = \frac{8.7}{(s+8)^2}$$

$$f(t) = 3.5e^{-2t} \sin 100t \quad F(s) = \frac{(3.5)(100)}{(s+2)^2 + (100)^2}$$

$$8(s+1) = K_1(s+2) + K_2 \quad \text{عندما نضرب من الترتيبين في } (s+2) \quad \text{نجد: } K_2 = -8$$

$$\text{مرحلة ٢: نعرض } S \text{ بالجذر ٢ في المعادلة السابقة فنجد أن: } K_1 = 8$$

$$\text{فتصبح: } F(s) = \frac{8}{s+2} - \frac{8}{(s+2)^2}$$

$$f(t) = 8e^{-2t} - 8te^{-2t} \quad \text{ثم نستخرج من الجدول في الخلل رقم ١٢:}$$

الاجابة

تمرين ٣: أوجد تحويل لا بلاس للدوال التالية حسب الشروط المبدئية المذكورة:

$$\frac{dx(0)}{dt} = -4 \quad f(t) = 8 \frac{d^2x(t)}{dt^2} + 12 \frac{dx(t)}{dt} + 7x(t) \quad x(0) = 6 \quad x(0) = 0 \quad \text{أ- حسب الشرطين التاليين: } x(0) = 0 \text{ و } x'(0) = -4$$

$$\text{ب- إذا كان: } f(t) = 5.5 \frac{dx(t)}{dt} + 24.2x(t) + 4.8 \int x(t)dt$$

$$F(s) = 8s^2 \cdot X(s) + 12s \cdot X(s) + 7 \cdot X(s) \quad \text{ف- باستعمال قاعدة تحويل لا بلاس للتفاضل دالة: (PID Controller)}$$

تمرين ٤: يمكن وصف المنظم التناصي- التكاملـيـ التفاضلي PID Controller بالمعادلة التالية:

$$i = Ke + KT_d \frac{de}{dt} + \frac{K}{T_i} \int e \cdot dt \quad \text{حيث: } i \text{ : تيار الخرج للمنظم} \quad e \text{ : إشارة الخطا} \quad K \text{ : كسب المنظم. } T_d \text{ : زمن التفاضل للممنظم. } T_i \text{ : زمن التكامل للممنظم.}$$

السؤال: أوجد دالة التحويل ، $I(s)/E(s)$ ، إذا كانت: $T_i = 2.2$ ، $T_d = 0.008$ ، $K = 3.6$

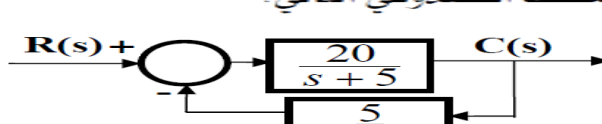
$$\text{الحل:} \quad I(s) = KE(s) + KT_d \cdot s \cdot E(s) + \frac{K}{T_i} \cdot \frac{E(s)}{s} \quad \text{وبذلك نجد أن: } I(s)/E(s) = K(1 + T_d \cdot s + \frac{1}{T_i \cdot s})$$

$$I(s)/E(s) = 3.6(1 + 0.008s + \frac{1}{2.2s}) \quad \text{بعد ذلك نقوم بتعويض قيم المعاملات في المعادلة:}$$

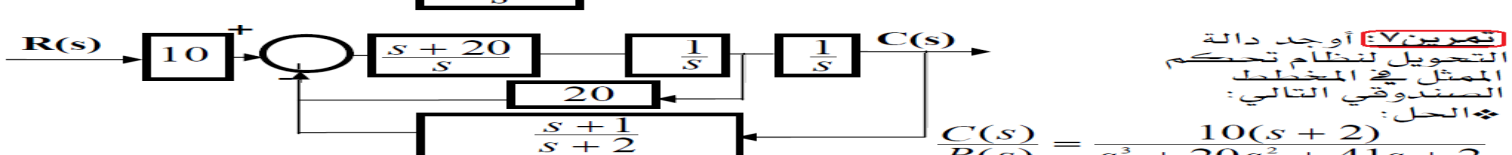
تمرين ٥: أوجد دالة التحويل $\frac{X(s)}{I(s)}$ لنظام تحكم وهو محول لسامم المكترونوماتي وصف بالمعادلة التفاضلية التالية: $0.0001 \frac{d^2X}{dt^2} + 0.02 \frac{dx}{dt} + x = 0.3i$ حيث: x : الإزاحة (inch) i : تيار الدخل (mA).

$$\frac{X(s)}{I(s)} = \frac{0.3}{0.0001s^2 + 0.02s + 1}$$

تمرين ٦: أوجد دالة التحويل لنظام تحكم الممثل في المخطط المستوقي التالي:



$$\frac{C(s)}{R(s)} = \frac{20s}{s^2 + 5s + 100} \quad \text{الحل:}$$



تمرين ٧: أوجد دالة التحويل لنظام تحكم الممثل في المخطط التالي:

الحل:

$$\frac{C(s)}{R(s)} = \frac{10(s+2)}{s^3 + 20s^2 + 41s + 2}$$

Additional Examples: **Example (1):** If $F(s) = \frac{s+1}{s^2(s+5)}$; find $f(t)$

$$\text{Solution: } F(s) = \frac{K_1}{s} + \frac{K_2}{s^2} + \frac{K_3}{s+5} ; K_1 = \left\{ \frac{d}{ds} \left(\frac{s+1}{s+5} \right) \right\}_{s=0} = \frac{4}{25} ; K_2 = \left[\frac{s+1}{s+5} \right]_{s=0} = \frac{1}{5} ; K_3 = \left[\frac{s+1}{s^2} \right]_{s=-5} = -\frac{4}{25}$$

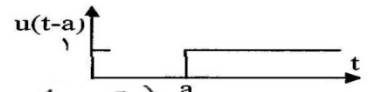
$$\therefore F(s) = \frac{4}{25s} + \frac{1}{5s^2} - \frac{4}{25(s+5)} \quad \text{From inverse Laplace-Tables} \quad f(t) = \left(\frac{4}{25} + \frac{1}{5}t - \frac{4}{25}e^{-5t} \right)$$

Example (2): If $G(s) = \frac{s+1}{s^2(s+5)} e^{-7s}$; find $f(t)$

from Laplace-tables(Time-displacement theorem) But $L[u(t-a)f(t-a)] = e^{-as}F(s)$

$$\text{From example (1); } F(s) = \frac{s+1}{s^2(s+5)} = \frac{4}{25s} + \frac{1}{5s^2} - \frac{4}{25(s+5)} \text{ and } f(t) = \left(\frac{4}{25} + \frac{1}{5}t - \frac{4}{25}e^{-5t} \right)$$

$$\therefore g(t) = f(t-a) u(t-a) \quad \text{where } a = 7 \quad \therefore g(t) = \left(\frac{4}{25} + \frac{1}{5}(t-7) - \frac{4}{25}e^{-5(t-7)} \right) u(t-7)$$



Example (3): If $F(s) = \frac{3s}{s^2+4s+5}$; find $f(t)$

Solution: let $F(s) = \frac{3s}{(s+2)^2+1} = \frac{3(s+2)}{(s+2)^2+1} - \frac{6}{(s+2)^2+1}$ but $L(\sin t) = \frac{1}{s^2+1}$ & $L(\cos t) = \frac{s}{s^2+1}$

From Laplace Table: $L(e^{at} f(t)) = F(S-a)$, $S>a$; so we find that $a=2$ $\therefore f(t) = 3e^{-2t} \cos t - 6e^{-2t} \sin t$

Example (4): If $\ddot{x} + 4\dot{x} + 8x = 0$ & $x(0) = 0$, $\dot{x}(0) = 4$; find $f(t)$

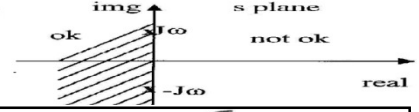
Solution: Taking Laplace $s^2 X(s) - sx(0) - \dot{x}(0) + 4sX(s) - 4x(0) + 8X(s) = 0$
 $\therefore s^2 X(s) - 4 + 4sX(s) + 8X(s) = 0$; $X(s) = \frac{4}{s^2 + 4s + 8} = 2 \left(\frac{2}{(s+2)^2 + (2)^2} \right)$
but $L(\sin \omega t) = \frac{\omega}{s^2 + \omega^2}$ From Laplace Table: $L(e^{at} f(t)) = F(S-a)$, $S>a$; so we find that $a=-2$
so we find that $x(t) = 2e^{-2t} \sin 2t$

Example (5): What is the steady state value for $f(t)$ if: a) $F(s) = \frac{3}{s(s^2+s+2)}$ b) $F(s) = \frac{\omega}{s^2+\omega^2}$

a) $sF(s) = \frac{3}{s^2+s+2}$ From Final Value Theorem: $\lim_{t \rightarrow \infty} f(t) = \lim_{s \rightarrow 0} sF(s) = \lim_{s \rightarrow 0} \frac{3}{s^2+s+2} = \frac{3}{2}$
b) $sF(s) = \frac{s\omega}{s^2+\omega^2} = \frac{s\omega}{(s+j\omega)(s-j\omega)}$ $\lim_{s \rightarrow 0} \frac{s\omega}{(s+j\omega)(s-j\omega)} = \frac{0}{0}$ this is undetermined value!

Another solution: However, since $F(s)$ has poles in the right half of the s plane or j axis then the limit can't be obtained.

Here: $f(t) = \sin \omega t$ (periodic function) $\lim_{t \rightarrow \infty} f(t) = \text{is unknown!!!!}$



Example (6): Find $i = i(t)$, If the switch is suddenly closed

$Ri + L \frac{di}{dt} = e$ for $t > 0$, $i(0)=0$ Taking Laplace: $RI(s) + LSI(s) - L i(0) = E(s)$

since $e(t) = \text{step-function of constant value } e$ $\frac{I(s)}{E(s)} = \frac{1}{L(s + R/L)}$ & $E(s) = \frac{e}{s}$

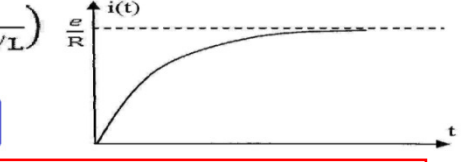


$$I(s) = \frac{e}{L} \left(\frac{a}{s} + \frac{b}{s+R/L} \right) \quad \text{But } a = \frac{L}{R}, b = \frac{-L}{R} \quad \therefore I(s) = \frac{e}{R} \frac{1}{s} - \frac{e}{R} \frac{1}{s+R/L}$$

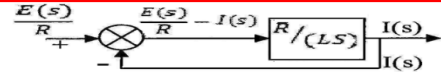
By inverse Laplace: $i(t) = \frac{e}{R} - \frac{e}{R} e^{-Rt/L}, t > 0$

$$\lim_{t \rightarrow 0} i(t) = \lim_{s \rightarrow \infty} \frac{e}{L(s + R/L)} = 0$$

$$\lim_{t \rightarrow \infty} i(t) = \lim_{s \rightarrow 0} \frac{e}{L(s + R/L)} = \frac{e}{R}$$



This figure is a block diagram that represents the following equation: $\left(\frac{E(s)}{R} - I(s) \right) \left(\frac{R}{Ls} \right) = I(s)$



Example (7): If $q = K_1(h_0 - h)$ & $h(0) = 0$, find $h(t)$

$q = k_1(h_0 - h)$ Also $q = A \frac{dh}{dt} \therefore \frac{dh}{dt} = \frac{k_1}{A}(h_0 - h) = K(h_0 - h); (K = \frac{k_1}{A})$

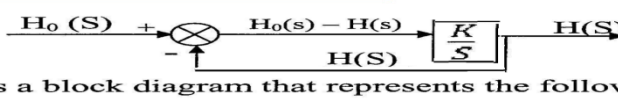
$S H(S) - h(0) = K(H_0(S) - H(s)) \quad \left[\frac{H(s)}{H_0(s)} = \frac{K}{s+K} = \frac{1}{1+s/K} \right] \quad \& H_0(s) = \frac{h_0}{s}$

Note: If $\frac{\text{output}}{\text{input}} = \frac{1}{1+ts}$ $\therefore \text{First order system}$ here $\tau = 1/K$ $h(t) \uparrow$

$\therefore H(S) = \frac{Kh_0}{s(s+K)} = Kh_0 \left(\frac{a}{s} + \frac{b}{s+k} \right) \quad a = \frac{1}{K}, b = -\frac{1}{K}$

$$H(S) = Kh_0 \left(\frac{1}{Ks} - \frac{1}{K(s+k)} \right) = h_0 \left(\frac{1}{s} - \frac{1}{(s+k)} \right)$$

$$h(t) = h_0 (1 - e^{-kt}), t > 0$$

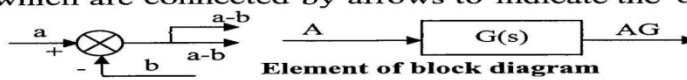


The above figure is a block diagram that represents the following equation: $(H_0(s) - H(s)) \frac{K}{s} = H(s)$

Block Diagram

أمثلة إضافية حول اختصارات المخطط الصناعي

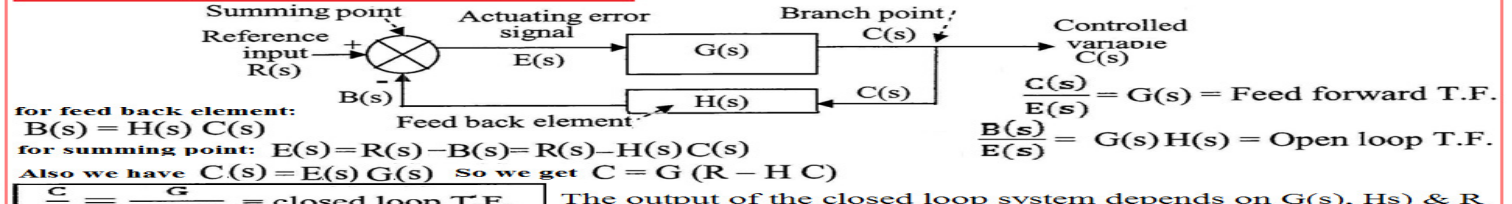
The block diagram of a system is a pictorial representation of the functions performed by each component and of the flow of signals. In block diagram all system variables are linked to each other through functional blocks. This block is a symbol for the mathematical operation on the input signal to the block that produces the output. The transfer functions of the components are usually entered in corresponding blocks, which are connected by arrows to indicate the direction of the flow of signals.



Summing point: is a circle with a cross that indicates a summing operation.

Branch point: is point from which signal from block goes concurrently to other blocks or summing points.

Block diagram of a closed loop system:



Closed loop system subjected to a disturbance:

For effect of N only(taking $R=0$),

for this closed loop we get output C_N

$$\frac{C_N}{N} = \frac{G_2}{1+G_1G_2H}$$

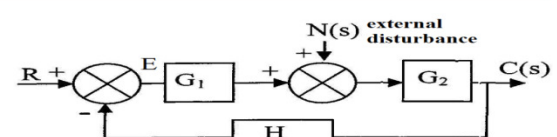
For effect of R only(taking $N=0$), we get output C_R

$$\frac{C_R}{R} = \frac{G_1G_2}{1+G_1G_2H}$$

$$\text{Total output } C = C_R + C_N = \frac{G_2}{1+G_1G_2H} (G_1R + N) \quad \text{Let } G_1H \gg 1 \text{ then } G_1G_2H \gg 1$$

$\therefore C_N \rightarrow 0$ & the effect of the disturbance is suppressed (an advantage of the closed loop system)

$$\text{Also } \frac{C_R}{R} \rightarrow \frac{1}{H} \quad \text{i.e. independent of } G_1G_2 \text{ (another advantage)} \quad \text{If } H \approx 1 \therefore C \rightarrow R$$



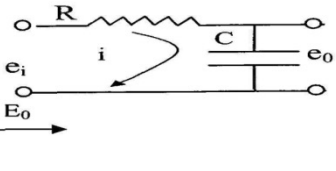
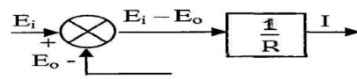
Procedures for drawing a block diagram:

$$i = \frac{e_i - e_o}{R} \quad e_o = \frac{1}{C} \int i dt \rightarrow E_o = \frac{1}{C S} I$$

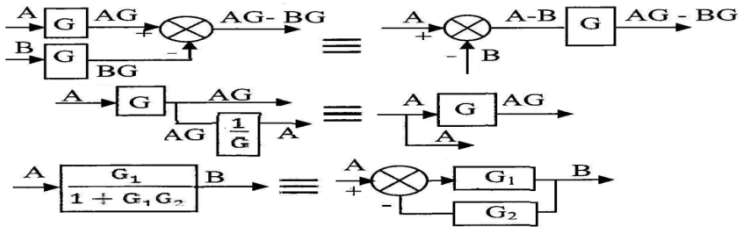
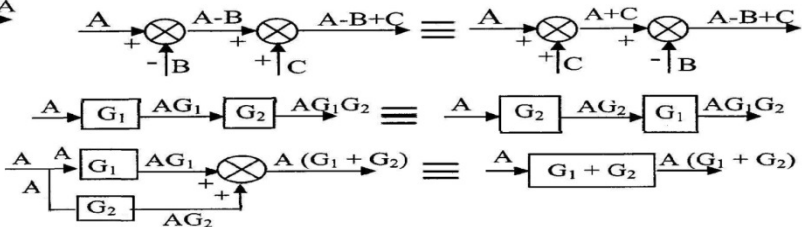
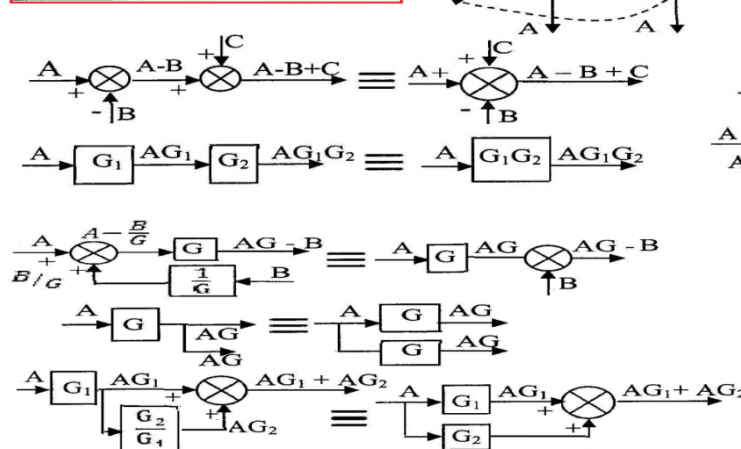
For the closed loop system

The T.F. of the system

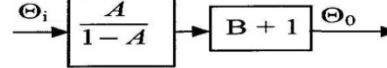
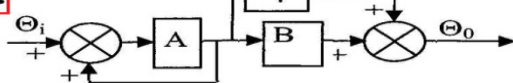
$$\frac{E_o}{E_i} = \frac{\frac{1}{R C S}}{1 + \frac{1}{R C S}}$$



Block diagram reduction:

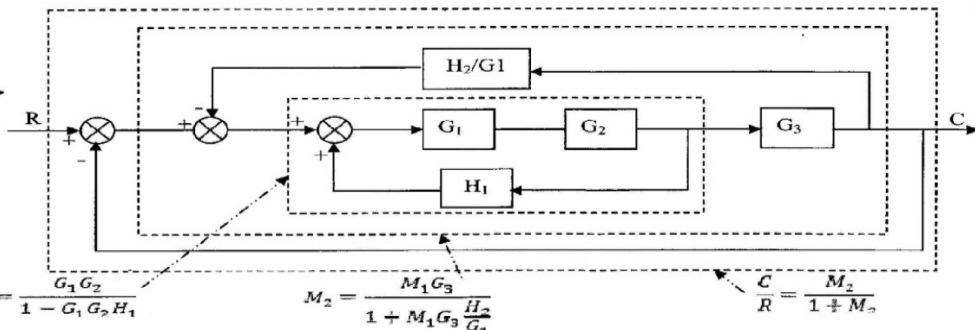
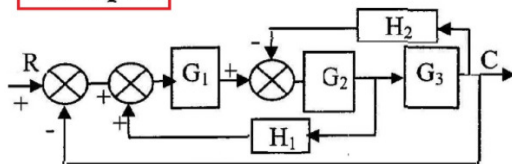


Example:

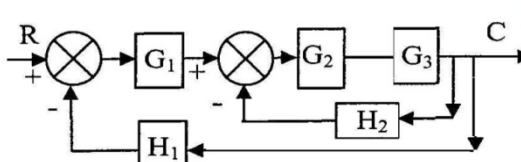
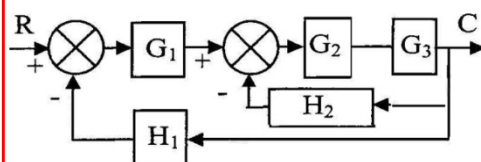


$$\frac{\Theta_i}{\Theta_o} = \frac{A(B+1)}{1-A}$$

Example:

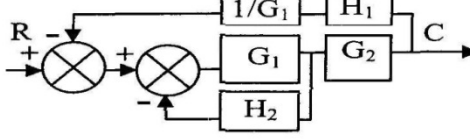
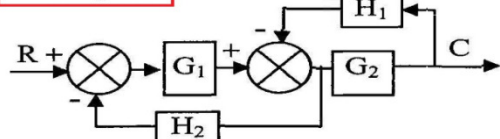


$$M_1 = \frac{G_1 G_2}{1 - G_1 G_2 H_1} \quad M_2 = \frac{M_1 G_3}{1 + M_1 G_3 \frac{H_2}{G_1}} \quad \frac{C}{R} = \frac{M_2}{1 + M_2}$$



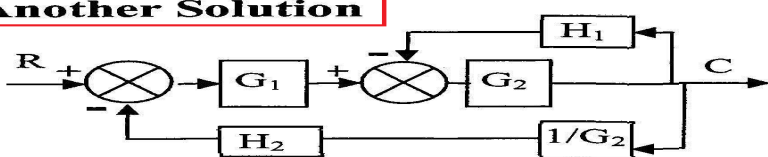
$$\frac{R}{C} = \frac{G_1 \frac{G_2 G_3}{1 + G_2 G_3 H_2}}{I + \frac{G_1 G_2 G_3}{1 + G_2 G_3 H_2} H_1}$$

Example :



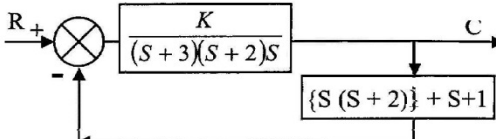
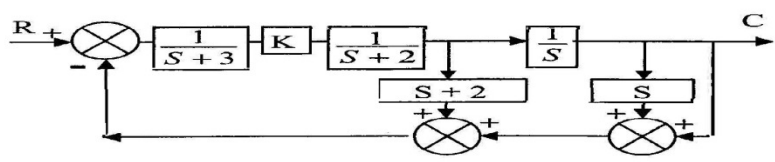
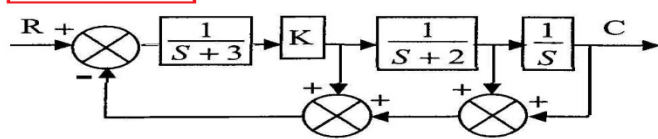
$$\frac{C}{R} = \frac{\frac{G_1}{1 + G_1 H_2} (G_2)}{1 + \frac{G_1}{1 + G_1 H_2} (G_2) \frac{H_1}{G_1}}$$

Another Solution



$$\frac{C}{R} = \frac{(G_1) \frac{G_2}{1 + G_2 H_1}}{1 + \frac{G_1 G_2}{1 + G_2 H_1} \left(\frac{H_2}{G_2} \right)}$$

Example :

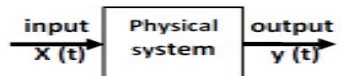


$$\frac{C}{R} = \frac{\frac{k}{(S+3)(S+2)S}}{1 + \frac{k}{(S+3)(S+2)S} (S(S+2)+S+1)}$$

$$\text{OR } \frac{C}{R} = \frac{k}{(S+3)(S+2)S + K(S(S+2)+S+1)}$$

Mathematical Modeling

It is finding Governing Differential Equations of the Physical Systems.
So modeling is to get set of equations that represents the dynamics of the system accurately or at least fairly well.



Modeling

Linear time-invariant systems

Differential equations of constant
Coefficients & single output variable
consumption

Linear time-varying

e.g., space-crafts control system:
mass change due to fuel

Transfer Function G(s):

It is the Laplace Transform of the time-domain mathematical modeling. G(s) characterize the input-output relation of the system that could only be described by linear time-invariant differential equations.

$$G(S) = \frac{\text{Laplace} \{ \text{output } y(t) \}}{\text{Laplace} \{ \text{input } x(t) \}} = \frac{Y(S)}{X(S)}$$

1- Mechanical Systems:

1) Stiffness $\xrightarrow{x} F(t)$

$$\ddot{F}(t) = Kx(t)$$

$$\mathcal{L}\{F(t)\} = K\dot{X}(s)$$

2) Damping $\xrightarrow{x(t)} F(t)$

$$\ddot{F}(t) = C\dot{x}(t)$$

$$\mathcal{L}\{F(t)\} = CS\dot{X}(s)$$

3) Inertia $\xrightarrow{x(t)} F(t)$

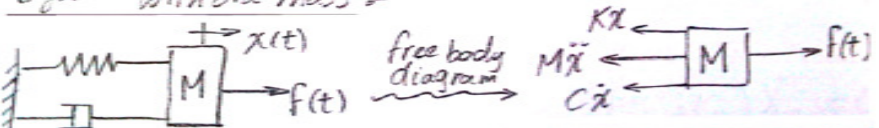
$$M\ddot{x} + C\dot{x} + Kx = F(t)$$

$$\mathcal{L}\{F(t)\} = MS^2\dot{X}(s)$$

From free body diagram of one mass system:

$$\begin{aligned} f(t) &= M\ddot{x} + C\dot{x} + Kx \\ F(s) &= M s^2 x(s) + C s x(s) + K x(s) \\ F(s) &= x(s)[M s^2 + C s + K] \\ G(s) &= \frac{\text{output}}{\text{input}} = \frac{x(s)}{F(s)} = \frac{x(s)}{M s^2 + C s + K} \end{aligned}$$

System with one mass \approx



A System having two-masses:

From free body diagram of mass (M_1):

$$(M_1 S^2 + K_1 + K_2 + C_2 S) \cdot x_1(s) - (C_2 S + K_2) x_2(s) = F(s) \dots \dots (1)$$

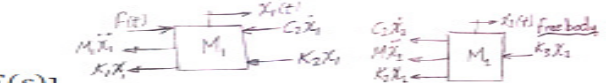
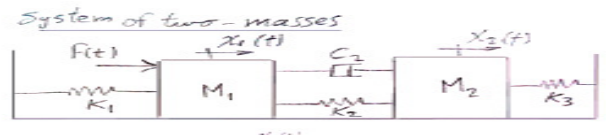
From free body diagram of mass (M_2):

$$-(C_2 S + K_2) \cdot x_1(s) + (M_2 S^2 + C_2 S + K_2 + K_3) \cdot x_2(s) = 0 \dots \dots (2)$$

The Matrix will be:

$$\begin{bmatrix} (M_1 S^2 + K_1 + K_2 + C_2 S) & -(C_2 S + K_2) \\ -(C_2 S + K_2) & (M_2 S^2 + C_2 S + K_2 + K_3) \end{bmatrix} \begin{bmatrix} x_1(s) \\ x_2(s) \end{bmatrix} = \begin{bmatrix} F(s) \\ 0 \end{bmatrix}$$

For x_1 , the Transfer function: $G(s) = \frac{x_1(s)}{F(s)}$; and For x_2 , the Transfer function: $G(s) = \frac{x_2(s)}{F(s)}$

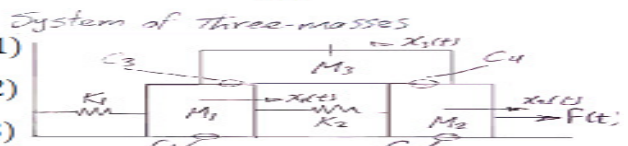


A System having three-masses:

$$[M_1 S^2 + (C_1 + C_2)S + (K_1 + K_2)]x_1 - K_2 x_2 - C_3 S x_3 = 0 \dots \dots (1)$$

$$-K_2 x_1 + [M_2 S^2 + (C_2 + C_4)S + K_2]x_2 - C_4 S x_3 = F(s) \dots \dots (2)$$

$$-C_3 S x_1 - C_4 S x_2 + [M_3 S^2 + (C_3 + C_4)S]x_3 = 0 \dots \dots \dots \dots (3)$$

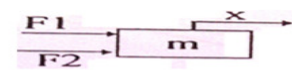


The Matrix will be:

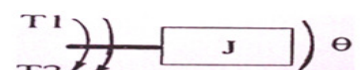
$$\begin{bmatrix} [M_1 S^2 + (C_1 + C_2)S + (K_1 + K_2)] & -K_2 & -C_3 S \\ -K_2 & [M_2 S^2 + (C_2 + C_4)S + K_2] & -C_4 S \\ -C_3 S & -C_4 S & [M_3 S^2 + (C_3 + C_4)S] \end{bmatrix} \begin{bmatrix} x_1 \\ x_2 \\ x_3 \end{bmatrix} = \begin{bmatrix} 0 \\ F(s) \\ 0 \end{bmatrix}$$

We solve these set of equations. For x_1 , $G(s) = \frac{x_1(s)}{F(s)}$; and For x_2 , $G(s) = \frac{x_2(s)}{F(s)}$; and For x_3 , $G(s) = \frac{x_3(s)}{F(s)}$

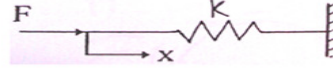
Inertia $\sum F = m \ddot{x}$



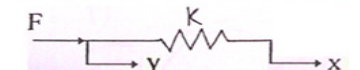
Inertia $\sum T = J \ddot{\theta}$



spring $F(t) = k x(t)$



spring $F = k(y - x)$



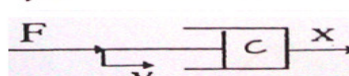
spring $T = G \theta$



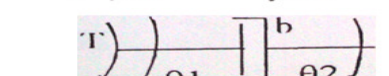
spring $T = G(\theta_1 - \theta_2)$



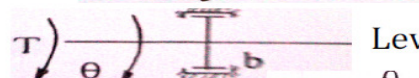
Damper $F = C(\dot{y} - \dot{x})$



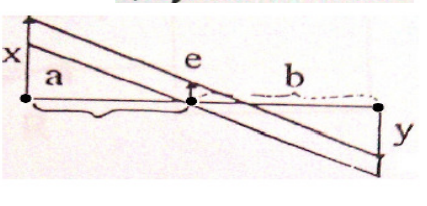
Damper $T = b(\dot{\theta}_1 - \dot{\theta}_2)$



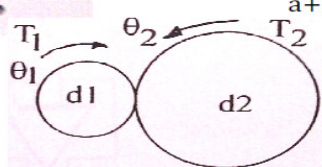
Damper $T = b \dot{\theta}$



Lever $e = \frac{b}{a+b}x - \frac{a}{a+b}y$



Gear ratio $n = \frac{\theta_1}{\theta_2} = \frac{d_2}{d_1} = \frac{T_2}{T_1} > 1$



2- Hydraulic Systems:

$$\text{Tank Level } q_i(t) - q_o(t) = A \frac{dh}{dt} = \frac{A}{\rho g} \frac{dp}{dt}$$

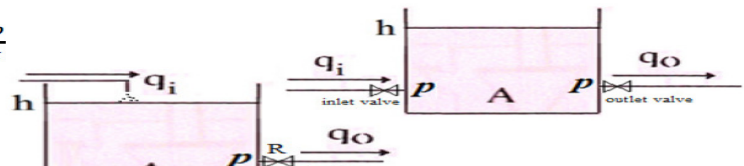
Where C : Hydraulic capacitance is change in liquid volume per unit change in head;

$$C = A \Delta h / \Delta h = A; \text{ some time } C \text{ is taken as } C = \frac{A}{\rho g}$$

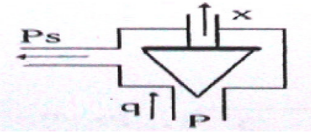
R: valve hydraulic resistance is head change to cause unit change in output flow rate;

$$R = \frac{dh}{dq_o}; \text{ for linear resistance (laminar flow)} R = \frac{h}{q_o}$$

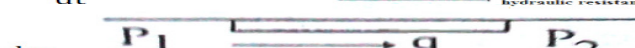
$$\text{Connected two tanks: } \frac{dq}{dt} = \frac{1}{R} \left(\frac{dh_1}{dt} - \frac{dh_2}{dt} \right)$$



$$\text{Flow meter orifice: } \frac{dq}{dt} = \frac{1}{R} \left(\frac{dp_1}{dt} - \frac{dp_2}{dt} \right)$$

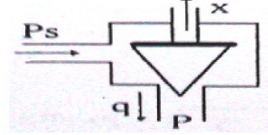
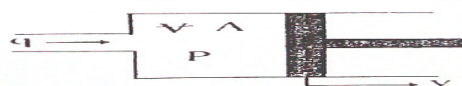


$$\text{piston } q = A \frac{dy}{dt} + \frac{\nu}{\beta} \frac{dp}{dt}$$



$$\text{Throttling valve: } \frac{dq}{dt} = K_v \frac{dx}{dt} - K_p \frac{dp}{dt}$$

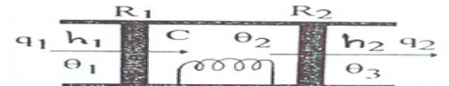
$$\text{Throttling valve: } \frac{dq}{dt} = K_v \frac{dx}{dt} + K_p \frac{dp}{dt}$$



3- Thermal Systems:

$$\text{Heat flow: } q_1 = \frac{\theta_1 - \theta_2}{R_1} \quad \& \quad q_2 = \frac{\theta_2 - \theta_3}{R_2}$$

$$\text{Thermal resistance: } R_1 = \frac{1}{A h_1} + \frac{L_1}{A K_1} \quad \& \quad R_2 = \frac{1}{A h_2} + \frac{L_2}{A K_2}$$



$$\text{Heat generated: } q_1 + q_g = C \frac{d\theta_2}{dt} + q_2$$

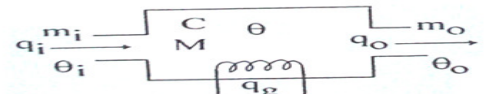
Thermo-fluid:

$$q_i + q_o = q_s + q_a$$

$$q_i = C \theta_i \frac{dm_i}{dt} \quad \& \quad q_o = C \theta_o \frac{dm_o}{dt} \quad \& \quad q_s = M \dot{C} \frac{d\theta}{dt}$$

Where Thermal Capacitance is $C = M \dot{C}$

Thermal resistance is R : For conduction $R = L/KA$ & For convection $R = 1/hA$

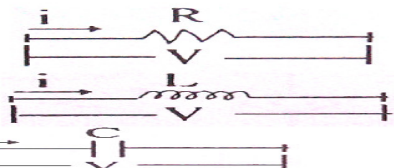


4- Electrical Systems:

$$\text{Resistance } R: \quad V(t) = R i(t) \quad \& \quad \text{Laplace: } V(s) = R I(s)$$

$$\text{Inductance } L: \quad V = L \frac{di}{dt} \quad \& \quad \text{Laplace: } V(s) = L \cdot s \cdot I(s)$$

$$\text{Capacitance } C: \quad V = \frac{1}{C} \int i dt \quad \& \quad \text{Laplace: } V(s) = \frac{1}{Cs} I(s)$$

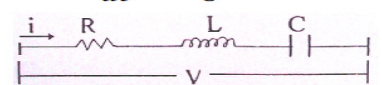


Series connection (open loop system) : $V(t) = V_1 + V_2 + V_3 = i(t) R + L \frac{di(t)}{dt} + \frac{1}{C} \int i(t) dt$

$$V(s) = RI(s) + L \cdot s \cdot I(s) + \frac{1}{Cs} I(s) = I(s) \cdot (R + LS + \frac{1}{Cs})$$

$V(s) = I(s)$. (Sum of all series impedances)

$$\text{Transfer function: } G(s) = \text{Output/Input}, \quad G(s) = \frac{I(s)}{V(s)} = \frac{1}{(R+LS+\frac{1}{Cs})}$$

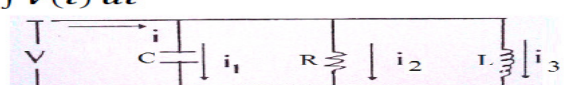


Parallel connection: $i(t) = i_1 + i_2 + i_3 = \frac{V(t)}{R} + C \frac{dv(t)}{dt} + \frac{1}{L} \int V(t) dt$

$V(s) = I(s)$. (Sum of all parallel capacitances)

$$I(s) = \frac{V(s)}{R} + C \cdot s \cdot V(s) + \frac{1}{L \cdot s} V(s) = V(s) \cdot (\frac{1}{R} + Cs + \frac{1}{L \cdot s})$$

$$\text{Transfer function: } G(s) = \text{Output/Input}, \quad G(s) = \frac{I(s)}{V(s)} = (\frac{1}{R} + Cs + \frac{1}{L \cdot s})$$



Two-loops circuit:

[sum of impedances around mesh 1]. $I_1(s)$ - [sum of impedances common on 1,2]. $I_2(s)$

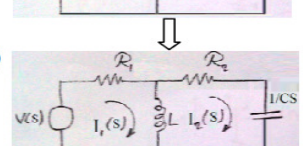
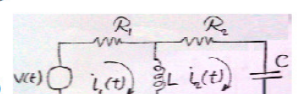
= [sum of applied voltages on mesh 1].....(1)

- [sum of impedances common on 1,2]. $I_1(s)$ - [sum of impedances around mesh 2]. $I_2(s)$

= [sum of applied voltages on mesh 2].....(2)

From 1 & 2 we get the Matrix form:

$$\begin{bmatrix} \text{impedance} \\ \text{Matrix} \end{bmatrix} \begin{bmatrix} I_1(s) \\ I_2(s) \end{bmatrix} = \begin{bmatrix} V(s) \\ 0 \end{bmatrix} \quad \text{If solving as } I_2(s) \text{ is the output. So } G(s) = \frac{I_2(s)}{V(s)}$$



Three-loops circuit: we write the governing equation for the current in each mesh:

$$(1+1+2s) \cdot I_1(s) - (1+2s) \cdot I_2(s) - (1) \cdot I_3(s) = V(s) \quad \dots \dots \dots (1)$$

$$- (1+2s) \cdot I_1(s) + (1+2s+3s+4s) \cdot I_2(s) - (4s) \cdot I_3(s) = 0 \quad \dots \dots \dots (2)$$

$$- (1) \cdot I_1(s) - (4s) \cdot I_2(s) + (1+4s+1/s) \cdot I_3(s) = 0 \quad \dots \dots \dots (3)$$

We put the equations in Matrix form:

$$\begin{bmatrix} 2+2s & -(1+2s) & -1 \\ -(1+2s) & (1+9s) & -4s \\ -1 & -4s & (1+4s+1/s) \end{bmatrix} \begin{bmatrix} I_1(s) \\ I_2(s) \\ I_3(s) \end{bmatrix} = \begin{bmatrix} V(s) \\ 0 \\ 0 \end{bmatrix}$$

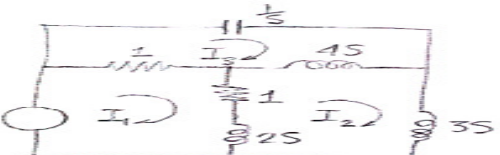
$$\text{Generator: } e_a = K_g i_f$$



$$\text{Motor: } T = K_M i_a$$



$$\text{Amplifier: } e_f = K_A e$$



Linear Mathematical Models

أمثلة تطبيقية على النماذج الرياضية لنظم التحكم الآوتوماتيكي الخطية

Speed Control Systems (e.g. Turbine speed Governor)

$$\text{For the lever arm: } x = e \frac{a_2}{a_1 + a_2} - z \frac{a_1}{a_1 + a_2} \dots \quad (1)$$

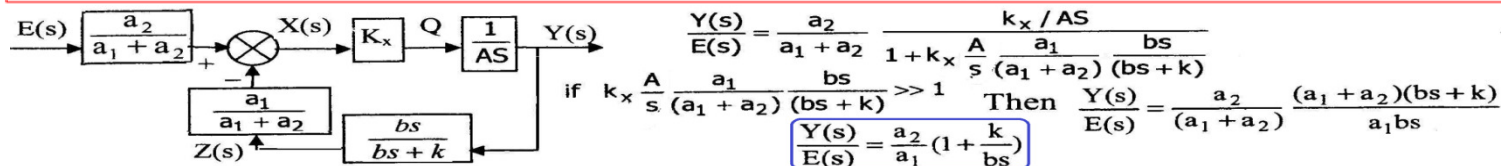
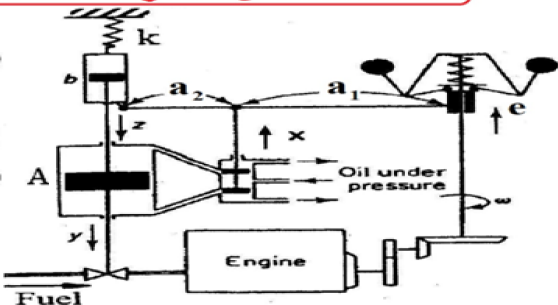
$$\text{For the Directional Control Valve: } q = k_x x \dots \quad (2)$$

$$\text{for the fuel valve } q = A \frac{dy}{dt} \dots \quad (3)$$

$$\text{Force balance on upper damper: } b \left(\frac{dy}{dt} - \frac{dz}{dt} \right) = k_z z \dots \quad (4)$$

$$\text{Laplace of last eqn: } bS[Y(s) - Z(s)] = k Z(s)$$

$$bS Y(s) = Z(s) [bS + k]$$



Example Show that the systems in figures below are analogous systems (Show that the transfer functions of the two systems are of identical form).

Solution: The equation of motion for the mechanical system

shown in figure (a) are: $b_1(\ddot{x}_i - \ddot{x}_o) + k_1(x_i - x_o) = b_2(\ddot{x}_o - \dot{y})$

Also for the lower damper $b_2(\ddot{x}_o - \dot{y}) = k_2 y$

By taking the Laplace transforms of these two equations, assuming zero initial conditions, we have:

$$b_1[sX_i(s) - sX_o(s)] + k_1[X_i(s) - X_o(s)] = b_2[sX_o(s) - sY(s)]$$

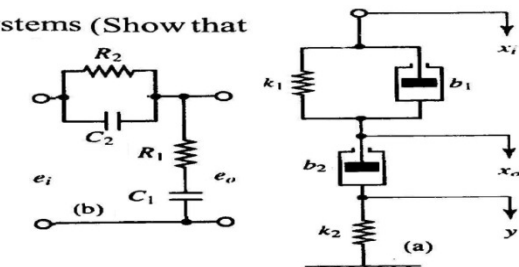
$$b_2[sX_o(s) - sY(s)] = k_2 Y(s)$$

If we eliminate $Y(s)$ from the last two equations, then we obtain:

$$b_1[sX_i(s) - sX_o(s)] + k_1[X_i(s) - X_o(s)] = b_2 s \frac{b_2 s X_o(s)}{b_2 s + k_2}$$

$$\text{or } (b_1 s + k_1) X_i(s) = \left(b_1 s + k_1 + b_2 s - b_2 s \frac{b_2 s}{b_2 s + k_2} \right) X_o(s)$$

Hence the transfer function $X_o(s)/X_i(s)$ can be obtained as:



$$\frac{X_o(s)}{X_i(s)} = \frac{\left(\frac{b_1}{k_1} s + 1 \right) \left(\frac{b_2}{k_2} s + 1 \right)}{\left(\frac{b_1}{k_1} s + 1 \right) \left(\frac{b_2}{k_2} s + 1 \right) + \frac{b_2}{k_1} s}$$

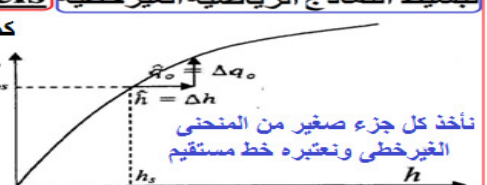
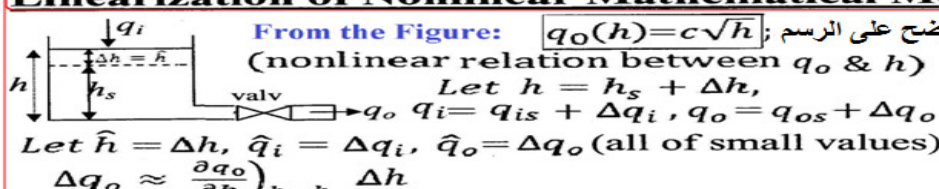
For electrical system in Figure (b), the transfer function $E_o(s)/E_i(s)$ is found to be:

$$\frac{E_o(s)}{E_i(s)} = \frac{\frac{R_1 + \frac{1}{C_1 s}}{R_1}}{\frac{1}{(1/R_2) + C_2 s} + R_1 + \frac{1}{C_1 s}} = \frac{(R_1 C_1 s + 1)(R_2 C_2 s + 1)}{(R_1 C_1 s + 1)(R_2 C_2 s + 1) + R_2 C_1 s}$$

A comparison of the transfer functions shows that the systems shown in Figures (a) and (b) are analogous.

Linearization of Nonlinear Mathematical Models

تبسيط النماذج الرياضية الغير خطية



$$\hat{q}_o = \frac{\partial q_o}{\partial h} \Big|_{h=h_s} \hat{h} \quad \text{or} \quad \hat{q}_o = \left(\frac{1}{2} c \frac{1}{\sqrt{h_s}} \right) \hat{h} \quad \hat{q}_o = \left(\frac{1}{R} \right) \hat{h}; \text{ (linear relation between } \hat{q}_o \text{ & } \hat{h} \text{)}$$

It is only accurate provided that \hat{q}_o & \hat{h} are small. Using laplace Transformation : $\hat{Q}_o = \left(\frac{1}{R} \right) \hat{H}$ --- (1) Also from figure: $\hat{q}_i - q_{os} = A \frac{d\hat{h}}{dt}$ $(q_{is} + \hat{q}_i) - (q_{os} + \hat{q}_o) = A \frac{d(h_s + \hat{h})}{dt}$

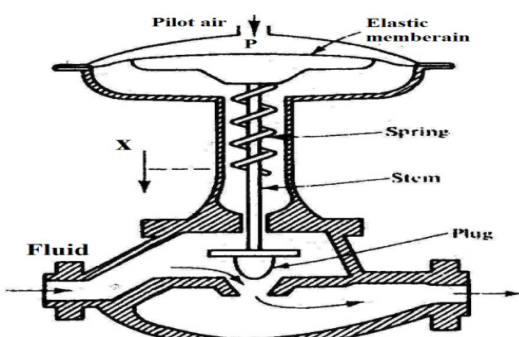
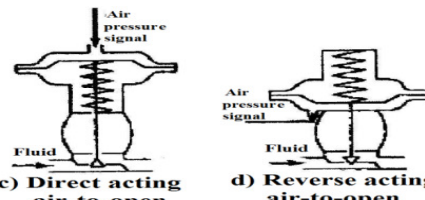
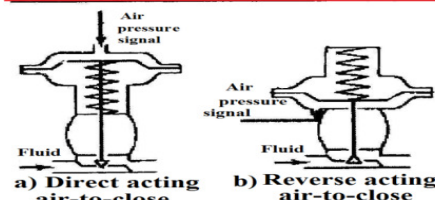
(but $q_{is} = q_{os} = q_{s,st}$) $\hat{q}_i - \hat{q}_o = A \frac{d\hat{h}}{dt}$ Note : if the original relation is linear then the linearized equation has same form. Using Laplace transformation and form (1):

$$\hat{Q}_i - \frac{\hat{H}(s)}{R} = A(s\hat{H}(s) - \hat{h}(0)) \quad \text{-----(2) and for } \hat{h}(0)=0$$

$$\frac{\hat{H}(s)}{\hat{Q}_i(s)} = R \left(\frac{1}{s} - \frac{1}{s+1/\tau} \right) \text{ if } \hat{Q}_i(s) = \frac{a}{s} \text{ (Step input)} \quad \hat{H}(s) = aR \left(\frac{1}{s} - \frac{1}{s+1/\tau} \right)$$

$$\text{or } \hat{h}(t) = aR (1 - e^{-t/\tau})$$

Pneumatic Control Valve



$$\text{From figure: } q(x, h) = K A(x) \sqrt{h}$$

Where x = stem position, A = valve opening,
 h = head difference across the valve

$$\Delta q \approx \frac{\partial q}{\partial x} \Big|_{h=h_s} q = q_s \Delta x + \frac{\partial q}{\partial h} \Big|_{h=h_s} q = q_s \Delta h \quad \& \quad \hat{q} = \left[K \frac{dA}{dx} \Big|_{x=x_s} \sqrt{h_s} \right] \hat{x} + \left[K A(x_s) \frac{1}{2\sqrt{h_s}} \right] \hat{h}$$

$$\hat{Q} = k_1 \hat{x} + k_2 \hat{h}$$

Note: $k_1 < 0$ if $\frac{dA}{dx} < 0$ Laplace Transformation: $\hat{Q} = k_1 \hat{x} + k_2 \hat{h}$

From main valve figure, taking force balance of moving mass (M of stem and valve disk)

$$pA - kx - c \frac{dx}{dt} = M \frac{d^2x}{dt^2}$$

$$\hat{p}A - k\hat{x} - c \frac{d\hat{x}}{dt} = M \frac{d^2\hat{x}}{dt^2}$$

$T^2 \frac{d^2\hat{x}}{dt^2} + 2\xi T \frac{d\hat{x}}{dt} + \hat{x} = K_c \hat{p}$ Where $T^2 = \frac{M}{K}$, $2\xi T = \frac{c}{K}$, $K_c = \frac{A}{K}$

Taking Laplace Transformation:

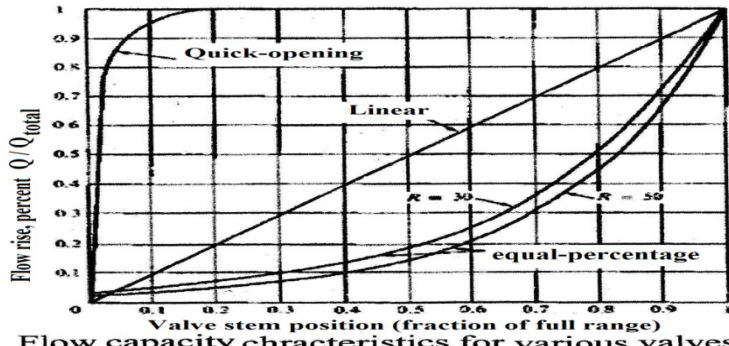
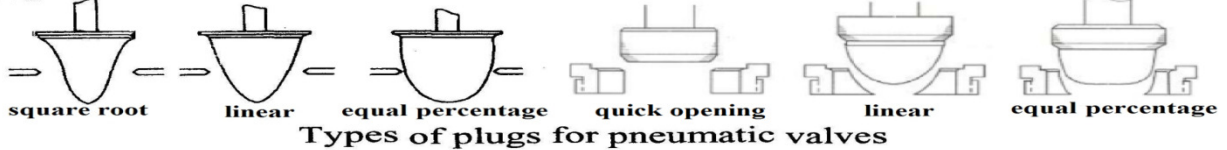
$$\frac{\hat{x}}{\hat{p}} = \frac{K_c}{T^2 s^2 + 2\xi Ts + 1}$$

If $T \ll 1$ or $M \ll k$

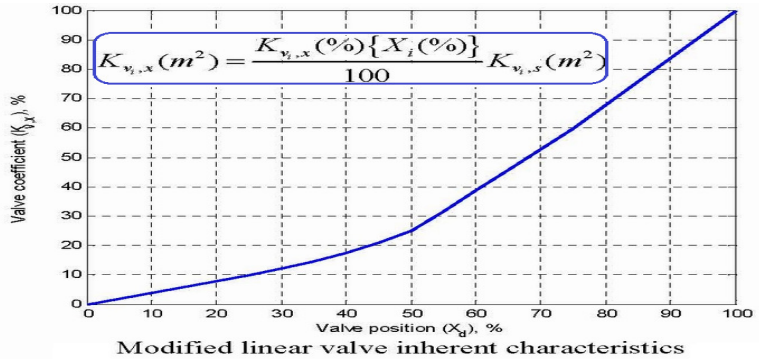
$$\frac{\hat{x}}{\hat{p}} = \frac{K_c}{2\xi Ts + 1} = \frac{K_c}{\tau s + 1}$$

Thus $\hat{Q} = k_1 \frac{K_c}{\tau s + 1} \hat{p} + k_2 \hat{h}$ Assuming that $\hat{h} = 0$ (head across the valve is constant)

$$\frac{\hat{Q}}{\hat{p}} = \frac{K_v}{\tau s + 1}$$



Flow capacity characteristics for various valves



يوجد أمثلة تطبيقية إضافية عديدة (في الفصل رقم 3) في المرجع الإلكتروني بعنوان Modern Control Engineering.pdf

Problems on Units (2 & 3)

1- Find the inverse Laplace of the following functions:

$$(a) G(s) = \frac{1}{(s+3)(s+2)} ; \quad (b) G(s) = \frac{1}{(s+4)(s+1)^2} ; \quad (c) G(s) = \frac{1}{s(s+1)(s^2+1)}$$

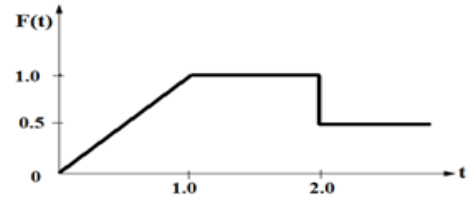
2- What is the Laplace transform of the following functions:

$$(a) g(t) = t^2 \cos(\omega t) \quad (b) g(t) = e^{-t} \sin(\omega t)$$

3- What is the Laplace transform of the function shown in the figure below?

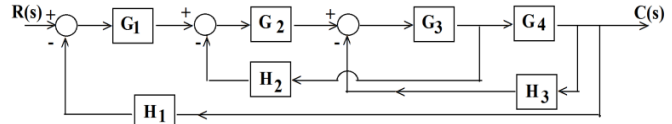
4- Solve the following differential equations using Laplace transformation:

$$\frac{d^2x}{dt^2} + 3 \frac{dx}{dt} + 2x = 5 ; \text{ where initial conditions are: } \dot{x}(0) = 2, \quad x(0) = 1$$



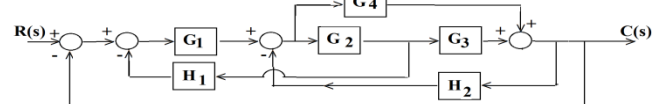
5-Using the block diagram reduction techniques, find the final closed loop Transfer Function:

$C(s) / R(s)$ for the following Control System Block Diagram.



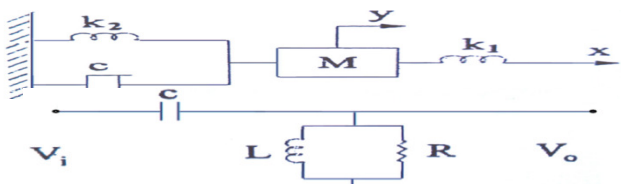
6-Using the block diagram reduction techniques, find the final closed loop Transfer Function:

$C(s) / R(s)$ for the following Control System Block Diagram.



7- Write the differential equation and obtain the transfer function for the following if x is the input & y is the output.

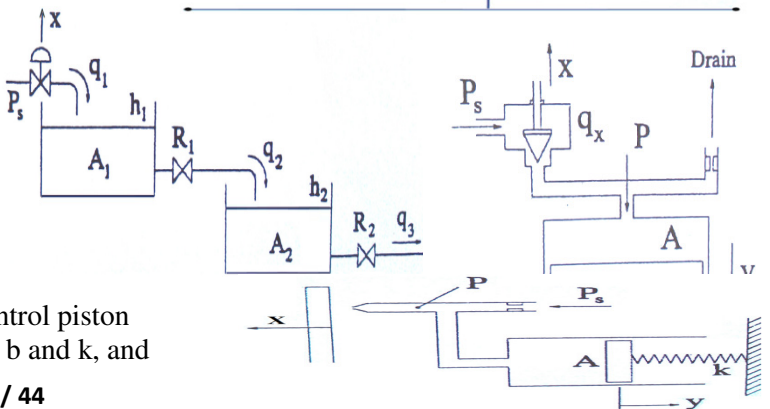
8- Obtain the transfer function; $V_o(s) / V_i(s)$ for the following electrical system



9- Obtain the transfer function for the following hydraulic system; where the distance of the control valve opening, x , is input and h_2 is the output.

10- Obtain the transfer function; $Y(s)/X(s)$ for the following system if the piston mass and the damping effects are negligible and if the volume of oil under pressure P is V with bulk modulus β .

11- In the figure below the flapper-nozzle valve is used to control piston position y . Piston mass, damping, and spring constants are m , b and k , and



piston area is A. Write the linearized equations and obtain the transfer function $Y(s)/X(s)$ if the volume of fluid under pressure P is V with bulk modulus β .

12-Find time dependent Differential equation & corresponding Laplace Transform eqn. for each of following systems:

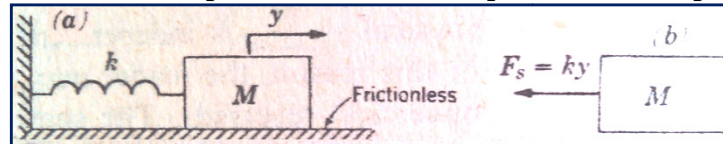


FIG. 2-1. Spring-mass system. Free-body diagram with mass displaced to the right (positive direction).

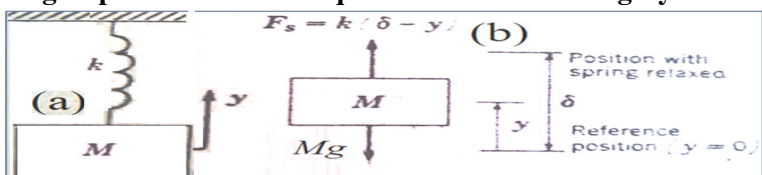


Fig. 2-2 system in which weight is an important factor

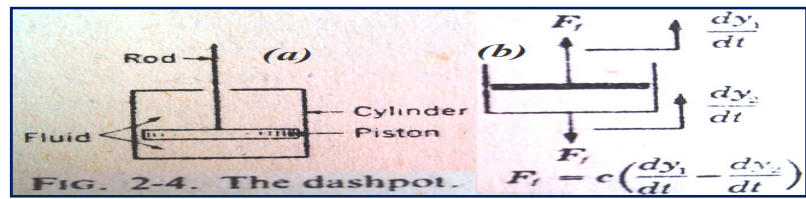


FIG. 2-4. The dashpot. $F_r = c(\frac{dy_1}{dt} - \frac{dy_2}{dt})$

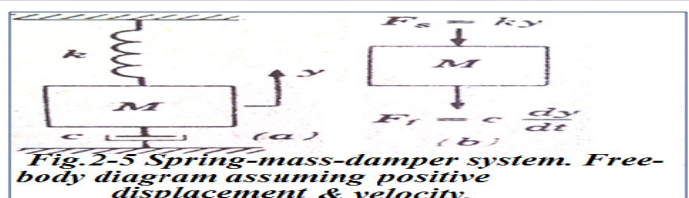


Fig. 2-5 Spring-mass-damper system. Free-body diagram assuming positive displacement & velocity.

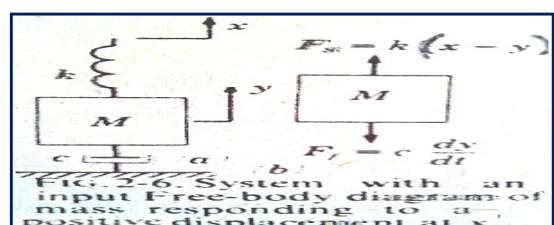


FIG. 2-6. System with an input Free-body diagram of mass responding to a positive displacement at x.

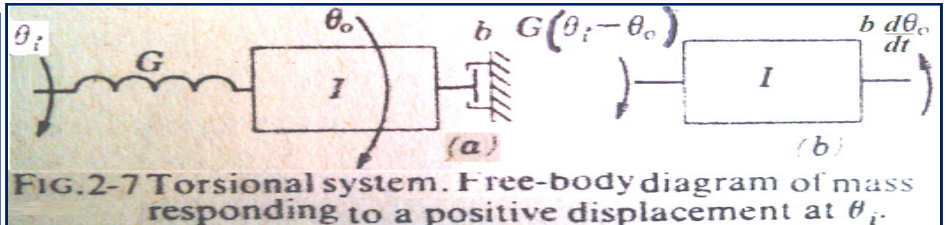


FIG. 2-7 Torsional system. Free-body diagram of mass responding to a positive displacement at θ_i .

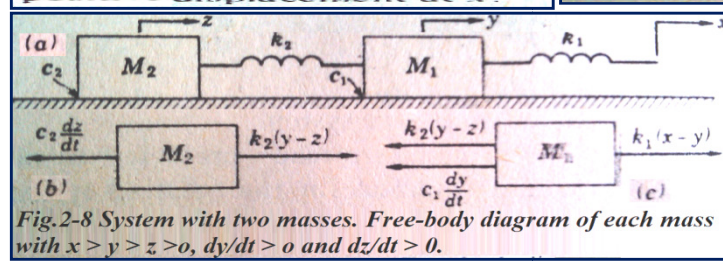


Fig. 2-8 System with two masses. Free-body diagram of each mass with $x > y > z > 0$, $dy/dt > 0$ and $dz/dt > 0$.

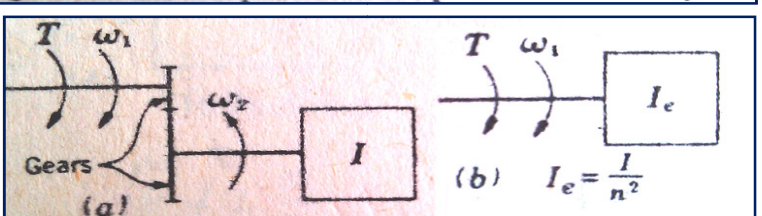


FIG. 2-9. A geared system and its equivalent

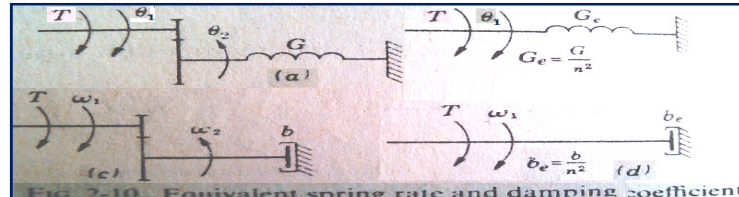


FIG. 2-10. Equivalent spring rate and damping coefficient

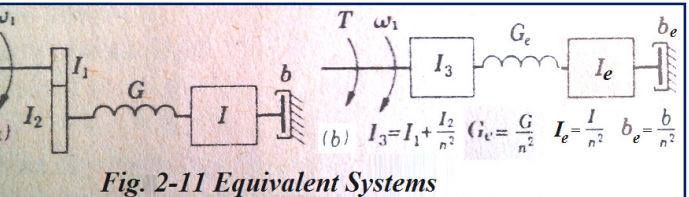


Fig. 2-11 Equivalent Systems

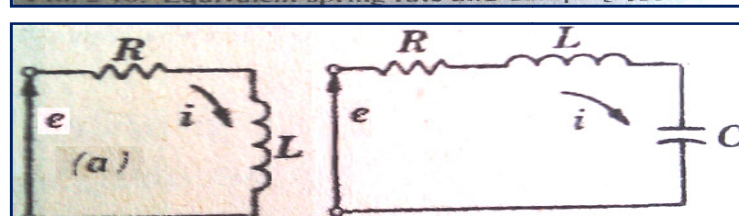


FIG. 2-12. Electrical circuits.

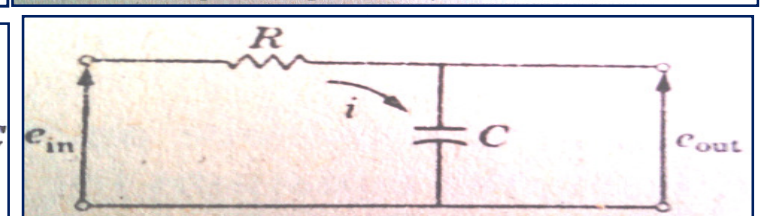


FIG. 2-13. Electrical network.

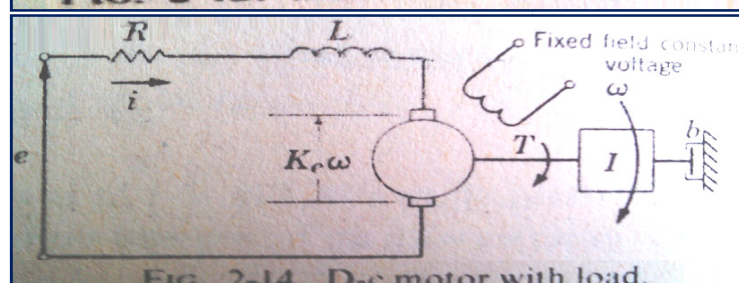


FIG. 2-14. D-c motor with load.

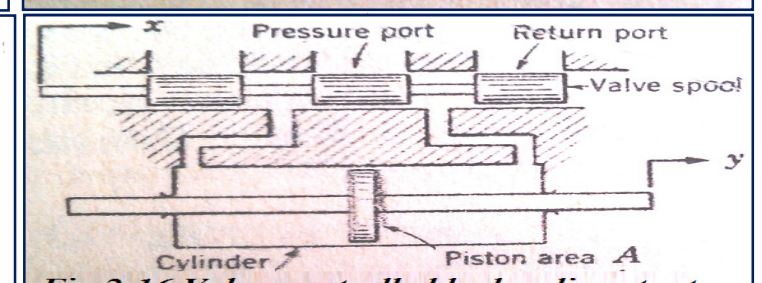


Fig. 2-16 Valve-controlled hydraulic actuator

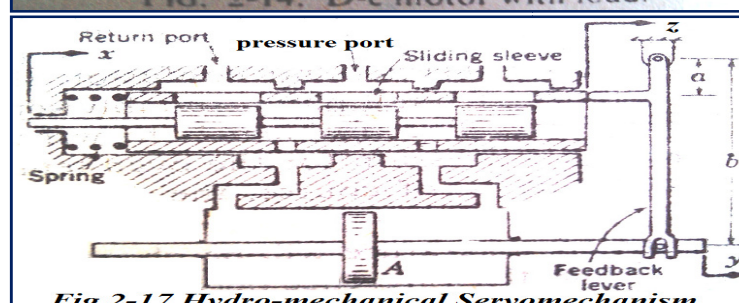


Fig. 2-17 Hydro-mechanical Servomechanism

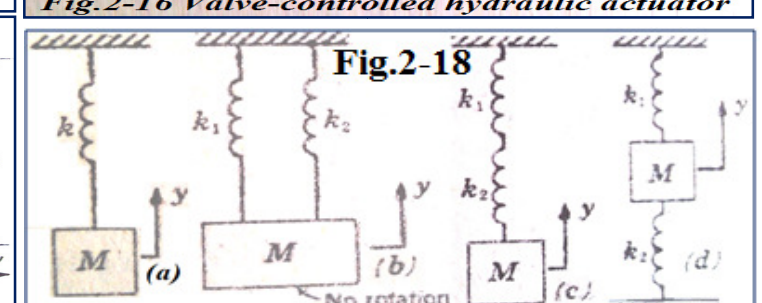


Fig. 2-18

- **الوحدة الرابعة - الاستجابة الزمنية لنظام المرتبة الأولى والثانية**

الجدارة: الأهداف

- ❖ بإكمال الوحدة الرابعة يمكن المتدرب قادراً على:
- ❖ أن يحصل على الاستجابة الزمنية للنظام ذو المرتبة الأولى.
- ❖ إيجاد خصائص نظام ذو المرتبة الأولى.
- ❖ أن يحصل على الاستجابة الزمنية للنظام ذو المرتبة الثانية.
- ❖ إيجاد خصائص نظام ذو المرتبة الثانية.
- ❖ لهم دراسة الاستجابة الزمنية لبعض النظم

ستتناول في هذا الباب الاستجابة الزمنية لنظام المرتبة الأولى والثانية، حيث سوف نقوم بشرح الاستجابة الدائمة والعايرة وخصائص هذين النظائر.

١- دراسة نظام المرتبة الأولى:

١-١ تعريف نظام المرتبة الأولى:

يمكن تعريف نظام المرتبة الأولى عن طريق المعادلة التفاضلية التالية: (1-4) $\frac{dy(t)}{dt} + ay(t) = bx(t)$ ، بحيث عند الزمن $t=0$ فإن $y(0)=y_0$: معاملات النظام y_0 و b و a هي القيمة الابتدائية لخرج النظام

أو عن طريق المعادلة التفاضلية: (2-4) $\tau \frac{dy(t)}{dt} + y(t) = Gx(t)$ ، بحيث عند الزمن $t=0$ فإن $y(0)=y_0$ ، τ : ثابت الزمن ($G = \frac{b}{a}$) : كسب النظام في حالة الاستقرار.

باستخدام تحويل لا بلس على المعادلة (1-4)، نحصل على التالي:

$$sY(s) - y_0 + aY(s) = bX(s) \Leftrightarrow (s + a)Y(s) = y_0 + bX(s)$$

ثم بقسمة طرفي المعادلة على $s + a$ نحصل على الخرج:

$$Y(s) = \frac{1}{s+a} X(s) \quad Y(s) = \frac{bE}{s(s+a)}$$

في حالة: $y_0=0$ والدخل وحدة درجية: $X(s) = \frac{b}{s+a}$

يمكن كتابة الخرج بطريقة ثانية كالتالي: $Y(s) = \frac{bE}{s(s+a)} = \frac{bE/a}{s} - \frac{bE/a}{s+a}$ يمكن إيجاد تحويل لا بلس العكسي للدالة $Y(s)$ عبر الزمن t كالتالي:

$$(4.3) \quad Y(t) = GE(1 - e^{-\frac{t}{\tau}})$$

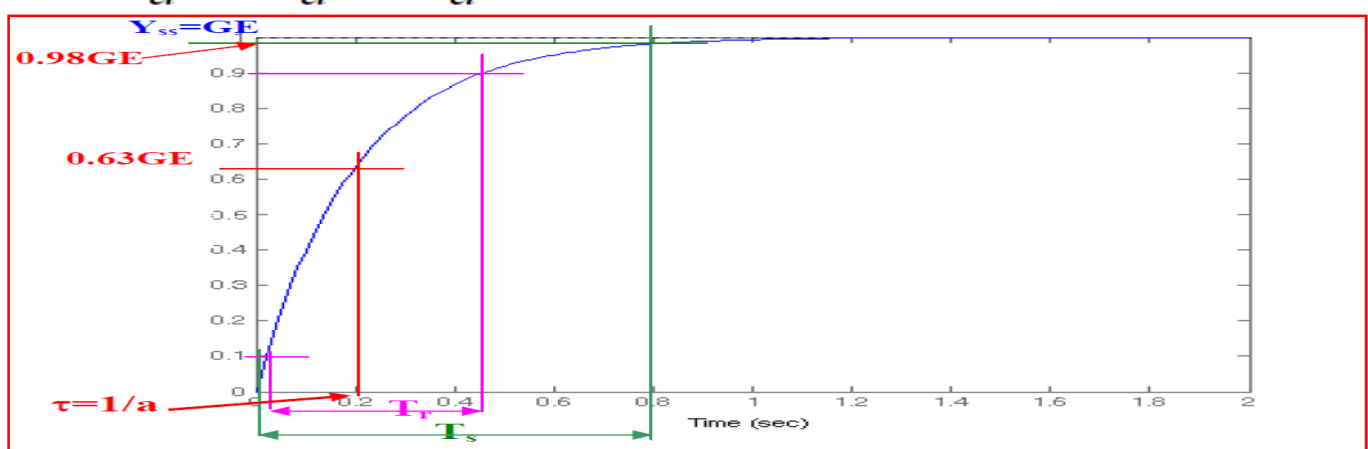
لتقى بحساب قيمة الخرج عند القيم الزمنية التالية فنحصل على الجدول التالي:

الزمن t	الخرج Y(t)
5τ	$0.99GE$
4τ	$0.98GE$
3τ	$0.95GE$
2τ	$0.86GE$
τ	$0.63GE$

الآن سوف نستعمل المعادلات: (4.1, 4.2, 4.3) لتقى نقوم بتعريف ما يلى:

A- ثابت الزمن (τ): يسمى المعامل: $\tau = 1/a$ Time constant: هو يحدد سرعة استجابة النظام ويمكن تعريفه على أنه الزمن اللازم لكي تصل الاستجابة الدرجة إلى 63% من قيمتها النهاية.

B- زمن تزايد الاستجابة (Tr): وهو الزمن الذي تستغرقه المنظومة لكي تزيد قيمة الاستجابة الدرجة من 10% إلى 90% من القيمة الإستاتيكية أو النهاية لمتغير التحكم (∞). $T_r = \frac{2.31}{a} - \frac{0.11}{a} = \frac{2.2}{a} = 2.2 \times \tau$



شكل ٤-١: منحنى لنظام ذو المرتبة الأولى $a=5$ وثابت الزمن $\tau=1/5=0.2\text{sec}$

$$T_s = \frac{4}{a} = 4\tau \quad \text{Settling Time (Ts)}$$

وهو الزمن الذي تستغرقه المنظومة لكي تكون الاستجابة الدرجة لمتغير التحكم (t) $x(t)=E$ محسورة في نطاق معين حول القيمة الإستاتيكية لمتغير التحكم (وعادة تؤخذ هذه القيمة في حدود $\pm 2\%$).

١-٢ خصائص النظام ذي المرتبة الأولى: من أهم خصائص هذا النظام:

❖ ثابت الزمن وهو مقياس لسرعة استجابة النظام: $\tau = 1/a$

❖ زمن التحكم أو الاستقرار وهو الزمن اللازم لبلوغ نسبة (٩٨٪ مثلاً) من القيمة النهاية: $T_s=4\tau$

❖ قيمة الخرج عند الاستقرار: $y_{ss} = GE$

❖ معامل الكسب (gain coefficient) وهو حاصل قيمة الخرج عند حالة الاستقرار على قيمة الدخل: $G=y_{ss}/E$

مثال: أوجد دالة التحويل والاستجابة الزمنية للنظام التالي لوحدة درجة وحدد الاستجابة الدائمة والاستجابة العابرة

$$\frac{dy(t)}{dt} + 2y(t) = 10x(t)$$

أوجد ثابت الزمن τ ، زمن تزايد الاستجابة T_r ، وزمن التحكم T_s

$$sy(s) + 2y(s) = 10x(s)$$

$$y(s) = \frac{5}{(0.5s + 1)s} x(s)$$

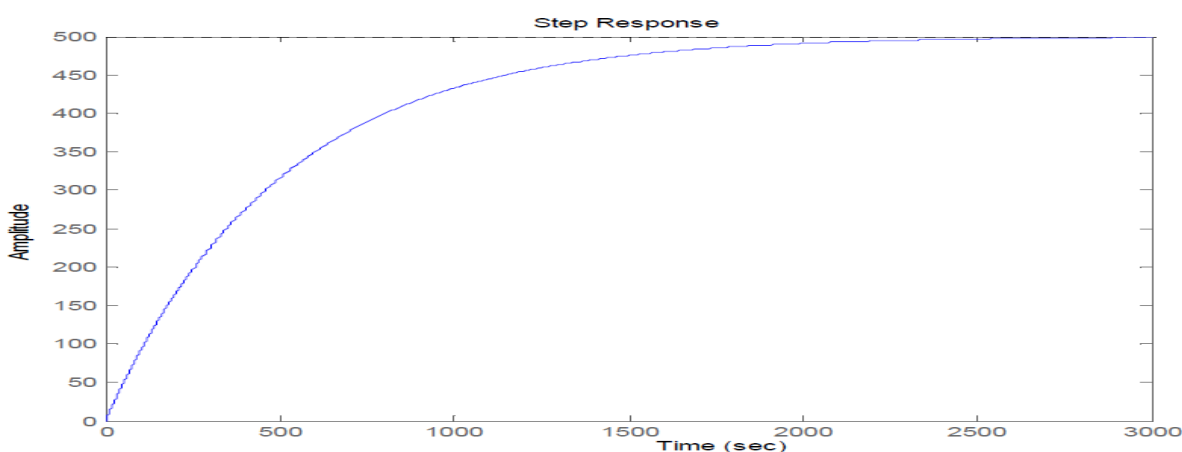
$$y(s) = \frac{10}{s(s + 2)} = \frac{5}{0.5s + 1}$$

ش نستنتج من جدول تحويل لابلاس أن: $y(t) = 5(1 - e^{-0.5t}) = 5 - 5e^{-0.5t}$
ومن ثم تكون الاستجابة الدائمة: $y_{ss} = 5$
أما الاستجابة العابرة فهي: $y(t) = -5e^{-0.5t}$
 $T_r = 1.1s$ ، $T_s = 2s$ ، $\tau = 0.5s$

١-٣ مثال: نظام تحكم في مستوى سائل

لنفرض نظام تحكم في مستوى سائل الذي تمت دراسته في الباب السابق، حيث الخزان له قاعدة مربعة الشكل بمساحة: $A = 1m^2$ ، والسمام مقاومته الميدروليكية: $R = 500s/m^2$.
أوجد الآتي:
أ- معادلة النظام بـ ثابت زمن النظام τ ج- معامل الكسب G
د- إذا كان الدخل: $Q_{in}(t) = 2 \times 10^{-4} m^3/s$ ، أوجد الاستجابة وارسم منحناها
علمًا أن الخزان فارغ عند بداية التجربة.

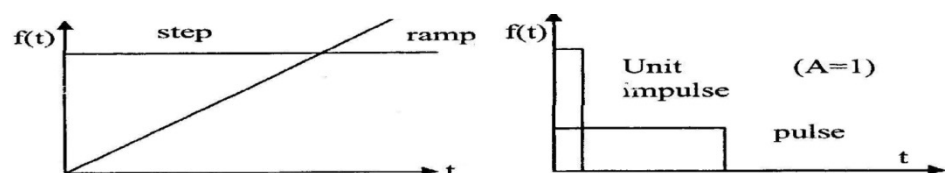
الحل:
أ- المعادلة التفاضلية للنظام هي: $AR \frac{dh(t)}{dt} + h(t) = RQ_{in}(t)$
وبال subsituting values of A and R we get: $500 \frac{dh(t)}{dt} + h(t) = 500Q_{in}(t)$
نظام تحكم في مستوى سائل
ب- لإيجاد ثابت الزمن نطبق المعادلة السابقة على المعادلة النموذجية للنظام ذو المرتبة الأولى وهي كما نعرف $\tau = \frac{1}{G}$
ج- ثم نستخرج بنفس الطريقة: $h(t) = GE(1 - e^{-t/\tau}) = 500(1 - e^{-0.002t})$
د- استجابة النظام لوحدة درجة: $h(t) = 500(1 - e^{-0.002t})$ ومن ثم يكون منحنى الاستجابة كالتالي، ونلاحظ أن الاستجابة تستقر عند $h(t=\infty) = h_{ss} = 500$



شكل ٤-٢: منحنى الاستجابة لوحدة درجة لنظام تحكم في مستوى سائل

Transient response of 1st Order system

(we examine effect of different types of inputs)



First order system if $c(t)$ is input and $r(t)$ is the output

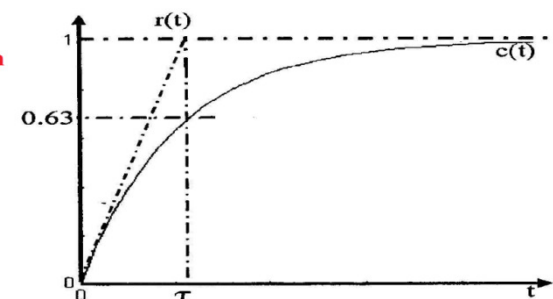
$$C + \tau \frac{dc}{dt} = r(t) \quad \text{if } c(0) = 0 \quad C + \tau S C = R \quad \text{or} \quad \frac{C}{R} = \frac{1}{1 + \tau s}$$

For unit step input: $R = \frac{1}{S}$ $C = \frac{1}{S} - \frac{\tau}{1 + \tau S} = \frac{1}{S} - \frac{1}{S + \frac{1}{\tau}}$

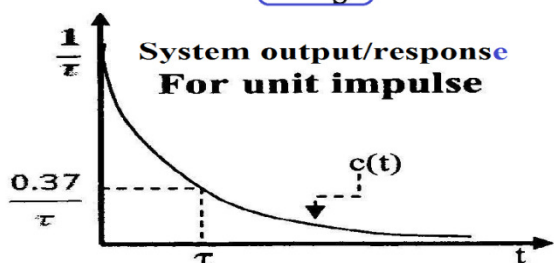
System output/response $c(t) = 1 - e^{-t/\tau}$

For unit impulse: $R = 1$ $c(t) = \frac{1}{\tau} e^{-t/\tau}$

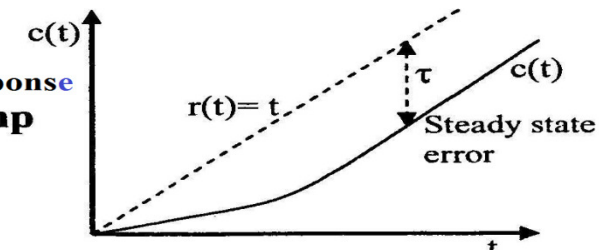
For unit ramp: $R = \frac{1}{S^2}$ $c(t) = t - \tau + \tau e^{-t/\tau}$



System output/response For unit impulse



System output/response For unit ramp



٢- دراسة نظام المرتبة الثانية:

يختبر المهندسون تقرير أي منظومة من منظومات التحكم ذات نماذج رياضية من درجات أعلى بواسطة نموذج رياضي من الدرجة الثانية، وذلك لأنه يقلل الوقت والجهود اللازمة لتحليل وتصميم هذه المنظومات. وقد وجد أن هذا التقرير يمكنه مقبولًا في معظم الحالات ولا يتجاوز الخطأ الناتج عن ذلك حدود الدقة التي يسمح بها المهندسون.

١- تعريف نظام المرتبة الثانية:

يعرف نظام المرتبة الثانية على أن الدالة التحويلية له تكون صادقة في الشكل العام التالي:

$$G(s) = \frac{b}{s^2 + as + b}$$

$$a = 2\xi\omega_n, \omega_n^2 = b$$

ويمكن بذلك تمثيله بالنموذج الرياضي من الدرجة الثانية في الصيغة القياسية الآتية:

$$\text{Damping ratio } \xi \text{ حيث: } \frac{d^2y(t)}{dt^2} + 2\xi\omega_n \frac{dy(t)}{dt} + \omega_n^2 y(t) = \omega_n^2 x(t)$$

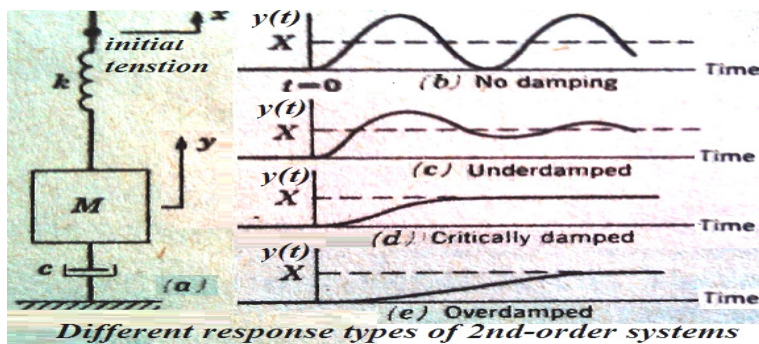
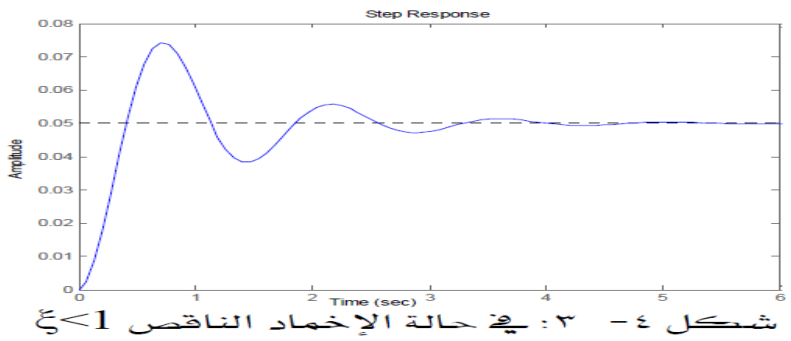
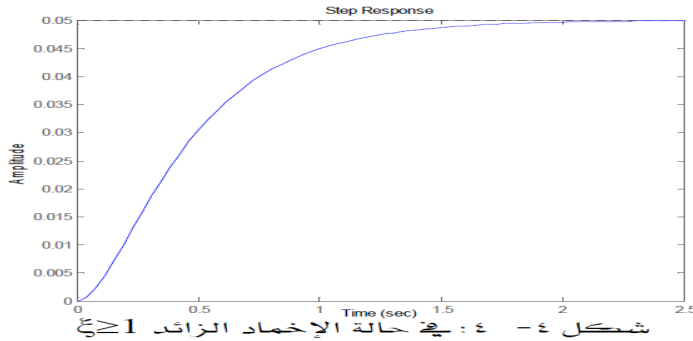
ولإيجاد منحنيات الاستجابة الدرجة فإنه توجد ثلاثة حالات:

أ- عندما تكون $\xi < 1$ فتكون المنظومة تذبذبية Underdamped system.

ب- عندما تكون $\xi = 1$ فتكون المنظومة لادورية Critically damped system.

ج- عندما تكون $\xi > 1$ فتكون المنظومة غير مستقرة Overdamped system.

المنحنيات التالية تمثل
الخرج $y(t)$ لحالة دخل
 $X(t) = \text{step-function of given amplitude}$



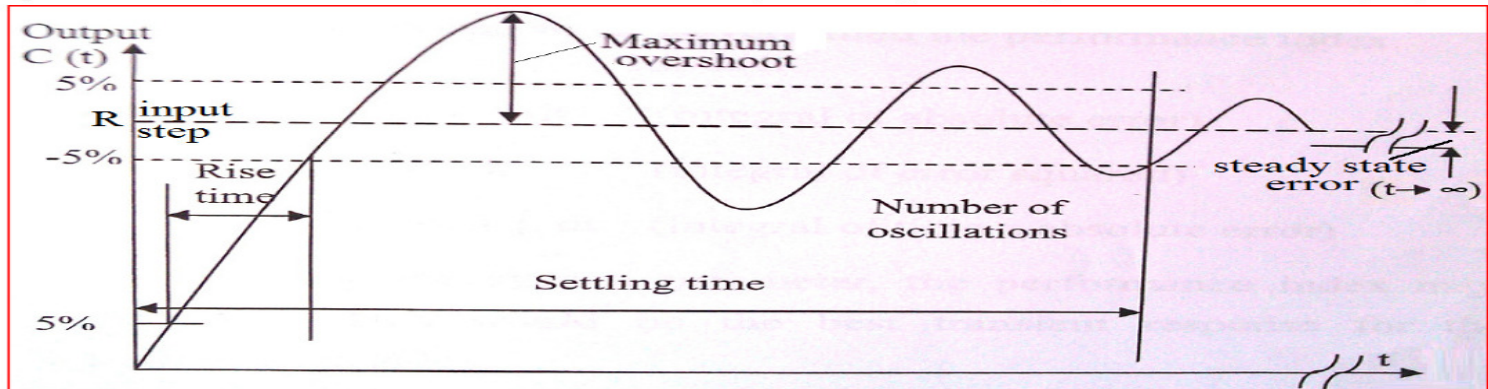
٢- معايير نظام المرتبة الثانية:

ويمكن تلخيص معايير هذا النظام في شكل ٤-٦ والجدول التالي:

Analytical expression	الصورة التحليلية	المعيار
$\delta = e^{-\xi\pi/\sqrt{1-\xi^2}} \cdot 100\%$	$0 < \xi < 1$	١- أقصى تجاوز δ
$t_p = \frac{\pi}{\omega_n \sqrt{1 - \xi^2}}$		٢- زمن التردد t_p
$T_d \approx \frac{1 - 0.7\xi}{\omega_n}, \quad 0 < \xi < 1$		٣- التعويق الزمني T_d
$T_d \approx \frac{1 + 0.6\xi + 0.15\xi^2}{\omega_n}, \quad \xi \geq 1$		
$T_r \approx \frac{0.8 + 2.5\xi}{\omega_n}, \quad 0 < \xi < 1$		٤- زمن تزايد الاستجابة T_r
$T_r \approx \frac{1 + 1.1\xi + 1.4\xi^2}{\omega_n}, \quad \xi \geq 1$		
$T_s \approx \frac{4}{\xi\omega_n} = 4\tau$		٥- زمن التحكم T_s
$\psi = \frac{A_1 - A_2}{A_1} = 1 - e^{-(\xi(2\pi/\sqrt{1-\xi^2}))} = 1 - \delta^2$		٦- معيار السكت ψ

Performance Characteristics of 2nd order System for Step function input معايير أداء وتصريف نظم المرتبة الثانية نتيجة دخل دالة درجة ثابتة

The following figure shows adequate parameters used to describe a time domain output or the performance characteristics of 2nd order closed loop control system subjected to a sudden step input.



1- Maximum overshoot: is expressed as %age of size of input step function (e.g., $\delta = 10-15\%$ of step value R).
 2- Number of oscillations.

3- Rise Time: time taken to rise the output from 5% to 95% of the input step function R.

4- Settling time ($T_s \approx 4\tau$): time taken until the output falls within $\pm 5\%$ say, of the steady state error value (as $t \rightarrow \infty$).
 5- Steady state error.

These parameters are interrelated, and control requirements tend to conflict. The maximum overshoot can, generally only be decreased at the expense of an increase in rise time; steady state error can generally only be reduced at the expense of making the transient more oscillatory.

It can be useful to be able to describe a complete transient response by a single numerical value. Several types of functions have been used for this purpose, the chosen value being called the performance index.

$$IAE = \int_0^{\infty} |e(t)| dt \quad (\text{integral of absolute error}) \quad \& \quad IES = \int_0^{\infty} e^2(t) dt \quad (\text{integral of error squared})$$

$$ITAE = \int_0^{\infty} t |e(t)| dt \quad (\text{integral of time x absolute error})$$

By changing the system parameter (e.g., constants of the PID controller), the performance index may become minimum. This would be the best transient response for the chosen performance index.

Time-Response of 2nd Order System for different input functions:

$$\frac{C(s)}{R(s)} = \frac{\omega_n^2}{s^2 + 2\zeta\omega_n s + \omega_n^2} \quad \text{T.F. of closed loop 2nd Order System} \quad \text{For unit step: } R = \frac{1}{s} \quad \therefore C(s) = \frac{1}{s} + \frac{A_1}{s - P_1} + \frac{A_2}{s - P_2}$$

Where A_1 & A_2 constants & P_1 & P_2 are the roots of characteristic equation : $s^2 + 2\zeta\omega_n s + \omega_n^2 = 0$

$$A_1 = -\frac{1}{2} - \frac{\zeta}{2\sqrt{\zeta^2 - 1}} \quad A_2 = -\frac{1}{2} + \frac{\zeta}{2\sqrt{\zeta^2 - 1}}$$

$$P_1 = -\zeta\omega_n + \omega_n\sqrt{\zeta^2 - 1}, \quad P_2 = -\zeta\omega_n - \omega_n\sqrt{\zeta^2 - 1}$$

If $\zeta > 1$ over damped (2 negative real roots)

If $\zeta < 1$ under damped (pair of complex conjugates)

If $\zeta = 1$ critically damped (2 negative equal roots)

If $\zeta < 1$ under damped (pair of complex conjugates)

$$c(t) = 1 - \frac{e^{-\zeta\omega_n t}}{\sqrt{1-\zeta^2}} \sin(\omega_d t + \phi) \quad \text{where}$$

$$\omega_d = \omega_n \sqrt{1-\zeta^2} = \text{damped frequency}, \quad \phi = \tan^{-1} \frac{\sqrt{1-\zeta^2}}{\zeta}$$

$$\text{If } \frac{dc}{dt} = 0 \rightarrow [\tan(\omega_d t_p + \phi) = \frac{\sqrt{1-\zeta^2}}{\zeta}] \rightarrow [\tan(\omega_d t_p + \phi) = \tan \phi]$$

$$\text{Thus } \omega_d t_p = n\pi \quad \text{and Peak time} = t_p = \frac{\pi}{\omega_d}$$

$$c_{\max} = 1 - e^{\frac{-\zeta\pi}{\sqrt{1-\zeta^2}}} \left[\frac{\sin(\pi + \phi)}{\sqrt{1-\zeta^2}} \right] \quad \sin(\pi + \phi) = \sin \pi \cos \phi + \cos \phi \sin \phi = -\sin \phi$$

$$c_{\max} = 1 + e^{\frac{-\zeta\pi}{\sqrt{1-\zeta^2}}} \quad \& \quad \text{Percent overshoot} = P.O. = 100 e^{\frac{-\zeta\pi}{\sqrt{1-\zeta^2}}}$$

Also we could prove that: Rise time = $t_r = \frac{\pi - \phi}{\omega_d}$

Settling time = $t_s = \frac{4}{\zeta\omega_n}$ (2% criteria) or we get $t_s = \frac{3}{\zeta\omega_n}$ (5% criteria)

$$\text{For unit impulse: } R(s) = 1 \quad C(s) = \frac{\omega_n^2}{s^2 + 2\zeta\omega_n s + \omega_n^2}$$

$$\text{Time response: } c(t) = A_1 e^{P_1 t} + A_2 e^{P_2 t} \quad \text{Where } A_1 = -A_2 = \frac{\omega_n}{2\sqrt{\zeta^2 - 1}}$$

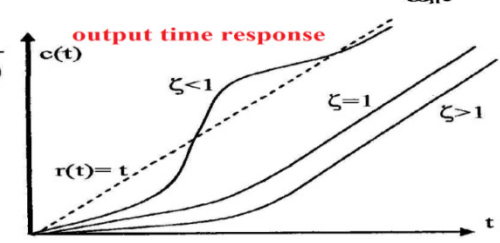
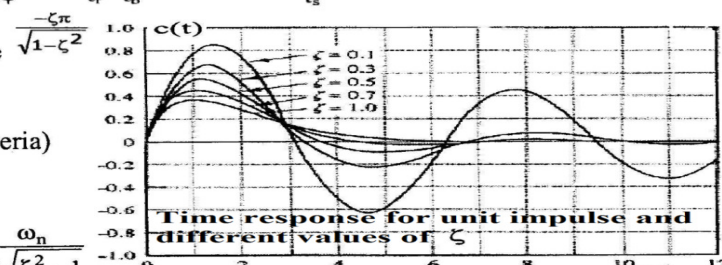
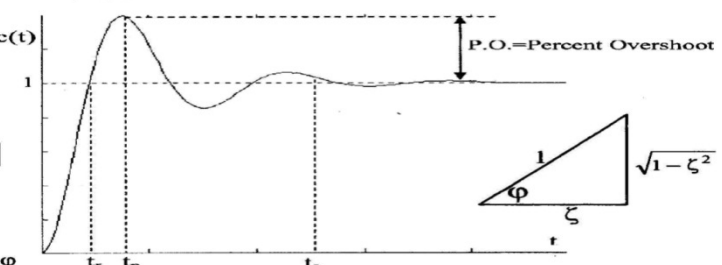
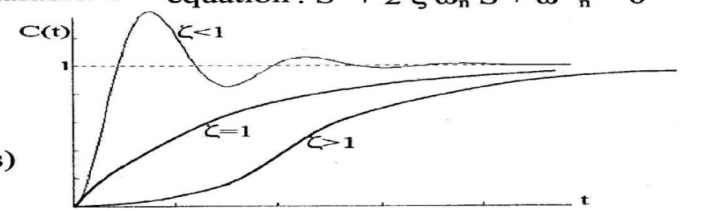
$$\text{For unit ramp } r(t) = t \quad \text{So} \quad R(s) = 1/s^2$$

$$C(s) = \frac{B_1}{s^2} + \frac{B_2}{s} + \frac{A_1}{s - P_1} + \frac{A_2}{s - P_2}$$

$$\text{Where } B_1 = 1 \quad ; \quad B_2 = \frac{-2\zeta}{\omega_n} \quad A_1 \text{ and } A_2 = \frac{\zeta}{\omega_n} \pm \frac{2\zeta^2 - 1}{2\omega_n\sqrt{\zeta^2 - 1}}$$

$$c(t) = t - \frac{\zeta}{\omega_n} + A_1 e^{P_1 t} + A_2 e^{P_2 t}$$

Steady state error \rightarrow Transient part



Summary of Time-Response of Control Systems

1st Order Systems: (where X_o is system output, X_i is system input & we assume always zero initial conditions $X_o(0)=0.0$)

$\frac{dX_o}{dt} + b X_o = c X_i$; applying Laplace Transform we get: $a S X_o(S) + b X_o(S) = c X_i(S)$ or $X_o(S)[aS + b] = c X_i(S)$
 System T.F., $G(S) = \frac{X_o(S)}{X_i(S)} = \frac{c}{aS+b} = \frac{c/b}{a/b S + 1}$, Let $c/b = K$ & $a/b = \tau$; where K is steady state gain & τ is Time constant
 So the 1st Order system T.F., $G(S) = \frac{\text{output}}{\text{input}} = \frac{X_o(S)}{X_i(S)} = \frac{K}{1+\tau S}$

Output Modes of 1st Order systems:

Examine transient response or effect of different types of input signals as shown:

1) Impulse response: if the input $X_i(t) = \delta(t)$ or $X_i(t) = A \delta(t)$

From tables $L\{\delta(t)\}=1$ & $L\{A \delta(t)\}=A$, A is a constant

$G(S) = \frac{X_o(S)}{X_i(S)} = \frac{K}{1+\tau S}$ & $X_i(S) = A$, so $X_o(S) = \frac{AK}{1+\tau S}$, dividing by τ , we get

$X_o(S) = \frac{AK/\tau}{1/\tau + S}$, from inverse Laplace tables: $X_o(t) = \frac{AK}{\tau} e^{-t/\tau}$

2) Step response: if the input $X_i(t) = u(t)$ or $X_i(t) = B u(t)$

From tables $L\{u(t)\}=1/S$ & $L\{B u(t)\}=B/S$, B is a constant, so $X_i(S)=B/S$

$X_o(S) = \frac{B}{S(1+\tau S)} = \frac{A}{S} + \frac{C}{1+\tau S}$, where $A = BK$ & $C = -BK\tau$ $X_o(S) = \frac{BK}{S} + \frac{-BK\tau}{1+\tau S}$
 from inverse Laplace tables: $X_o(t) = BK(1 - e^{-t/\tau})$

Assume $B=K=1$, so $X_o(t) = 1 - e^{-t/\tau}$. Note that at $t=\tau$, we have $X_o(t)=0.632$

3) Ramp response: if the input $X_i(t)=Q \cdot t$ where Q is a constant

From tables $L\{X_i(t)\}=L\{Q \cdot t\}=Q/S^2$, so we have $X_i(S)=Q/S^2$

$G(S) = \frac{X_o(S)}{X_i(S)} = \frac{K/\tau}{1/\tau + S}$, so $X_o(S) = \frac{Q}{S^2(1/\tau + S)} = \frac{A}{S} + \frac{B}{S^2} + \frac{C}{1/\tau + S}$

$X_o(S) = \frac{-QK\tau}{S} + \frac{QK}{S^2} + \frac{QK\tau^2}{1/\tau + S}$, and from inverse Laplace tables:

$X_o(t) = QK \left(t - \tau + \tau e^{-\frac{t}{\tau}} \right)$, and for $K=Q=1$, we get $X_o(t) = \left(t - \tau + \tau e^{-\frac{t}{\tau}} \right)$

2nd Order Systems: $a \frac{d^2x_o(t)}{dt^2} + b \frac{dx_o(t)}{dt} + c x_o(t) = e x_i(t)$, by taking Laplace we get

$a S^2 X_o(s) + b S X_o(s) + c X_o(s) = e X_i(s)$, $(a S^2 + b S + c) X_o(s) = e X_i(s)$ T.F. $G(s) = \frac{X_o(s)}{X_i(s)} = \frac{e}{(a S^2 + b S + c)}$

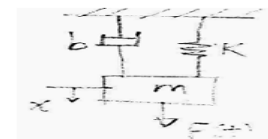
General form of T.F. of 2nd Order Systems: $G(s) = \frac{k w_n^2}{(S^2 + 2\zeta w_n S + w_n^2)}$; where $w_n \equiv$ natural frequency & $\zeta \equiv$ damping ratio

System Example: $f(t) = k x(t) + b \dot{x}(t) + m \ddot{x}(t)$ by taking Laplace:

$F(s) = k X(s) + b S X(s) + m S^2 X(s)$

T.F. $G(s) = \frac{1}{m S^2 + b S + k} = \frac{1}{S^2 + b/m S + k/m}$

Comparing with the general form $w_n^2 = \frac{k}{m}$ and $\zeta = \frac{b}{2\sqrt{km}}$



Modes of 2nd Order Response:

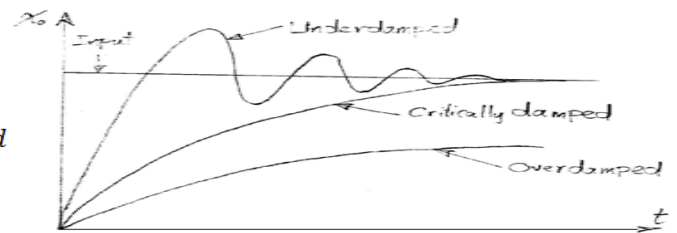
From the system characteristic equation $(a S^2 + b S + c) = 0$

We get two roots S_1 & $S_2 = \frac{-b \pm \sqrt{b^2 - 4ac}}{2a}$ we have 3 cases:

1) $b^2 > 4ac$; two distinct real roots, the system is over damped

2) $b^2 = 4ac$; equal roots $S_1=S_2$, the system is critically damped

3) $b^2 < 4ac$; two complex roots, the system is underdamped



Back to the System example: $F(s) = (m S^2 + b S + k) X_o(s)$

For the transient response without external forcing, we have $F(s) = 0$

We get 2 roots S_1 & $S_2 = \frac{-b \pm \sqrt{b^2 - 4km}}{2m}$ for critical damping $b^2 = 4km$;

so we have a critical damping coefficient call as $b_c = 2\sqrt{km}$

Remember that the damping ratio, $\zeta = \frac{b}{2\sqrt{km}}$; so we get $\zeta = \frac{b}{b_c}$

For underdamped system ($\zeta < 1$) subjected to step input: $X_i(s) = 1/S$, the output $X_o(s)$ shall be

$X_o(s) = \frac{A}{S} + \frac{BS+C}{S^2+2\zeta w_n S+w_n^2}$ and from Partial fractions: $A = k$, $B = -k$, $C = -2\zeta w_n k$

$X_o(s) = k \left[\frac{1}{S} - \frac{S+2\zeta w_n}{S^2+2\zeta w_n S+w_n^2} \right]$ let us call the damping frequency, w_d , where $w_d = w_n \sqrt{1 - \zeta^2}$

Term 1 = $\frac{-S}{(S+\zeta w_n)^2+w_d^2}$ & Term 2 = $\frac{-2\zeta w_n}{(S+\zeta w_n)^2+w_d^2}$ we can prove that Term1 + Term2 = $\frac{-(S+\zeta w_n)}{(S+\zeta w_n)^2+w_d^2} - \frac{\zeta}{\sqrt{1-\zeta^2}} \left[\frac{w_d}{(S+\zeta w_n)^2+w_d^2} \right]$

By taking inverse Laplace: $x_o(t) = k \left[1 - e^{-\zeta w_n t} \left(\cos w_d t + \frac{\zeta}{\sqrt{1-\zeta^2}} \sin w_d t \right) \right]$

For critically-damped system ($\zeta=1$) subjected to step input: $X_i(s) = 1/S$, the output $X_o(s)$ shall be

Characteristic equation has roots $S_1 = S_2 = -w_n$; so $X_o(s) = \frac{1}{S} \frac{w_n^2}{S^2 + 2\zeta w_n S + w_n^2} = \frac{1}{S} \frac{w_n^2}{(S + w_n)^2}$

We can show that the output shall be $x_o(t) = k[1 - e^{-w_n t} (1 + w_n t)]$

For over-damped system ($\zeta > 1$) subjected to step input: $X_i(s) = 1/S$, the output $X_o(s)$ shall be

$X_o(s) = \frac{1}{S} \frac{w_n^2}{S^2 + 2\zeta w_n S + w_n^2}$, Let the characteristic equation has roots $S_1 = -\sigma_1$ & $S_2 = -\sigma_2$

$X_o(s) = \frac{1}{S} \frac{w_n^2}{(S - \sigma_1)(S - \sigma_2)}$; where $S_1 = -\zeta w_n - w_n \sqrt{\zeta^2 - 1}$ & $S_2 = -\zeta w_n + w_n \sqrt{\zeta^2 - 1}$; so we get

$x_o(t) = 1 + \frac{1}{2\sqrt{\zeta^2 - 1}(\zeta + \sqrt{\zeta^2 - 1})} e^{-(\zeta + \sqrt{\zeta^2 - 1})w_n t} - \frac{1}{2\sqrt{\zeta^2 - 1}(\zeta - \sqrt{\zeta^2 - 1})} e^{-(\zeta - \sqrt{\zeta^2 - 1})w_n t}$

Important Parameters of the Underdamped Systems:

1) Delay time t_d :

The time required for the output response $X_o(t_d)$ to reach 50% of the final value (which is the amplitude of $X_i(t)$) at the very first time.

2) Rise time t_r :

Time required for output response $X_o(t_r)$ to reach 90% (or from 5% to 95%) of the final value (which is the amplitude of $X_i(t)$) at the very first time.

بسبب اختلاف التعريف يوجد عدة تعريفات لحساب القيمة العددية للزمن t_r

3) Peak time t_p :

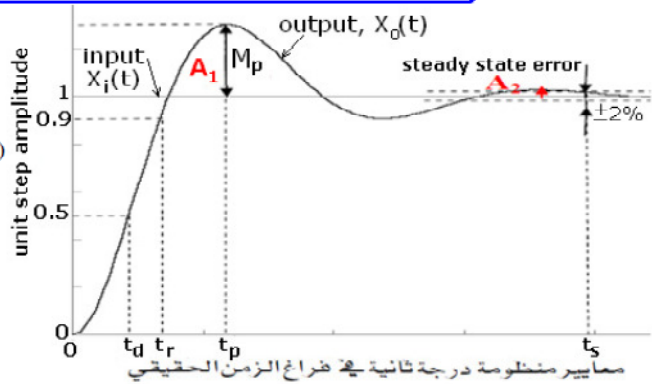
Time required for output response $X_o(t_p)$ to reach the 1st peak of the over shoot.

4) Maximum over shoot A_1 or M_p :

Maximum Peak of output response $X_o(t_p)$ but measured from unity {if the final steady state value is not unity, so the $M_p = [X_o(t_p) - X_o(\infty)] / X_o(\infty)$ }

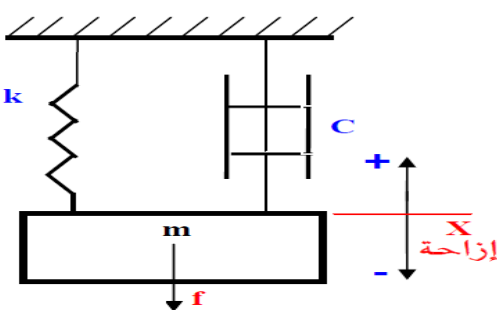
5) Settling time t_s :

Time required for response $X_o(t_s)$ to reach 2% or 5% far from and stay within a range about final value



الصورة التحليلية	المعيار
$\delta = e^{-\xi\pi/\sqrt{1-\xi^2}} \cdot 100\% \quad 0 < \xi < 1$	١ - أقصى تجاوز δ
$t_p = \frac{\pi}{\omega_n \sqrt{1 - \xi^2}}$	٢ - زمن المذروة t_p
$T_d \approx \frac{1 - 0.7\xi}{\omega_n}, \quad 0 < \xi < 1$	٣ - التعويق الزمني T_d
$T_d \approx \frac{1 + 0.6\xi + 0.15\xi^2}{\omega_n}, \quad \xi \geq 1$	
$T_r \approx \frac{0.8 + 2.5\xi}{\omega_n}, \quad 0 < \xi < 1$	٤ - زمان تزايد الاستجابة T_r
$T_r \approx \frac{1 + 1.1\xi + 1.4\xi^2}{\omega_n}, \quad \xi \geq 1$	
$T_s \approx \frac{4}{\xi\omega_n} = 4\tau$	٥ - زمان التحكم T_s
$\psi = \frac{A_1 - A_2}{A_1} = 1 - e^{-\xi(2\pi/\sqrt{1-\xi^2})} = 1 - \delta^2$	٦ - معيار الكتلة ψ

أمثلة وتطبيقات



٢-٢ دراسة منظومة ميكانيكية من المرتبة الثانية:
نعتبر المنظومة الميكانيكية في الشكل المقابل وهي عبارة عن كتلة m معلقة عن طريق نابض مرونته k ومغمد تخميد C . ولنفترض أن الكتلة m هي تحت تأثير قوة خارجية f ونريد أن نعرف العلاقة بين الحركة الناتجة عن ذلك للكتلة m . ينص القانون الفيزيائي على:
أن مجموع القوى بما فيها القوى $m \ddot{x}$ (قوة التسارع) المؤثرة على الكتلة تساوي صفرًا. وباختيار الاتجاه نحو الأعلى على أنه الاتجاه الموجب نحصل على: (بافتراض أن النابض في حالة تمدد).

$$m \frac{d^2x(t)}{dt^2} + c \frac{dx(t)}{dt} + kx(t) - f = 0 \quad (1)$$

وبأخذ تحويل لا بلس للمعادلة (1) وافتراض التلروف الابتدائية معدومة:

$$ms^2x(s) + Csx(s) + kx(s) - f(s) = 0 \quad (ms^2 + Cs + k)x(s) = f(s)$$

$$\frac{x(s)}{f(s)} = \frac{1}{ms^2 + Cs + k} = \frac{1/m}{s^2 + C/m s + k/m}$$

لنعمل: $\xi = \frac{C}{Cc}$ حيث: $\xi = \frac{C}{Cc}$ و $\omega_0 = \sqrt{\frac{k}{m}}$ حيث: ξ : نسبة التخميد. ω_0 : التردد الطبيعي غير المحمد للنظام. Cc : معامل التخميد الحرج.

وبالتالي نحصل على:
$$\frac{x(s)}{f(s)} = \frac{1/m}{s^2 + C/m s + k/m} = \frac{1}{k s^2 + 2\xi\omega_0 s + \omega_0^2}$$

الدخل $f(s) = \frac{1}{s}$ $\frac{1}{k s^2 + 2\xi\omega_0 s + \omega_0^2}$ خرج $x(s) = ?$ $\frac{\omega_0^2}{s^2 + 2\xi\omega_0 s + \omega_0^2}$

وتمثل الدالة:
$$x(s) = \frac{\omega_0^2}{s^2 + 2\xi\omega_0 s + \omega_0^2}$$
 ، الدالة التحويلية في شكلها العام لنظام ذي المرتبة الثانية.

• الاستجابة الزمنية لنظام ذي المرتبة الثانية:

لندرس الاستجابة العابرة لهذا النظام عندما تطبق إشارة في شكل وحدة درجية عند مدخل النظام (t). $f(t)$

ويتبين من مدخل المنظومة أن الخرج $x(s)$ يساوي:
$$x(s) = \frac{\omega_0^2}{s(s^2 + 2\xi\omega_0 s + \omega_0^2)}$$

ونظرًا لوجود كثير حدود من الدرجة الثانية في مقام (s) فيمكننا أن نلاحظ ٣ حالات مختلفة لطبيعة الاستجابة الزمنية $x(t)$ حسب قيمة نسبة التخميد ξ .

يعني أن:
$$\Delta = \xi^2 \omega_0^2 - \omega_0^2 \quad \Delta = \omega_0^2 (\xi^2 - 1)$$

أ- الحالة الأولى: $\Delta > 0$ أي $\xi < 1$: نظام مفرط التخميد (over damped system) في هذه الحالة تكون جذور كثيرة الحدود: $s^2 + 2\xi\omega_0 s + \omega_0^2$ ، حقيقية مختلفة:

$$s_1 = -\xi\omega_0 - \omega_0\sqrt{\xi^2 - 1} = -\omega_0(\xi + \sqrt{\xi^2 - 1})$$

$$s_2 = -\xi\omega_0 + \omega_0\sqrt{\xi^2 - 1} = -\omega_0(\xi - \sqrt{\xi^2 - 1})$$

$$x(s) = \frac{\omega_0^2}{s(s - s_1)(s - s_2)} = \frac{A}{s} + \frac{B}{s - s_1} + \frac{C}{s - s_2}$$

$$x(t) = 1 + Be^{s_1 t} + Ce^{s_2 t}$$

حيث: $C = \frac{s_1 - s_2}{s_1 s_2}$ ، $B = \frac{s_2}{s_1 - s_2}$ ، $A=1$

ب- الحالة الثانية: $\Delta = 0$ أي $\xi = 1$: نظام ذو تخميد حرج (critically damped system) في هذه الحالة تكون جذور كثيرة الحدود: $s^2 + 2\xi\omega_0 s + \omega_0^2$ ، حقيقية ومتساوية:

$$x(s) = \frac{\omega_0^2}{s(s + \xi\omega_0)^2} = \frac{A}{s} + \frac{B}{s + \xi\omega_0} + \frac{C}{(s + \xi\omega_0)^2}$$

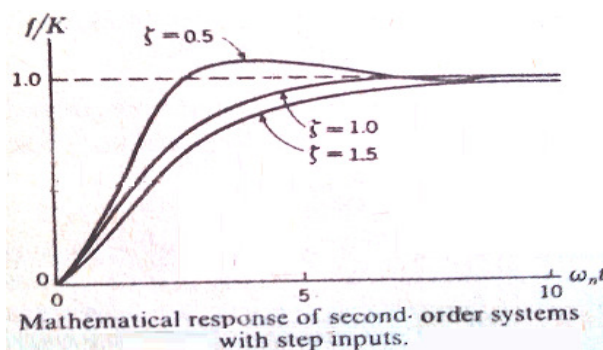
$$x(t) = 1 - e^{-\omega_0 t}(1 + \omega_0 t)$$

ج- الحالة الثالثة: $\Delta < 0$ أي $\xi < 1$: نظام ناقص التخميد (Under damped system) في هذه الحالة تكون جذور كثيرة الحدود: $s^2 + 2\xi\omega_0 s + \omega_0^2$ مركبة كالتالي:

$$s_1 = -\xi\omega_0 + j\omega_0\sqrt{1 - \xi^2} \quad s_2 = -\xi\omega_0 - j\omega_0\sqrt{1 - \xi^2}$$

$$x(s) = \frac{\omega_0^2}{s[(s + \xi\omega_0)^2 + \omega_0^2(1 - \xi^2)]} = \frac{A}{s} + \frac{Bs + c}{(s + \xi\omega_0)^2 + \omega_0^2(1 - \xi^2)}$$

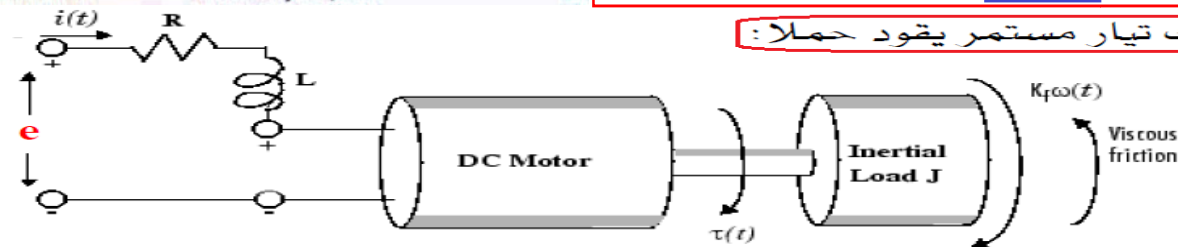
$$x(t) = 1 - \frac{1}{\sqrt{1 - \xi^2}} e^{-\omega_0 t} \cdot \sin[\sqrt{1 - \xi^2}\omega_0 t + Q] \quad (\xi < 1)$$



وتعتبر هذه الحالة الأكثر أهمية من أنظمة التحكم وتتميز الاستجابة حيث: $Q = \arctg \frac{\omega_0}{\xi}$ الدرجية unit step input في هذه الحالة بمواصفات منها:

- زمن السعود (t_r) : وهو الزمن اللازم للاستجابة حتى تسعد من 0 إلى 100 % من القيمة النهائية ويمكن استنتاجه من العلاقة :
$$t_r = \frac{\pi - Q}{\omega_0 \sqrt{1 - \xi^2}}$$
- ذروة التجاوز (M_p) : وهي أكبر قيمة تتجاوز بها الاستجابة القيمة النهائية وهي كالتالي
$$M_p = e^{\frac{-\pi}{\sqrt{1-\xi^2}}}$$
- زمن ذروة التجاوز (t_p) : وهو الزمن الموافق لذروة التجاوز ويحسب من العلاقة:
$$t_p = \frac{\pi}{\omega_0 \sqrt{1 - \xi^2}}$$
- زمن السكون (t_s) : وهو الزمن الذي تصل فيه الاستجابة إلى قيمة داخل ظرف $\pm 5\%$ حول القيمة النهائية وبقى داخل هذا الظرف:
$$t_s = 3/\xi\omega_0$$

٤-٢ دراسة محرك تيار مستمر يقود حملاً



شكل ٤-٧: محرك تيار مستمر بحمل

المعادلة الأولى: $a_2 = \frac{\tau_m \tau_e RB}{K_e K_t + RB}$ ، (1) المعادلة الثانية: العزم $J \frac{d\Omega}{dt} + B\Omega = e$ (2) المعادلة الثالثة: عزم المحرك $K_t i = K_e \Omega$ (3) بدمج المعادلتين (2) و (3) نحصل على: $J \frac{d\Omega}{dt} + B\Omega = K_e i$

بالتعويض عن التيار نحصل على المعادلة التفاضلية: $a_2 \frac{d^2\Omega}{dt^2} + a_1 \frac{d\Omega}{dt} + \Omega = Ge$

حيث: $\tau_m = \frac{J}{B}$ وهو ثابت الزمن للجزء الميكانيكي . $\tau_e = \frac{L}{R}$ وهو ثابت الزمن للجزء الكهربائي للنظام. J : عزم قصور الحمل (kg.m²) R : معامل الاحتياك (N.m.s/rad) L : محاثة العضو الدوار (H) K_t : ثابت العزم (V) K_e : ثابت الجهد الداخلي (N.m/A) τ_m : مقاومة العضو الدوار (Ω) ω : السرعة الزاوية للمotor (rad/s) i : تيار المحرك (A) e : جهد الدخل (V) G : ثابت قوة الدفع الكهربائي (V.s/rad) ω_0 : سرعة التدوير (Ω)

وعليه فإن معاملات محرك التيار المستمر تصبح كالتالي:

$$\omega_0 = \sqrt{\frac{1}{a_2}}, \alpha = \frac{a_1}{2a_2}, \xi = \frac{a_1}{2\sqrt{a_2}}$$

❖ مثال: إذا كانت معاملات محرك التيار المستمر كالتالي:

$$J = 6.2 \times 10^{-4} \text{ kg.m}^2, B = 1.0 \times 10^{-4} \text{ N.m.s/rad}, L = 0.02 \text{ H}, R = 1.2 \Omega$$

$$K_t = 0.043 \text{ N.m/A}, K_e = 0.043 \text{ Vs/rad}$$

أوجد التالي: أ- ثابت الزمن للجزء الميكانيكي ب- ثابت الزمن للجزء الكهربائي ت- المعادلة التفاضلية للنظام ج- التردد ونسبة ونوع الإخماد

الحل: أ- $\tau_e = L/R = 0.02/1.2 = 0.0167 \text{ s}$ ب- $\tau_m = J/B = 6.2 \times 10^{-4}/1.0 \times 10^{-4} = 6.2 \text{ s}$ ج- $\omega_0 = K_e / \tau_e = 0.043 / 0.0167 = 2.54 \text{ rad/s}$

ت- لنحسب أولًا المعاملات: $a_2 = 0.0063, a_1 = 0.379, G = 21.8$

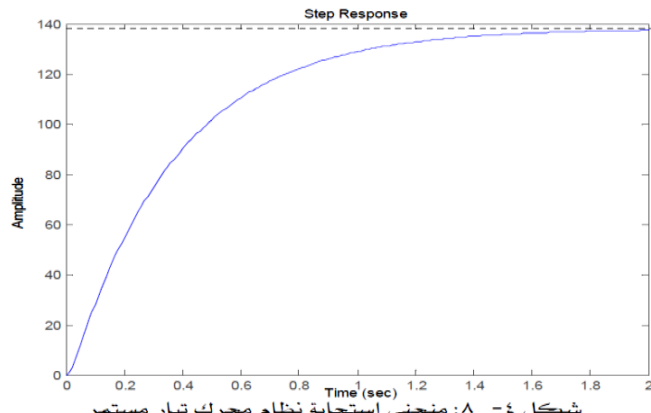
وبذلك تكون المعادلة التفاضلية: $0.0063 \frac{d^2\omega(t)}{dt^2} + 0.379 \frac{d\omega(t)}{dt} + \omega(t) = 21.8e(t)$

ج- التردد ونسبة الإخماد: $\xi = \frac{a_1}{2\sqrt{a_2}} = \frac{0.379}{2\sqrt{0.0063}} = 2.387$ $\omega_0 = \sqrt{\frac{1}{a_2}} = \sqrt{\frac{1}{0.0063}} = 0.0794$

ح- استجابة النظام:

لكي نحصل على استجابة النظام نكتب المعادلة المميزة للنظام ثم نقوم بإيجاد جذريها، فالمعادلة تكون كالتالي: $0 = 0.379s + 1 = 0.0063s^2 + 0.379s + 1 = 0.0063 \times 1 = 0.137 > 0$ ، وبذلك نجد أن الجذرين هما بعد حساب المميز نجد: $\Delta = (0.379)^2 - 4 \times 0.0063 \times 1 = 0.137 > 0$

$$r_1 = \frac{(-0.379 - \sqrt{0.137})}{2 \times 0.0063} = -57.393 \quad r_2 = \frac{(-0.379 + \sqrt{0.137})}{2 \times 0.0063} = -2.765$$



شكل ٤ - ٨: منحنى استجابة نظام محرك تيار مستمر

ونظرا إلى أن الإخماد زائد ($\zeta > 1$) فإن السيفه العامة للاستجابة تكون:

$$y(t) = \frac{bE}{\omega_n^2} \left[1 + \frac{r_2}{r_1 - r_2} e^{\zeta \omega_n t} - \frac{r_1}{r_1 - r_2} e^{-\zeta \omega_n t} \right]$$

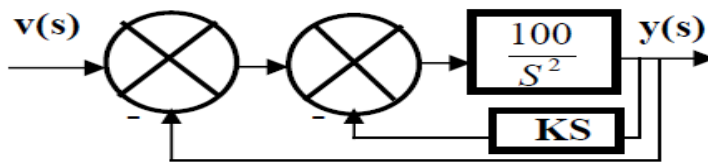
مع العلم أنه في مثالنا هذا الخرج هو $y(t)$ ، وعليه وبعد التعويض عن قيم r_1 و r_2 و $b=21.8$ تكون الاستجابة:

$$y(t) = 137.27 [1 + 0.05e^{-57.39t} - 1.05e^{-2.76t}]$$

تمارين - ٤

تمرين ١: لدينا منظومة تحكم يمكن تمثيلها بالمختلط الصندوقى، الآتى: سؤال: المطلوب إيجاد الدالة التحويلية للمنظومة $\frac{y(s)}{v(s)}$ وحساب ثابت الزمن τ ، زمن تزايد الاستجابة T_r ، وزمن التحكم T_s .

❖ الحل: $\frac{y(s)}{v(s)} = \frac{100}{3s+1} / 1 + \frac{100}{3s+1} = \frac{100}{3s+101} = \frac{0.99}{0.0297s+1} = 0.99 \left(\frac{1}{0.0297s+1} \right)$
ويلاحظ هنا أن: $\tau = 0.0297$ ثانية، $T_r = 4 \times 0.0297 = 0.118$ ثانية، $T_s = 2.2 \times 0.0297 = 0.065$ ثانية.



تمرين ٢: لدينا نظام تحكم مغلق الدائرة يمكن تمثيله بالمختلط الصندوقي الآتى حيث K ثابت موجب:

سؤال: أوجد الدالة التحويلية للنظام مغلق الدائرة أي: $\frac{y(s)}{v(s)}$ ، ما هي مرتبة النظام.
❖ الحل: الاختصار الأول للمختلط الصندوقي المتكون من الدالتين: $\frac{100}{S^2}$ و KS يعطينا النتيجة التالية:
 $\frac{100}{S(S+100K)} = \frac{100}{S^2 + 100KS} = \frac{\frac{100}{S^2}}{1 + \frac{100}{S^2} \cdot KS}$ أما الاختصار الثاني والأخير يتكون من الدالتين:
 $\frac{100}{S(S+100K)} / 1 + \frac{100}{S(S+100K)} = \frac{y(s)}{v(s)}$ و 1 يعطينا النتيجة التالية: $\frac{100}{S(S+100K)}$
ونلاحظ أن النظم ذو المرتبة الثانية.

تمرين ٣: أوجد ζ و ω_n لمنظومة الدرجة الثانية التي يمكن تمثيلها بالدالة التحويلية: $G(s) = \frac{36}{s^2 + 4.2s + 36}$

- احسب أقصى تجاوز δ ، التعويق الزمني T_d ، زمن تزايد T_r ، زمن التحكم T_s ومعيار الكثب ψ .

❖ الحل: $\omega_n^2 = 36$ وبذلك فإن $\omega_n = 6$ ، كما أن $\zeta = 4.2/\omega_n = 0.35$.

- بتطبيق القواعد الموجودة بالجدول صفحة ٢١ نجد: $T_r = 0.279$ ، $T_d = 0.125$ ، $\delta = 36\%$ ، $\psi = 0.178$ ، $T_s = 1.42$.

تمرين ٤: أوجد قيم ζ للمنظومات التالية والممثلة في الدوال التحويلية الآتية:

$$G(s) = \frac{20}{s^2 + 8s + 20} \quad G(s) = \frac{16}{s^2 + 8s + 16} \quad G(s) = \frac{12}{s^2 + 8s + 12}$$

❖ الحل: يلاحظ أن الدوال التحويلية تتكون كلها في الشكل: $G(s) = \frac{\omega_n^2}{s^2 + 2\xi\omega_n s + \omega_n^2}$ وبذلك تكون: $\zeta = 1.155$ يعني أن $\zeta > 1$ يعني أن $\zeta = 0.894$.

تمرين ٥: نظام تحكم آلى يمكن تمثيله بالمعادلة التفاضلية التالية: $50 = 10y(t) + \frac{dy(t)}{dt}$ ، حيث $t \geq 0$ أوجد ثابت الزمن τ - كسب النظم - الاستجابة الزمنية مع رسم منحنى الاستجابة

$$y(t) = 1 - e^{-0.1t} \quad G=5 \quad \tau=0.1$$

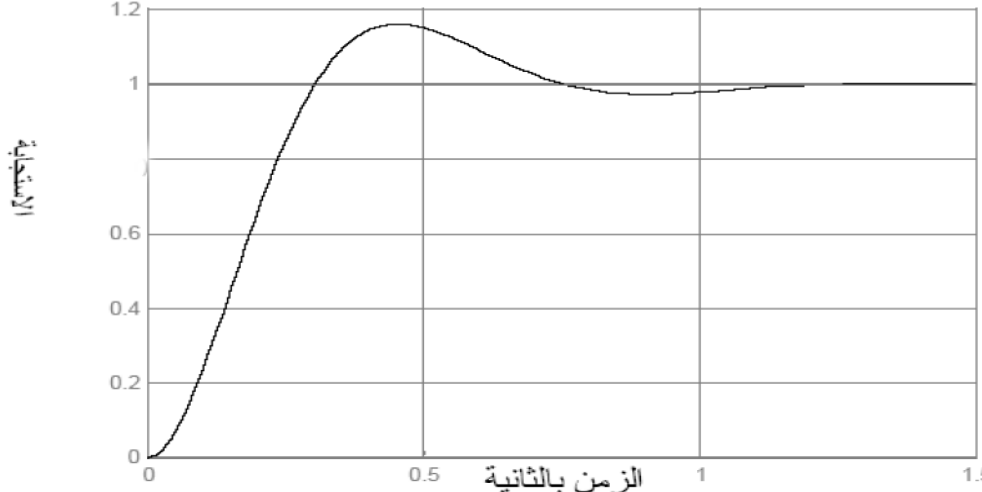
تمرين ٦: نظام تحكم آلي يمكن تمثيله بالمعادلة التفاضلية: $\frac{d^2y(t)}{dt^2} + 3\frac{dy(t)}{dt} + 2y(t) = 2$, حيث $t \geq 0$

أوجد: ١- تردد الرنين ومعامل الإخماد ونوع الإخماد ٢- كسب النظام G ٣- الاستجابة لوحدة درجة مئوية مع رسم منحناها.

الحل: ١- $\omega_0 = 1.414$, $\zeta = 1.06$ ، نلاحظ أن الإخماد زائد ٢- كسب النظام: $G=1$

$$y(t) = 1 - e^{-2t} + e^{-t} - 3$$

تمرين ٧: إذا كان منحني استجابة نظام تحكم من الدرجة الثانية لوحدة درجة مئوية مبين في الشكل التالي:



أوجد:

١- زمن تزايد الاستجابة T_r ٢- زمن التحكم T_s ٣- أقصى تجاوز M_p بالنسبة المئوية ٤- كسب النظام عند حالة الاستقرار

الحل: ١- $G=1$ ٢- $M_p = 16\%$ ٣- $T_s = 0.9 \text{ sec}$ ٤- $T_r = 0.28 \text{ sec}$

Examples of 2nd Order Systems: Field Control of DC Motor

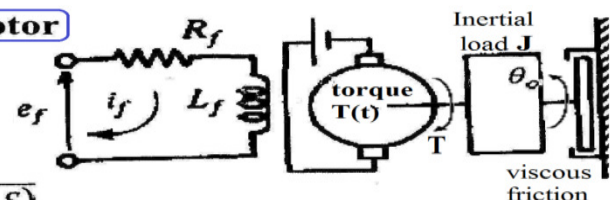
$$T(t) = J\ddot{\theta}_o(t) + B\dot{\theta}_o(t) \rightarrow T(s) = S(JS + B)\theta_o(s)$$

$$T(t) = K_t i_f \rightarrow T(s) = K_t I_f \therefore S(JS + B)\theta_o = K_t I_f$$

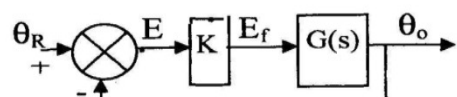
$$e_f = R_f i_f + L_f \frac{di_f}{dt} \rightarrow E_f = (R_f + L_f s)I_f$$

$$\therefore S(JS + B)\theta_o = \frac{K_t E_f}{R_f + L_f s} \quad \frac{\theta_o}{E_f} = \frac{K_t}{S(JS + B)(R_f + L_f s)}$$

$$\frac{\theta_o}{E_f} = \frac{K_t / R_f B}{S(J/B + 1) \left(1 + L_f s \right)} = \frac{K_t / R_f B}{S(T_m s + 1)(T_f s + 1)} \quad \text{Often } T_f \ll T_m \quad \frac{\theta_o}{E_f} = \frac{K_t / R_f B}{S(T_m s + 1)}$$



Example: The block diagram shown in figure is used to control the output shaft position θ_o using a field control DC motor.



The output of the sensor shaft position is compared with a signal in the same form to obtain the error signal E. Also, the block of the constant-gain controller K represents a fast response power amplification. If $G(s) = \frac{\theta_o}{E_f} = \frac{0.5}{s(0.25s+1)}$ $\therefore \frac{\theta_o}{\theta_R} = \frac{2K}{s^2 + 4s + 2K}$

For a unit step input, $\theta_R = 1/S$

$$\therefore \theta_o(t) = 1 - 1.207 e^{-0.586t} + 0.207 e^{-3.414t}; K=1 \quad \therefore \theta_o(t) = 1 - 2.737 e^{-1.553t} + 1.737 e^{-2.447t}; K=1.9$$

$$\therefore \theta_o(t) = 1 - 1.1547 e^{-2t} \sin(3.4641t + \pi/3); K=8 \quad \text{Note that: } \theta_o(t)_{s.t.} = \lim_{t \rightarrow \infty} \theta_o(t) = \lim_{s \rightarrow 0} s\theta_o(s) = 1$$

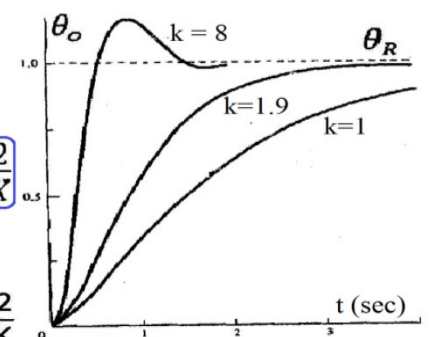
However, if $\theta_R(s) = 1/S^2$

$$E = \theta_R(s) - \theta_o(s) \quad E = \frac{1}{S^2} - \frac{2K}{S^2(S^2 + 4S + 2K)}$$

$$E = \frac{(S^2 + 4S + 2K) - 2K}{S^2(S^2 + 4S + 2K)} \quad e_{s.t.} = \lim_{t \rightarrow \infty} e(t) = \lim_{s \rightarrow 0} SE(s) = \lim_{s \rightarrow 0} \frac{(S+4)}{S^2 + 4S + 2K} = \frac{2}{K}$$

So, $e_{s.t.}$ is reduced by increasing K. Also, since $\frac{\theta_o}{\theta_R} = \frac{2K}{S^2 + 4S + 2K}$

$$\therefore \omega_n^2 = 2K \text{ and } 2\zeta \omega_n = 4 \text{ and The steady state error} = \frac{2\zeta}{\omega_n} = \frac{4}{\omega_n^2} = \frac{2}{K}$$



Problems on unit (4)

1) A thermometer having a time constant of 12 seconds is allowed to come to equilibrium in the room air temperature at 30°C . Then it is placed in 100°C water bath for a period of time then removed and re-exposed to the 30°C ambient conditions. If 10 seconds after the thermometer is removed from the bath, it reads 45°C . Estimate the length of time that the thermometer was in the water bath.

2) Figure (1) shows a mechanical vibratory system. When 8.9 N step input force is applied to the system, the mass oscillates, as shown in the figure. Determine M, C, and K of the system from the response curve.

Hint: the inverse Laplace transform of

$$C(s) = \omega_n^2 / [s(s^2 + 2\zeta\omega_n s + \omega^2)]; \zeta < 1 \text{ is:}$$

$$C(t) = 1 - \frac{e^{-\zeta\omega_n t}}{\sqrt{1-\zeta^2}} \sin(\omega_d t + \phi);$$

$$(\omega_d = \omega_n \sqrt{1-\zeta^2})$$

$$, \cos \phi = \zeta$$

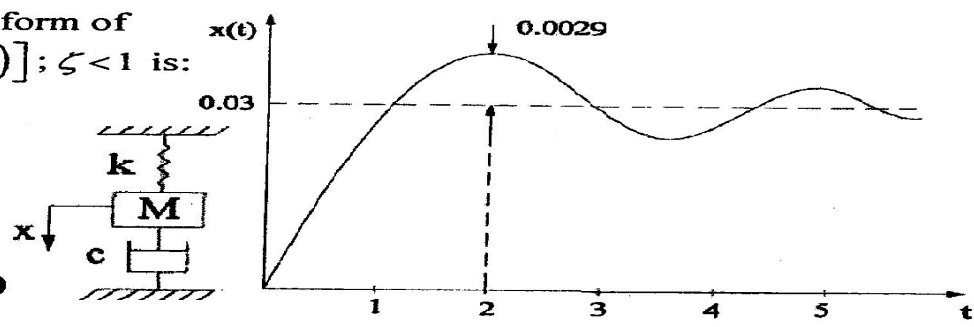


Figure (1)

3) Open loop transfer function of a servo system with unit feedback is given by:- $G(s) = \frac{K}{s(1+Ts)}$

- a) By what factor should the gain K be multiplied so that the damping ratio is increased from 0.2 to 0.6?
- b) By what factor should the gain K be multiplied so that the overshoot of the unit step response is reduced from 80% to 20%?

4) block diagram of a servomechanism is shown in fig.(2). Determine the values of K and T so that the maximum overshoot in unit step response is 50% and the peak time is 5 seconds.

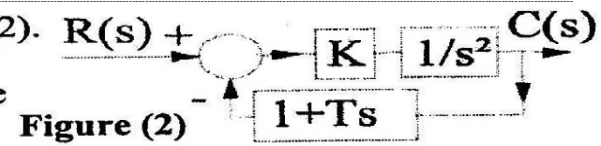


Figure (2)

5) For the hydraulic positioning device shown in fig(3),

where $a = 4 \text{ cm}$, $b = 12 \text{ cm}$, $A = 10 \text{ cm}^2$, $k_v = 20 \text{ cm}^3/\text{sec/cm}$.

Examine the dynamic nature of the system by plotting the response to:

- i. a step input disturbance $x = 0.5 \text{ cm}$.
- ii. a ramp input disturbance $x = 0.25 t \text{ cm}$.
- iii. a sinusoidal input disturbance $x = \sin 2t \text{ cm}$.

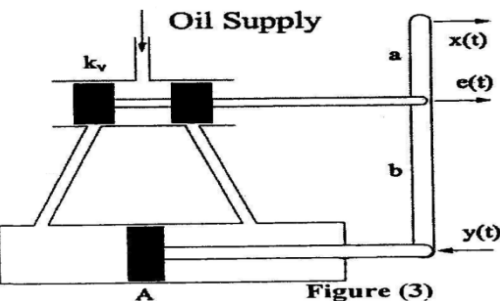
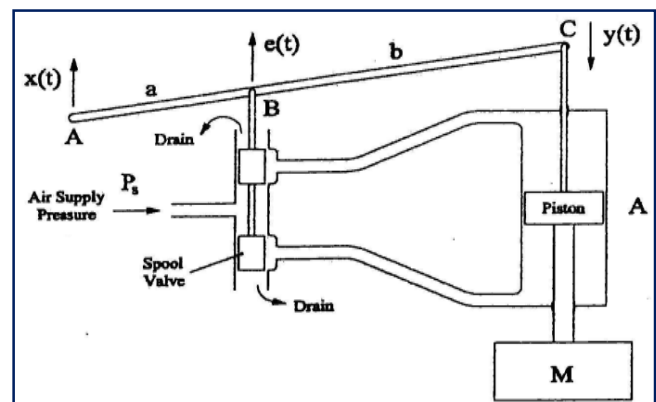


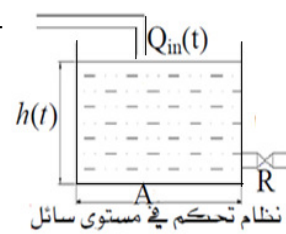
Figure (3)

6-The next fig. shows schematically hydraulic servomechanism, a feedback system commonly found in practice, whose function is to move a load M to a position $y(t)$ in response to a command signal $x(t)$ using hydraulic supply to provide the power. Find the transfer function $Y(s)/X(s)$ if a) The inertia, viscous load and effect of oil compressibility are neglected. b) The inertia, viscous load and effect of oil compressibility are considered.



7-The next fig. shows a liquid level control system in a tank which has a square cross-section area of $A=1 \text{ m}^2$. The tank output valve has a hydraulic resistance of $R=500 \text{ s/m}^2$. Find the following:

- a) The differential equation of the system, b) Time constant of the system, c) The Gain coefficient d) If the system input is $Q_{in}(t)=2 \times 10^{-4} \text{ m}^3/\text{s}$, Find the Time response equation $h(t)$ of the system if the tank was empty at $t=0.0$ (zero initial conditions, e) sketch the time response equation and find the steady state output for unit step input



نظام تحكم في مستوى سائل

End of File